DIEGO CARTER CAMPANHA BORGES

Síndromes Coronarianas Agudas em Pacientes com Câncer: Estudo Multicêntrico Comparativo

DIEGO CARTER CAMPANHA BORGES

Síndromes Coronarianas Agudas em Pacientes com Câncer: Estudo Multicêntrico Comparativo

Tese apresentada à Faculdade de Medicina da Universidade de São Paulo para obtenção do título de Doutor em Ciências.

Programa de Cardiologia

Orientadora: Profa. Dra. Ludhmila Abrahão Hajjar

Coorientador: Prof. Dr. Alexandre Antônio Cunha Abizaid

São Paulo 2025

Dados Internacionais de Catalogação na Publicação (CIP)

Preparada pela Biblioteca da Faculdade de Medicina da Universidade de São Paulo

©reprodução autorizada pelo autor

Borges, Diego Carter Campanha

Estudo multicêntrico para avaliação de fatores associados às síndromes coronarianas agudas em pacientes com câncer / Diego Carter Campanha Borges; Ludhmila Abrahão Hajjar, orientador; Alexandre Antonio Cunha Abizaid, coorientador. -- São Paulo, 2025.

Tese (Doutorado) -- Programa de Cardiologia. Faculdade de Medicina da Universidade de São Paulo, 2025.

1. Câncer 2. Síndrome coronariana aguda 3. Cardiologia 4. Registro multicêntrico 5. Propensão I. Hajjar, Ludhmila Abrahão, orient. II. Abizaid, Alexandre Antonio Cunha, coorient. III. Título

USP/FM/DBD-288/25

Responsável: Daniela Amaral Barbosa, CRB-8 7533

Carter D. Síndromes Coronarianas Agudas em Pacientes com Câncer: Estudo Multicêntrico Comparativo. São Paulo: Faculdade de Medicina, Universidade de São Paulo; 2025.

| Aprovado em: | |
|-------------------|--|
| BANCA EXAMINADORA | |
| Prof. Dr | |
| Instituição: | |
| Julgamento: | |
| | |
| Prof. Dr | |
| Instituição: | |
| Julgamento: | |
| | |
| Prof. Dr | |
| Instituição: | |
| Julgamento: | |
| | |
| Prof. Dr | |
| Instituição: | |
| Julgamento: | |
| | |
| Prof. Dr | |
| Instituição: | |
| Julgamento: | |

DEDICATÓRIA

À minha esposa, Giovanna Marssola Nascimento, pelo amor, companheirismo e apoio.

Aos meus pais, Ney Carter do Carmo Borges e Márcia Campanha Borges, pelos ensinamentos.

Aos meus irmãos, Bruno Carter Campanha Borges e Ney Carter do Carmo Borges Jr. por todo o apoio e companheirismo.

AGRADECIMENTOS

À minha família: pelo direcionamento e persistência no caminho correto.

À Professora Doutora Ludhmila Abrahão Hajjar, minha orientadora por me apoiar continuamente durante minha formação acadêmica.

Ao Professor Doutor Alexandre Antônio Cunha Abizaid, o meu coorientador, pelo exemplo e parceria na hemodinâmica e cardiologia intervencionista.

Ao Professor Doutor Carlos Augusto Homem de Magalhães Campos, pela paciência e auxílio na hemodinâmica e cardiologia intervencionista.

À Doutora Isabela Bispo Santos da Silva Costa, por apoiar durante toda a realização do projeto.

Ao Doutor Eduardo Atsushi Osawa, por me incentivar no trabalho e pesquisa.

Ao Vinícius Bocchino Seleme, parceiro na hemodinâmica e amigo, juntos desde o início do projeto.

À Julia Tizue Fukushima, por sua dedicação, e auxílio na elaboração desse estudo e análise estatística.

Ao Instituto do Coração do Hospital das Clínicas da Faculdade de Medicina da Universidade de São Paulo e a todos os colegas, pela oportunidade de aprendizado e dedicação aos pacientes.

RESUMO

Carter D. Síndromes Coronarianas Agudas em Pacientes com Câncer: Estudo Multicêntrico Comparativo. São Paulo: Faculdade de Medicina, Universidade de São Paulo; 2025.

Introdução: A interseção entre câncer e síndrome coronariana aguda (SCA) representa um desafio clínico significativo, devido a sua alta prevalência e multiplicidade de fatores de risco e de gravidade.

Métodos: Trata-se de um estudo observacional, retrospectivo e multicêntrico com delineamento caso-controle para avaliar o comportamento da SCA em pacientes com câncer. Foram incluídos pacientes com diagnóstico de câncer e SCA internados entre fevereiro de 2018 e janeiro de 2023 nos centros participantes do Registro Brasileiro de Câncer e Infarto do Miocárdio (BRAVADO) e no Instituto do Coração (InCor). O grupo controle foi composto por pacientes com SCA sem câncer. O desfecho primário foi a ocorrência de eventos cardiovasculares maiores (ECM), incluindo mortalidade por todas as causas, morte cardíaca, infarto não-fatal e revascularização adicional em 12 meses. Foi realizada análise multivariada para controle de confundidores como idade, comorbidades, estágio do câncer e tratamentos prévios.

Resultados: Antes do pareamento por escore de propensão, pacientes com câncer apresentaram maior mortalidade hospitalar (15,2% vs. 8,7%, P<0,01), maior taxa de sangramento maior (11,9% vs. 6,2%, P=0,03) e infarto recorrente (8,8% vs. 5,2%, P=0,04). Após o pareamento, a mortalidade hospitalar foi semelhante (14,7% vs. 13,1%, P=0,42), mas os eventos hemorrágicos e isquêmicos permaneceram mais prevalentes no grupo com câncer. Observou-se também menor uso de ICP primária (33,6% vs. 50,8%, P<0,01) e maior descontinuação precoce da DAPT (21,4% vs. 8,1%, P<0,01) em pacientes com câncer.

Conclusões: Pacientes com câncer e SCA constituem uma população vulnerável, com risco aumentado de complicações hemorrágicas e isquémicas. Taiss achados reforçam a importância de manejo multidisciplinar e estratégias terapêuticas individualizadas.

Palavras-chave: Câncer, Síndrome coronariana aguda, Cardiologia, Registro multicêntrico, Propensão.

ABSTRACT

Carter D. Acute Coronary Syndromes in Patients with Cancer: A Multicenter Comparative Study. São Paulo: Faculty of Medicine, University of São Paulo; 2025. **Introduction:** The intersection between cancer and acute coronary syndrome (ACS)

represents a significant clinical challenge due to its high prevalence and the multiplicity

of associated risk and severity factors.

Methods: This is a retrospective, observational, multicenter case-control study designed to evaluate the behavior of ACS in patients with cancer. The study included patients diagnosed with both cancer and ACS who were hospitalized between February 2018 and January 2023 at participating centers of the Brazilian Registry of Cancer and Myocardial Infarction (BRAVADO) and the Heart Institute (InCor). The control group consisted of patients with ACS without cancer. The primary outcome was the occurrence of major adverse cardiovascular events (MACE), including all-cause mortality, cardiac death, non-fatal myocardial infarction, and repeat revascularization at 12 months. A multivariate analysis was performed to adjust for confounding variables such as age, comorbidities, cancer stage, and prior treatments.

Results: Before propensity score matching, patients with cancer had higher in-hospital mortality (15.2% vs. 8.7%, P<0.01), increased rates of major bleeding (11.9% vs. 6.2%, P=0.03), and recurrent myocardial infarction (8.8% vs. 5.2%, P=0.04). After matching, in-hospital mortality was similar between groups (14.7% vs. 13.1%, P=0.42), but bleeding and ischemic events remained more prevalent in the cancer group. Additionally, patients with cancer underwent less primary PCI (33.6% vs. 50.8%, P<0.01) and had higher rates of early discontinuation of DAPT (21.4% vs. 8.1%, P<0.01).

Conclusions: Patients with cancer and ACS represent a vulnerable population with an increased risk of both hemorrhagic and ischemic complications. These findings underscore the importance of multidisciplinary management and individualized therapeutic strategies.

Keywords: Cancer, Acute coronary syndrome, Cardiology, Multicenter registry, Propensity score.

LISTA DE FIGURAS

| Figura 1 - Ilustração central | 24 |
|---|----|
| Figura 2 - Risco relativo de mortalidade hospitalar em pacientes com câncer | |
| versus sem câncer nos estudos incluídos na meta-análise. | 29 |

LISTA DE TABELAS

| Tabela 1 - | câncer e controles – amostra total. | es com 42 |
|-------------|--|----------------|
| Tabela 2 - | Características clínico-demográficas dos grupos de paciente câncer e controles – amostra total.(continuação) | es com 44 |
| Tabela 3 - | Distribuição dos tipos de câncer e estadiamento. | 46 |
| Tabela 4 - | Performance status dos pacientes com câncer | 47 |
| Tabela 5 - | Tratamentos Oncológicos | 49 |
| Tabela 6 - | Uso de medicamentos cardiovasculares entre pacientes câncer e controles, na admissão. | com 51 |
| Tabela 7 - | Contra-indicações ao uso de medicamentos entre pacientes câncer e controles, na admissão. | com 53 |
| Tabela 8 - | Diagnósticos e Manifestações Clínicas entre Pacientes o Câncer e Controles | com 54 |
| Tabela 9 - | Características clínicas e intervenções em pacientes com o controles | câncer e 56 |
| Tabela 10 - | Complicações e necessidade de suporte hemodinâmic pacientes com câncer e controles | co entre 58 |
| Tabela 11 - | Uso de medicamentos e contra-indicações entre pacien câncer e controles, na alta hospitalar. | ites com |
| Tabela 12 - | Taxas acumuladas de desfechos nos grupos de câncer e controle. | 62 |

| Tabela 13 - | Características clínico-demográficas dos grupos de paciente | s com |
|-------------|--|-------|
| | câncer e controles. Escore de Propensão | 64 |
| Tabela 14 - | Tipos de câncer e estadiamento. Escore de Propensão | 66 |
| Tabela 15 - | Performance status dos pacientes com câncer. | |
| | Escore de Propensão | 67 |
| Tabela 16 - | Tabela 16. Tratamentos Oncológicos. Escore de Propensão. | 68 |
| Tabela 17 - | . Uso de medicamentos cardiovasculares entre | |
| | pacientes com câncer e controles.Escore de Propensão | 70 |
| Tabela 18 - | Contra-indicações ao uso de medicamentos entre paciente | s com |
| | câncer e controles. Escore de Propensão | 71 |
| Tabela 19 - | . Diagnósticos e Manifestações Clínicas entre Pacientes com C | âncer |
| | e Controles. Escore de Propensão | 73 |
| Tabela 20 - | Características clínicas e intervenções em pacientes | |
| | com câncer e controles. Escore de Propensão | 74 |
| Tabela 21 - | Complicações e necessidade de suporte hemodinâmico entre pacientes com câncer e controles. Escore de Propensão | 76 |
| Tabela 22 | Uso de medicamentos e contra-indicações entre | |
| | pacientes com câncer e controles. Escore de Propensão | 78 |
| Tabela 23 | Taxas acumuladas de desfechos nos grupos de | |
| | câncer e controle. Escore de Propensão | 80 |

LISTA DE QUADROS

| Quadro 1 – Terapias oncológicas e suas principais toxicidades cardiovas | culares |
|---|---------|
| E neoplasias associadas | 22 |
| Quadro 2. Centros e pesquisadores responsáveis. | 33 |

LISTA DE ABREVIATURAS E SIGLAS

5-FU Fluorouracil

ATC Angioplastia transluminal coronariana

AVE Acidente vascular encefálico

BPC Boas Práticas Clínicas

BRAVADO BRAzilian Registry of Acute Coronary Syndrome in Oncologic

Patients

CEP Comitê de ética em pesquisa

CV Cardiovascular

DAC Doença arterial coronariana

DAPT Terapia antiplaquetária dupla

DCV Doenças cardiovasculares

ECG Eletrocardiograma

ECOG Eastern Cooperative Oncology Group Performance Status

GRACE escore Global Registry of Acute Coronary Events (escore de risco

em SCA)

hscTn Troponina de alta sensibilidade

IAM Infarto agudo do miocárdio

IAMCSST Infarto Agudo do Miocárdio com supradesnivelamento do

segmento ST

IAMSST Infarto Agudo do Miocárdio Sem Supradesnível do Segmento

ST

IC Insuficiência cardíaca

IC95% Intervalo de confiança de 95%

ICH International Council for Harmonisation (Conferência

Internacional de Harmonização)

ICP Intervenção coronária percutânea

InCor Instituto do Coração

IRC Insuficiência renal crônica

KPS Karnofsky Performance Status (Índice de Desempenho de

Karnofsky)

LH linfoma de Hodgkin

NIS National Inpatient Sample

NOAC Novos anticoagulantes orais

RedCap Research Electronic Data Capture

RM Revascularização miocárdica

RR Risco relativo

SCA Síndrome coronariana aguda

SMRs Razões de mortalidade padronizadas

TCLE Termo de Consentimento Livre e Esclarecido

TIMI flow Thrombolysis in Myocardial Infarction (escore para avaliação

de fluxo coronário)

TIMI Risk Thrombolysis In Myocardial Infarction Risk (Risco Trombólise

no Infarto do Miocárdio)

TKIs Inibidores da tirosina quinase

USP Universidade de São Paulo

VEGF Inibidores da via de sinalização do fator de crescimento

endotelial vascular

LISTA DE ANEXOS

- **Anexo 1.** Parecer do Comitê de ética em Pesquisa da Universidade de São Paulo. 94
- **Anexo 2.** Codebook Redcap (Dicionário de Dados do projeto e serve como uma referência rápida para ver os atributos de qualquer campo determinado no projeto).

Sumário

| AGI | RADE | CIMENTOS | 6 |
|-------|-------------------------|-------------------------------------|----|
| R | ESUN | MO | |
| | ABS | TRACT (English) | |
| L | ISTA I | DE ABREVIATURAS E SIGLAS | 11 |
| L | ISTA I | DE FIGURAS | 9 |
| L | ISTA I | DE TABELAS | 10 |
| L | ISTA I | DE ANEXOS | |
| S | UMÁF | RIO | |
| 2. II | NTRO | DUÇÃO | 17 |
| 3.0 | Ol | BJETIVOS | 19 |
| | 3.1 | Objetivo Principal | 19 |
| | 3.2 | Objetivos Secundários | 19 |
| 4. | REVI | ISÃO DE LITERATURA | 20 |
| | 4.1 | Cardiotoxicidade | 20 |
| | 4.2 | Síndrome coronariana aguda e Câncer | 23 |
| | 4.3 | Principais artigos | 24 |
| 5.0 | MÉTC | DDOS | 31 |
| | 5.1 | Desenho do estudo | 31 |
| | Grup | os do Estudo | 31 |
| | 5.2 | Participantes e cenário | 32 |
| | 5.3 | Instrumento de coleta de dados | 33 |
| | 5.4 | Critérios de inclusão | 34 |
| | 5.5 | Critérios de exclusão | |
| 6. | ASP | ECTOS ÉTICOS | 35 |
| 7. | | | |
| 8. | DEFINIÇÕES DE DESFECHOS | | 37 |
| | 8.1 | Desfecho primário | 37 |
| | 8.2 | Desfechos Secundários | 37 |
| 9. | ANÁI | LISE ESTATÍSTICA | 38 |
| 10. | RI | ESULTADOS | 40 |
| 11. | 1. DISCUSSÃO | | |
| 12. | C | ONCLUSÃO | 85 |
| 13 | RI | EFERÊNCIAS BIBLIOGRÁFICAS | 87 |

2. INTRODUÇÃO

Um novo paradigma tem sido criado na abordagem dos pacientes com câncer e doenças cardiovasculares(1–3). A síndrome coronariana aguda (SCA) representa uma das principais causas de morbidade e mortalidade cardiovascular em todo o mundo, sendo frequentemente associada a eventos clínicos graves potencialmente fatais(4). Em pacientes oncológicos, o manejo da SCA torna-se particularmente desafiador devido à interação complexa entre a doença neoplásica, os tratamentos antineoplásicos e as condições cardiovasculares preexistentes ou induzidas(5). A coexistência de câncer e doenças cardiovasculares é um exemplo claro da interseção entre duas condições de alta prevalência e impacto global, configurando um problema emergente de saúde pública que exige abordagens multidisciplinares assertivas(6).

Do ponto de vista epidemiológico, o aumento da expectativa de vida e os avanços nas terapias oncológicas têm contribuído para a crescente prevalência de eventos cardiovasculares em pacientes com câncer(6,7). Estudos populacionais demonstram que as doenças cardiovasculares figuram como a segunda principal causa de mortalidade em indivíduos sobreviventes ao câncer, logo após a progressão tumora(6,7). Em pacientes submetidos a terapias antineoplásicas cardiotóxicas, como agentes alquilantes, platinas, antimetabólicos, inibidores de tirosina-quinase e imunoterapias, o risco de desenvolvimento de SCA é ainda mais pronunciado, podendo ocorrer por vasoespasmo, aterosclerose acelerada ou trombose coronariana(2,8). Além disso, as características inflamatórias e pró-trombóticas associadas ao câncer aumentam o risco de complicações cardiovasculares, exacerbando a vulnerabilidade desse grupo de pacientes(9). O entendimento do paciente como um todo, o que engloba o status oncológicos e suas particularidades, é essencial no manejo destes pacientes, que são potencialmente graves e exigem uma abordagem terapêutica eficaz(10,11).

A fisiopatologia da SCA em pacientes oncológicos é complexa e multifatorial, envolvendo mecanismos como disfunção endotelial, alterações hemodinâmicas e estados de hipercoagulabilidade(12). A interação entre células tumorais e o microambiente vascular contribui para a ativação de cascatas inflamatórias, lesão endotelial e formação de trombos, aumentando a predisposição a eventos isquêmicos agudos(13,14). Adicionalmente, a cardiotoxicidade associada a determinados

tratamentos oncológicos pode resultar em disfunção ventricular, isquemia miocárdica e exacerbação de doenças cardiovasculares preexistentes, criando um cenário de alto risco para complicações coronarianas(12).

Outro aspecto relevante na avaliação de pacientes com câncer e SCA é o risco aumentado de sangramento(12). Essa predisposição está relacionada a uma combinação de trombocitopenia induzida por quimioterapia, disfunção plaquetária e uso de anticoagulantes ou antiagregantes plaquetários no manejo das condições cardiovasculares. O equilíbrio entre o risco de trombose e sangramento nesses pacientes é particularmente desafiador, especialmente em cenários que envolvem a necessidade de intervenção coronariana percutânea ou cirurgia de revascularização miocárdica(15,16).

As complicações trombóticas também são uma preocupação central em pacientes oncológicos com SCA(14). A síndrome paraneoplásica, a produção de substâncias pró-coagulantes pelo tumor e a ativação plaquetária mediada pelo câncer criam um estado de hipercoagulabilidade persistente(17). Isso aumenta significativamente o risco de eventos como trombose de stent, embolia pulmonar e trombose venosa profunda, complicações que exigem estratégias terapêuticas personalizadas para cada paciente(13).

Diante desse panorama, a compreensão detalhada dos aspectos epidemiológicos, fisiológicos e clínicos que envolvem a SCA em pacientes oncológicos é fundamental para o desenvolvimento de estratégias diagnósticas e terapêuticas mais eficazes(14,18).

Este trabalho tem como objetivo gerar evidência cientifica de qualidade, escassas na população com SCA e câncer, bem como investigar as interações entre essas duas patologias, com foco nas peculiaridades clínicas e nos desafios terapêuticos inerentes a essa população.

Este estudo faz parte do registro brasileiro de pacientes com câncer e SCA intitulado registro BRAVADO (*BRAzilian Registry of Acute Coronary Syndrome in Oncologic Patients*, ClinicalTrials.gov Identifier: NCT04222608)

3.0 OBJETIVOS

3.1 Objetivo Principal

Comparar as características de pacientes com câncer diagnosticados com síndrome coronariana aguda (SCA) aos controles provenientes do registro BRAVADO, utilizando análise multivariada para ajuste de fatores de confusão e para a exploração de associações causais

3.2 Objetivos Secundários

- a. Detectar fatores de risco para desfechos clínicos em pacientes com câncer e diagnóstico de SCA.
- b. Avaliar a prevalência de desfechos cardiovasculares maiores (morte, morte cardíaca, infarto não-fatal e revascularização adicional) entre pacientes com câncer e grupo controle em 1 ano de seguimento.

4. REVISÃO DE LITERATURA

4.1 Cardiotoxicidade

A quimioterapia pode induzir isquemia e apresenta mecanismo de ação variável. Normalmente promove ação direta sobre os vasos, com um efeito vasoespático causando lesão endotelial e até mesmo trombose arterial aguda. A radioterapia mediastinal (RT) prévia acelera o processo aterosclerótico(3).

Fluoropirimidinas [5-fluorouracil (5-FU) e capecitabina] e agentes antimicrotúbulos (taxanos e alcalóides da vinca) são as classes de quimioterapia mais relacionadas ao vasoespasmo coronariano(9). A incidência de isquemia miocárdica documentada em pacientes que recebem 5-FU pode chegar a 10% e é influenciada pela dose e pelo tempo de administração(8). Os taxanos podem causar isquemia miocárdica, com incidência variando de 0,2 a 4%(14).

A alteração na função endotelial não parece ser a principal causa de vasoespasmo mediado pelo Fluoracil (5-FU)(8). Atribui-se à ativação de vias de sinalização intracelular que controlam o tônus das células musculares lisas vasculares (via proteína quinase C mediada pela 5-FU) a hiperreatividade e o espasmo coronariano(14). A Doença Arterial Coronariana (DAC) preexistente continua sendo um fator de risco para angina vasoespástica relacionada ao 5-FU, uma vez que o vasoespasmo tende a ocorrer sobre a placa aterosclerótica(14,18).

Compostos de platina (Cisplatina), inibidores da via de sinalização do fator de crescimento endotelial vascular (VEGF) e ciclofosfamida predispõem os pacientes a SCA devido à trombose coronária(8,13). A cisplatina e a ciclofosfamida são agentes alquilantes utilizados em vários tipos de tumores sólidos e hematológicos(3).

A trombose coronariana secundária à cisplatina é mediada pela agregação plaquetária(19) devido ao estímulo na produção do fator de von Willebrand pelo endotélio favorecendo a agregação plaquetária. Outros mecanismos influenciados pela cisplatina - como o aumento dos fatores de necrose tumoral, a formação de radicais livres e a diminuição da síntese de prostaciclina - causam agregação plaquetária intravascular e predispõem os pacientes à trombose(19).

O VEGF é responsável pela regulação de vias de sinalização chave à função endotelial, como proliferação, relaxamento muscular por óxido nítrico e resistência à apoptose induzida pelo estresse(20). A inibição das vias de sinalização do VEGF induz a cardiotoxicidade por meio de mecanismos como disfunção endotelial, estado prócoagulante e trombose arterial(20). A redução na produção de óxido nítrico resulta em vasoconstrição e agregação plaquetária, contribuindo para eventos trombóticos arteriais(20,21).

Os inibidores da tirosina quinase (TKIs) - nilotinibe e ponatinibe - agentes frequentemente associados à aterosclerose acelerada(8). Os eventos cardiovasculares mais comuns durante o tratamento incluem doença arterial oclusiva periférica e eventos isquêmicos agudos(8). O nilotinibe apresentou, durante estudo, incidência cumulativa de eventos ateroscleróticos de 8,5%. Em comparação, em estudo para avaliação de eficácia do ponatinibe, a taxa de eventos cardiovasculares adversos foi de 2%(22,23).

A radioterapia, especialmente a radioterapia supradiafragmática, é associada a uma maior incidência de isquemia miocárdica(3,13). Os mecanismos fisiopatológicos incluem lesão endotelial, trombose e ruptura da placa aterosclerótica(24). Em uma avaliação de 5 anos de sobreviventes de linfoma de Hodgkin (LH), a incidência cumulativa de doença coronariana foi diretamente proporcional à dose de radioterapia a que o coração foi exposto(25,26). Um estudo de coorte retrospectivo mostrou que pacientes com câncer de mama e Doença arterial coronariana (DAC) submetidas à radioterapia tiveram uma incidência 1,49 vezes maior de SCA(25).

Quadro 1. Terapias oncológicas e suas principais toxicidades cardiovasculares e neoplasias associadas.

| Terapia/Agente | Exemplos | Toxicidades Cardiovasculares | Neoplasias Associadas |
|-------------------------|--|--|--|
| Radioterapia | - | Miocardiopatia restritiva; arritmias; doença valvar; isquemia; infarto do miocárdio | Linfoma de Hodgkin; câncer de mama; câncer de pulmão |
| Antraciclinas | Doxorrubicina; epirrubicina; daunorrubicina; idarrubicina | Disfunção ventricular; arritmias; miocardite; pericardite | Linfomas; leucemias; câncer de mama; sarcomas |
| Agentes alquilantes | Ciclofosfamida; ifosfamida | Disfunção ventricular; doença arterial coronariana; hipertensão; arritmias | Linfomas; leucemias; mieloma múltiplo |
| Compostos de platina | Cisplatina; carboplatina | Trombose coronariana; hipertensão | Câncer de pulmão; câncer de testículo; câncer de ovário |
| Antimetabólitos | 5-fluorouracil (5-FU); capecitabina | Isquemia miocárdica; vasoespasmo coronariano; arritmias | Cânceres gastrointestinais (esôfago; estômago; colorretal) |

DAC = Doença Arterial Coronária. Fonte: Adaptado de Hajjar LA et al., Diretriz Brasileira de Cardio-Oncologia – 2020.

4.2 Síndrome coronariana aguda e Câncer

O diagnóstico de Síndrome coronariana aguda (SCA) em pacientes com câncer segue os mesmos critérios da população geral. Contudo, a apresentação clínica pode ser atípica(27). A ecocardiografia auxilia, em casos duvidosos, contribuindo para maior precisão diagnóstica(3,27).

Dados retrospectivos demonstraram menor utilização de estratificação invasiva em pacientes com câncer(2). A Cineangiografia seguida por intervenção coronária percutânea (ICP) é recomendada para pacientes portadores de SCA e câncer com prognóstico oncológico ≥ 6 meses; ou em casos com prognóstico < 6 meses, porém complicados por choque cardiogênico, edema pulmonar e taquiarritmias ventriculares(28).

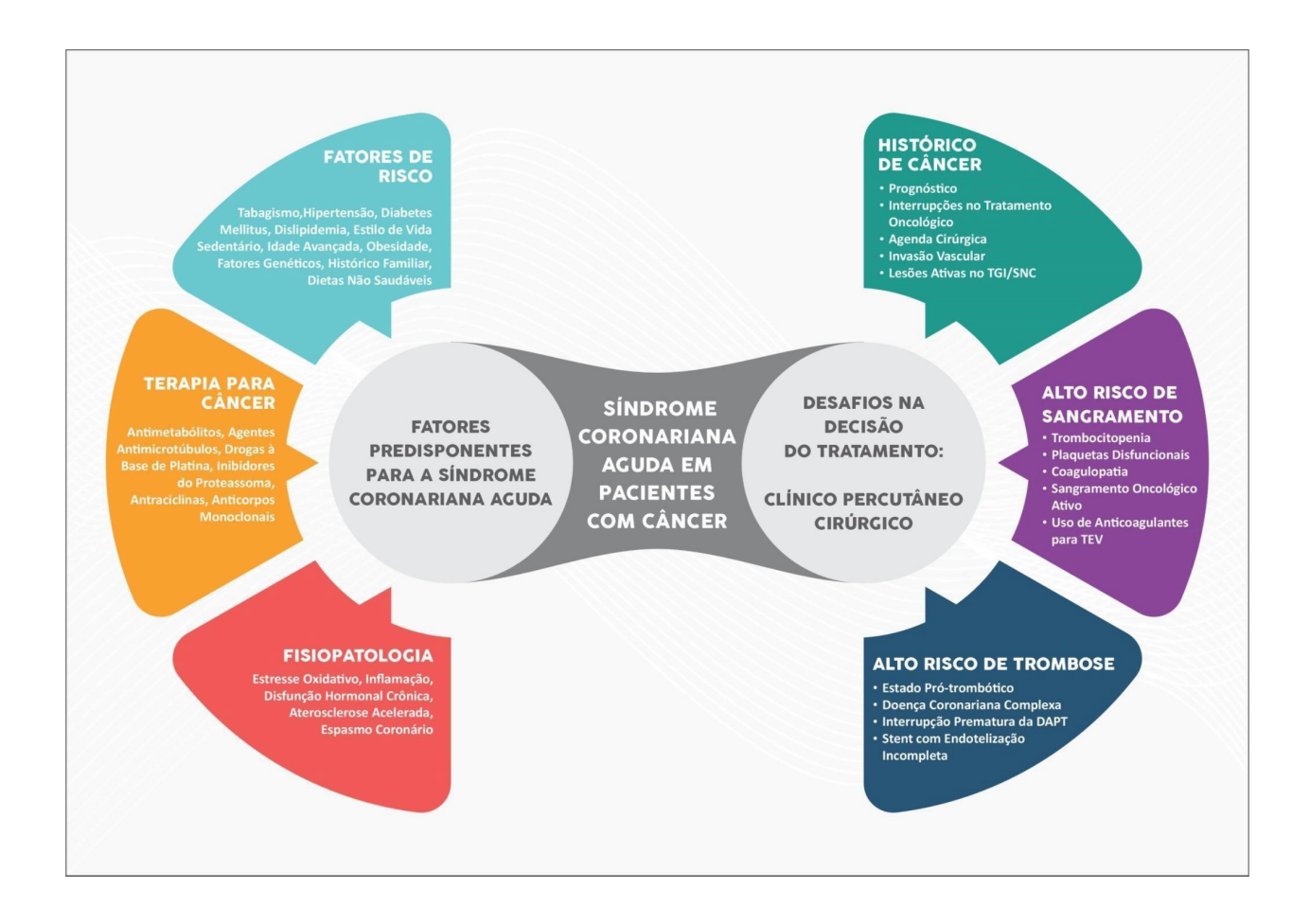
Em caso de ICP, a escolha é por stent farmacológico de terceira geração(28).

A cirurgia de revascularização miocárdica (RM) é uma opção em candidatos inadequados ao tratamento percutâneo e prognóstico oncológico > 12 meses(3). Um dos desafios é que a trombocitopenia está presente em cerca de 10% dos pacientes com câncer. Assim, utiliza-se um valor mínimo de segurança de contagem de plaquetas para realização de ICP (30.000) e de RM (50.000)(3).

A estratégia antitrombótica preferida após o stent farmacológico consiste em aspirina e clopidogrel (DAPT). Em pacientes de muito alto risco de sangramento, a duração da DAPT deve ser a menor possível (1-3 meses)(27). Em pacientes com necessidade de tripla terapia, após breve período de 1 semana, segue-se Novos anticoagulantes orais (NOAC) e clopidogrel como estratégia padrão(27). Recomendase a suspensão dos medicamentos contra o câncer associados à trombose coronariana. Já os não associados podem ser reiniciados tão logo a intervenção seja concluída livre de complicações(29).

Dada a complexidade dessa população e a alta probabilidade de diagnósticos diferenciais, há uma demanda clínica significativa por preditores que possam orientar estratégias diagnósticas e terapêuticas mais eficazes(30). Este trabalho busca aprofundar o entendimento da relação entre síndrome coronariana aguda (SCA) e câncer, com o objetivo de estimar a prevalência e identificar os fatores associados à ocorrência de SCA nessa população, contribuindo para a definição de abordagens mais personalizadas e baseadas em evidências.

Figura 1. Principais aspectos da síndrome coronariana aguda no paciente com câncer. Adaptado de Costa IBSS, Hajjar LA et al. Front Cardiovasc Med. 2021.



4.3 Principais artigos

Um estudo de coorte populacional realizado nos Estados Unidos entre 2000 e 2016 incluiu 752.092 homens diagnosticados com câncer de próstata, dos quais 27% morreram durante o período de análise(31). Usando dados da população geral, eles calcularam as razões de mortalidade padronizadas (SMRs) como a proporção entre as mortes observadas e as esperadas. Entre os pacientes com doença localizada ou regional, 17% das mortes foram atribuídas ao câncer de próstata, enquanto 83% ocorreram por outras causas, sendo as doenças cardíacas responsáveis por 23% dessas mortes (SMR 0,76)(31). Em contraste, nos casos de doença metastática, 90% das mortes ocorreram nos primeiros cinco anos após o diagnóstico, com 74% das mortes diretamente relacionadas ao câncer e risco elevado de morte por causas não

oncológicas, como doenças cardíacas (SMR 1,48). Esses dados destacam a relevância da interação entre câncer e doenças cardiovasculares, especialmente na fase avançada da doença, sendo fundamentais para a compreensão do impacto do câncer no risco de eventos cardíacos, como o infarto do miocárdio(31,32).

Uma análise de 6.563.255 pacientes hospitalizados por infarto agudo do miocárdio (IAM) nos Estados Unidos entre 2004 e 2014 revelou que cerca de 10% possuíam histórico ou diagnóstico ativo de câncer(6). Pacientes com câncer metastático apresentaram menor probabilidade de receber angioplastia primária em comparação com aqueles sem câncer, refletindo um possível impacto das comorbidades oncológicas na tomada de decisão terapêutica(6). Além disso, a mortalidade hospitalar foi significativamente maior entre pacientes com câncer, especialmente nos casos metastáticos, destacando o impacto negativo do câncer na evolução clínica após IAM(6). Esses achados sublinham a importância de estratégias multidisciplinares e personalizadas no manejo de pacientes oncológicos com eventos cardiovasculares, visando melhorar os desfechos clínicos e a equidade no acesso ao tratamento.

O estudo retrospectivo de coorte realizado na Inglaterra avaliou 282.000 pacientes que sofreram IAM, dos quais 10% possuíam histórico de câncer(33). Os resultados mostraram que pacientes com câncer receberam menos intervenções agudas, como angioplastia primária (50% vs. 60% em pacientes sem câncer). A taxa de mortalidade hospitalar foi maior no grupo com histórico de câncer (12% vs. 8%), especialmente em pacientes com câncer metastático, que apresentaram uma mortalidade de 20%. Além disso, a sobrevida em 1 ano foi significativamente menor entre pacientes com câncer (65%) em comparação aos sem câncer (80%)(33). Esses dados destacam desigualdades no manejo e piores desfechos clínicos em indivíduos com histórico de câncer, reforçando a necessidade de integração de equipes multidisciplinares para otimizar o tratamento cardiovascular nessa população.

Um estudo retrospectivo conduzido na Universidade Médica de Iwate, Japão, avaliou 1.356 pacientes admitidos com IAM, dos quais 7,5% apresentavam câncer ativo no momento do evento(34). Os pacientes com câncer ativo enfrentaram um risco maior de complicações hemorrágicas (15% contra 8%) devido ao uso de terapias antitrombóticas, além de apresentarem mortalidade hospitalar significativamente mais

alta (22% contra 9%)(34). Esses pacientes também foram submetidos a menos intervenções invasivas, como angioplastia (40% contra 60%), indicando uma abordagem terapêutica mais conservadora diante do risco aumentado de sangramento(34).

Esses resultados destacam os desafios únicos no manejo de pacientes com IAM e câncer ativo, sublinhando a necessidade de estratégias personalizadas que equilibrem os riscos trombóticos e hemorrágicos, bem como a integração de equipes multidisciplinares para otimizar os cuidados e melhorar os desfechos dessa população vulnerável.

Uma análise de 634.240 pacientes diagnosticados com câncer potencialmente curável na Inglaterra entre 2013 e 2018 revelou que 16,2% apresentavam doenças cardiovasculares (DCV) prévias(35). A prevalência de DCV variou significativamente entre os tipos de câncer, sendo maior em pacientes com câncer de pulmão de não pequenas células (36,1%) e menor em casos de câncer de mama (7,7%)(35). Homens, indivíduos mais velhos e aqueles de áreas economicamente desfavorecidas mostraram taxas mais altas de DCV, destacando disparidades relacionadas a fatores sociodemográficos(35). Esses resultados evidenciam a significativa sobreposição entre câncer e DCV, sublinhando a importância de considerar comorbidades cardiovasculares no planejamento de tratamentos oncológicos e na avaliação de desfechos clínicos. A integração de estratégias que abordem ambas as condições é essencial para melhorar o manejo e os resultados em pacientes com malignidades potencialmente curáveis.

O estudo conduzido por Pietro Ameri et al. (2024)(36), consiste em revisão sistemática e metanálise abrangentes sobre a relação entre câncer e desfechos adversos em pacientes submetidos à intervenção coronariana percutânea (ICP). O trabalho incluiu oito estudos principais, provenientes de registros institucionais e nacionais, que compararam pacientes com e sem câncer, consolidando dados sobre mortalidade geral, cardiovascular (CV) e intra-hospitalar(36). Os resultados da metanálise indicaram que a presença de câncer está associada a um aumento significativo do risco de morte em todas as categorias avaliadas, corroborando a maioria dos achados individuais.

No contexto japonês, Kurisu et al. (2013) analisaram retrospectivamente dados de 77 pacientes tratados por infarto agudo do miocárdio no *Hiroshima University Hospital*(37). A mortalidade intra-hospitalar foi significativamente maior em pacientes com câncer, reforçando o impacto negativo dessa condição nos desfechos agudos após ICP. Apesar do tamanho reduzido da amostra, o estudo demonstrou uma tendência alinhada com a metanálise, que identificou um risco relativo (RR) consolidado de 1,56 [Intervalo de confiança (IC) 95%, 1,41–1,73] para mortalidade intra-hospitalar(37).

Já o registro nacional prospectivo da Holanda, analisado por Velders et al. (2013), incluiu 3.423 pacientes com síndrome coronariana aguda(32). Este estudo multicêntrico revelou que pacientes com câncer apresentaram uma mortalidade geral 1,5 vezes maior em um ano, resultado que também foi corroborado pela metanálise(32). A análise Kaplan-Meier do estudo evidenciou menor sobrevivência cumulativa nos pacientes oncológicos, um padrão consistente com os resultados gerais consolidados(32).

Nos Estados Unidos, Hess et al. (2015) analisaram dados do registro DISSC, do Duke University Medical Center, com 15.008 pacientes e seguimento médio de 7,6 anos(38). O estudo demonstrou que pacientes com câncer ativo apresentaram risco 2,1 vezes maior de mortalidade CV em comparação aos sem câncer(38). Este achado foi central para a metanálise, que também destacou a mortalidade CV como um dos desfechos mais alarmantes em pacientes com câncer submetidos a ICP(38). A longa duração do seguimento permitiu uma avaliação robusta dos efeitos de longo prazo, alinhando-se às tendências observadas.

De forma semelhante, Landes et al. (2017), utilizando dados do Rabin Medical Center, Israel, analisaram 12.785 pacientes tratados com ICP(39). O estudo evidenciou que pacientes com câncer apresentaram maior mortalidade geral, com variação significativa entre diferentes tipos de câncer(39). Essa heterogeneidade clínica foi um fator ajustado na metanálise por meio do uso de modelos de efeitos aleatórios, que permitiram a consolidação de resultados provenientes de populações diversas(36,38,39).

Outro importante estudo foi conduzido por Potts et al. (2020), que utilizou a

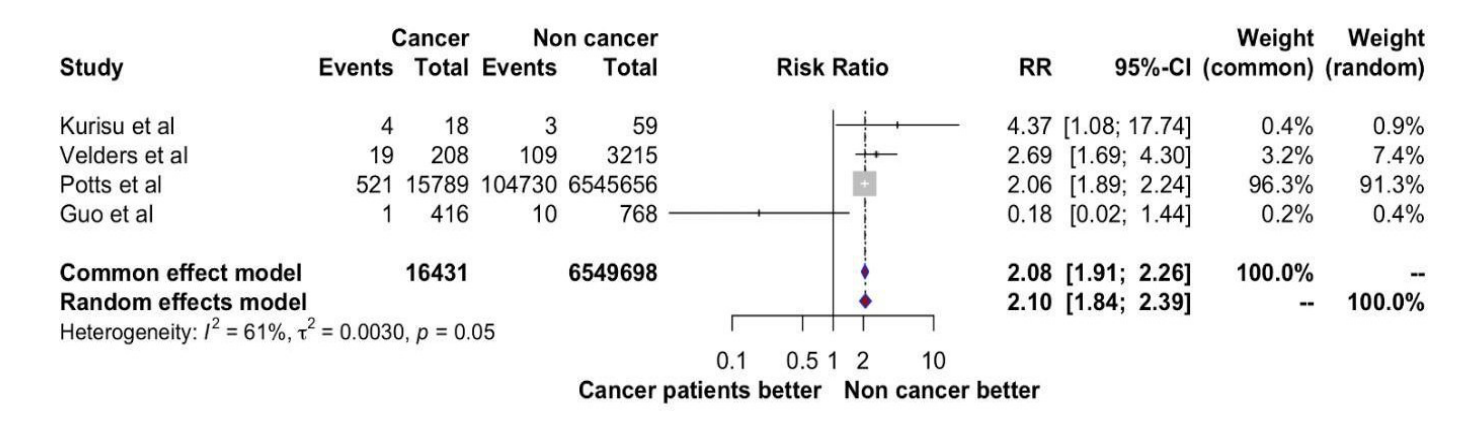
base de dados *National Inpatient Sample* (NIS) nos Estados Unidos, abrangendo mais de 6 milhões de pacientes(40). Este foi o maior estudo incluído na metanálise, concentrando-se em pacientes com câncer hematológico submetidos a ICP. O estudo revelou que a mortalidade intra-hospitalar foi 1,6 vezes maior em pacientes com câncer em comparação aos sem câncer(40). Este achado forneceu forte suporte ao RR consolidado de 1,56 identificado na metanálise, especialmente pela representatividade da amostra.

Por fim, Guo et al. (2021), com dados do registro do *Mayo Clinic Cath Lab*, analisaram 1.184 pacientes com seguimento médio de 5,5 anos(16). O estudo destacou o aumento na incidência de eventos trombóticos e isquêmicos em pacientes com câncer (RR, 1,7; IC95%, 1,3–2,1), reforçando o impacto do estado pró-trombótico associado ao câncer no risco cardiovascular(16). Embora o foco principal tenha sido eventos trombóticos, os achados complementaram os resultados gerais da metanálise, que apontaram um aumento significativo na mortalidade CV e geral.

Ao consolidar esses dados, a metanálise de Ameri et al.(36) confirmou um aumento de 45% no risco de mortalidade geral (RR = 1,45; IC 95%, 1,32–1,60) e de 78% na mortalidade CV (RR = 1,78; IC 95%, 1,48–2,14) em pacientes com câncer submetidos a ICP. Pequenas divergências entre os estudos podem ser atribuídas à heterogeneidade inerente da população oncológica, como tipos e estágios diferentes de câncer, bem como ao impacto variável dos tratamentos oncológicos concomitantes(36,37,39,40). Além disso, diferenças nos métodos de coleta de dados, no tamanho das amostras e na duração do seguimento contribuíram para variações específicas nos resultados individuais.

Figura 2. Risco relativo de mortalidade hospitalar em pacientes com câncer versus sem câncer nos estudos incluídos na meta-análise. Ameri P, Bertero E, et al. Ischaemic heart disease in patients with cancer. Eur Heart J. 2024.(36)

In-hospital all-cause death



A convergência dos achados dos estudos individuais e da metanálise de Ameri et al.(36) destaca a relação profundamente interligada entre câncer e complicações cardiovasculares, especialmente em pacientes submetidos à intervenção coronariana percutânea (ICP). Os dados reforçam que a coexistência de câncer altera significativamente os desfechos cardiovasculares, incluindo maior mortalidade geral e cardiovascular, taxas reduzidas de intervenções invasivas e uma incidência ampliada de eventos trombóticos e hemorrágicos (41). A heterogeneidade nas características da população oncológica, como os diferentes tipos e estágios de câncer, reflete a complexidade desses pacientes e exige abordagens personalizadas(6). Os resultados consolidados da metanálise confirmam o impacto prognóstico negativo do câncer(36), não apenas por aumentar o risco cardiovascular, mas também por influenciar as decisões terapêuticas e o manejo clínico, destacando a necessidade de integração multidisciplinar nos cuidados. Dessa forma, tanto os achados de estudos individuais quanto os resultados gerais da metanálise reforçam a urgência de estratégias que alinhem avanços no cuidado oncológico e cardiovascular, promovendo melhor manejo e desfechos para essa população vulnerável.

Nosso estudo se propôs avançar essa análise ao utilizar um registro específico de pacientes com câncer e infarto do miocárdio para conduzir um estudo caso-controle com análise multivariada. O objetivo foi avaliar, de forma mais robusta, se a relação observada entre câncer e desfechos cardiovasculares se manteria após a remoção de potenciais fatores de confusão, como idade, comorbidades, estágio do câncer, e tratamentos prévios. Essa abordagem permite compreender em profundidade a natureza causal ou associativa dos achados relatados na literatura. Além disso, os resultados podem fornecer uma base sólida para intervenções clínicas mais direcionadas e para o desenvolvimento de diretrizes integradas que abordem simultaneamente os desafios oncológicos e cardiovasculares de maneira mais eficaz.

5.0 MÉTODOS

5.1 Desenho do estudo

Este é um estudo observacional, retrospectivo e multicêntrico com delineamento de caso-controle. O objetivo principal é comparar características clínicas, fatores de risco e desfechos cardiovasculares entre dois grupos de pacientes com diagnóstico de síndrome coronariana aguda (SCA): aqueles com histórico de câncer e aqueles sem diagnóstico de câncer, permitindo a análise detalhada das peculiaridades e interações clínicas específicas em cada grupo.

Grupos do Estudo

- 1. Grupo Câncer: Composto por pacientes diagnosticados com câncer e SCA, cujos dados foram extraídos do Registro Brasileiro de Pacientes com Câncer e Infarto do Miocárdio (BRAVADO). Este registro fornece informações abrangentes e de alta qualidade sobre pacientes de várias instituições no Brasil.
- 2. Grupo Controle: Inclui pacientes diagnosticados apenas com SCA, sem histórico de câncer, provenientes do Instituto do Coração (InCor). Este grupo foi selecionado para servir como padrão comparativo, minimizando viés nas análises.

Os dados foram coletados de fevereiro de 2018 a janeiro de 2023, abrangendo diversos hospitais e centros médicos participantes no âmbito nacional. A centralização e integração dos dados foram realizadas por meio da plataforma *Research Electronic Data Capture* (RedCap), garantindo precisão, segurança e confiabilidade.

Para assegurar comparabilidade entre os dois grupos, foram aplicados critérios rigorosos de inclusão e exclusão. Além disso, métodos estatísticos, como pareamento por idade, sexo e fatores de risco cardiovasculares, foram utilizados para equilibrar as características basais entre os casos (pacientes com câncer e SCA) e controles (pacientes sem câncer e SCA).

O desenho do estudo possibilita, avaliar como o câncer influencia os desfechos cardiovasculares em pacientes com SCA, levando em consideração variáveis como

idade, estágio do câncer, comorbidades e tratamentos pré-existentes e determinar de forma robusta se o impacto observado nos desfechos está associado ao câncer ou a fatores de confusão.

Este delineamento permite empregar análises descritivas e inferenciais, possibilitando além da detecção de diferenças entre os grupos, ajustes adequados por meio de métodos multivariados, fortalecendo a validade dos achados e a aplicabilidade clínica.

O Registro BRAVADO foi concebido para abordar lacunas no entendimento da relação entre câncer e SCA, consolidando dados de múltiplos centros em uma base de alta qualidade. A inclusão de controles homogêneos provenientes do InCor permitiu comparações robustas e bem ajustadas, ampliando a validade dos achados. O foco principal foi estabelecer comparações entre os dois grupos, analisando características clínicas, terapêuticas e os desfechos cardiovasculares de forma detalhada.

O protocolo do estudo foi submetido à Comissão Científica do Instituto do Coração (InCor) e aprovado pela Comissão de Ética para Análise de Projetos de Pesquisa (CAPPesq) do Hospital das Clínicas da Faculdade de Medicina da Universidade de São Paulo (HC-FMUSP) em 22 de fevereiro de 2018, sob o número 2.507.879, com CAAE 83004118.1.1001.0065 (Anexo 1).

O estudo também foi devidamente registrado na plataforma internacional ClinicalTrials.gov, sob o identificador NCT04222608, garantindo transparência e conformidade com padrões internacionais de pesquisa.

5.2 Participantes e cenário

Os pacientes tiveram os seguintes Institutos de origem e os respectivos pesquisadores responsáveis:

Quadro 2. Centros e pesquisadores responsáveis.

| Instituição | Localização | Pesquisador Responsável |
|--------------------------|---------------------------|--|
| ICESP/InCor | São Paulo, SP | Carlos Augusto Homem de Magalhães Campos |
| Hospital São Lucas | Aracaju, SE | Juliane Dantas Seabra Garcez |
| Beneficência Portuguesa | São Paulo, SP | Rodrigo N. Campos |
| Instituto Prevent Senior | São Paulo, SP | Rodrigo B. Esper |
| Hospital AC Camargo | São Paulo, SP | Carlos Branco |
| Hospital Real Português | Recife, PE | Maria Antonieta A. A. M. Lopes |
| Hospital Sírio Libanês | São Paulo, SP | Fabio Sândoli de Brito Junior |
| Hospital Porto Dias | Belém, PA | Bruno Faillace |
| Hospital Angelina Caron | Campina Grande do Sul, PR | Dalton Bertolim Precoma |
| SOS Cardio | Florianópolis, SC | Marcelo H. Ribeiro |

5.3 Instrumento de coleta de dados

Todos os dados necessários ao estudo foram inseridos em fichas clínicas eletrônicas criadas pelo centro coordenador na Plataforma RedCap®. A base RedCap permite que parte das tarefas de monitoria seja realizada remotamente, em tempo real. Isso aumenta a sua eficácia e reduz os riscos para os profissionais envolvidos. Esta plataforma possui os requisitos de segurança e privacidade dos dados com as normativas internacionais de pesquisa. Mais informações em www.redcapbrasil.com.br.

Os dados registrados foram os fatores de risco para doença arterial coronária, antecedentes clínicos relevantes, doença oncológica de base, medicações utilizadas, aspectos angiográficos e da Intervenção Coronária Percutânea (ICP), assim como os tratamentos, desfechos e eventuais complicações hospitalares (Anexo 2).

Foram analisados dados clínicos de todos os pacientes que apresentaram os critérios de elegibilidade de forma retrospectiva, através da revisão ativa de prontuários médicos. O seguimento foi obtido por meio de consultas realizadas no ambulatório de cardiologia e/ou contato telefônico com familiares/próprio paciente por um prazo de doze meses.

5.4 Critérios de inclusão

- a) Paciente com diagnóstico anatomopatológico definitivo de neoplasia;
- b) Idade maior que 18 anos;
- c) Pacientes atendidos com SCA e com indicação de cateterismo cardíaco.

5.5 Critérios de exclusão

- a) Status performance comprometido (ECOG ≥ 3 e/ou KPS ≤60);
- b) Expectativa de vida menor que 24 horas;
- c) Pacientes em cuidados paliativos exclusivos;
- d) Dados incompletos de prontuário.

6. ASPECTOS ÉTICOS

O presente protocolo será conduzido de acordo com as diretrizes da

Conferência Internacional de Harmonização – ICH para as Boas Práticas Clínicas - BPC e Documento das Américas, assim como legislações nacionais e internacionais. O Centro de Pesquisa junto a seus Investigadores, sub-investigadores, coordenadores de estudo e monitores internos declaram que este protocolo será conduzido em conformidade com ICH e GCP – Guideline (CPMP/ICH/135/95) e de acordo com a Declaração de Helsinque (1964) e as revisões de Tóquio (1975), Veneza (1983), Hong Kong (1989), Somerset West (1996), Edinburgh (2000), Tóquio (2004) e Seul (2008), assim como as regulamentações locais (Resolução nº 466, de 12 de dezembro de 2012, Resolução nº 251, de 07 de Agosto de 1997) do CNS-MS e ANVISA RDC nº 260, de 21 de dezembro de 2018.

Houve dispensa do Termo de Consentimento Livre e Esclarecido (TCLE) por se tratar de um estudo retrospectivo, observacional envolvendo coleta de informações de prontuários médicos, disponíveis na instituição sem utilização de material biológico. Todos os dados foram manejados e analisados de forma anônima, os resultados decorrentes do estudo serão apresentados de forma agregada. É um estudo sem intervenções clínicas e sem alterações na rotina/tratamento dos participantes de pesquisa, e consequentemente sem adição de riscos ou prejuízos ao bem-estar dos mesmos.

O Centro de Pesquisa junto a seus Investigadores e sub-investigadores declaram ausência de qualquer conflito de interesse.

7. CONFIDENCIALIDADE DOS DADOS

Preservação da identidade dos participantes da pesquisa: para que o direito de privacidade dos participantes seja mantido, cada participante será codificado no momento da inclusão e esse código deverá ser utilizado na documentação do estudo. Declaração de interesse O Centro de Pesquisa junto a seus Investigadores e sub-investigadores declaram ausência de qualquer conflito de interesse.

8. DEFINIÇÕES DE DESFECHOS

8.1 Desfecho primário

Ocorrência de eventos cardiovasculares maiores (ECM) dentro de um período de 12 meses de seguimento.

Os ECM incluem:

- a) Mortalidade por todas as causas.
- b) Infarto agudo do miocárdio não fatal.
- c) Acidente vascular encefálico (AVE).
- d) Necessidade de revascularização do vaso-alvo.

8.2 Desfechos Secundários

Análise individual dos componentes do desfecho primário:

- a) Morte geral e morte de origem cardíaca.
- b) Infarto do miocárdio não fatal.
- c) Revascularizações adicionais.

9. ANÁLISE ESTATÍSTICA

A análise estatística foi realizada com o intuito de comparar as variáveis clínicas entre os grupos de pacientes com câncer e os controles, considerando as variáveis de interesse descritas nas tabelas anteriores. Inicialmente, as variáveis contínuas foram verificadas quanto à distribuição e analisadas por meio de medidas de tendência central e dispersão, como média, desvio padrão, mediana e intervalo interquartil. Para as variáveis categóricas, utilizou-se a distribuição de frequências absolutas e relativas.

No caso das variáveis categóricas, foi utilizado o teste do qui-quadrado (χ^2) ou teste exato de Fisher ou teste da razão de verossimilhança, quando necessário, para comparar as frequências observadas entre os grupos.

A metodologia do *Propensity Score Matching* (PSM)(42) foi utilizada neste estudo com o objetivo de controlar o viés de seleção e garantir que os grupos de pacientes com câncer e os controles fossem comparáveis. O escore de propensão foi calculado a partir de um modelo de regressão logística, no qual a variável dependente foi a presença de câncer (ou controle), e as variáveis independentes incluíram idade, sexo, diabetes melittus, hipertensão, insuficiência cardíaca e infarto agudo do miocárdio prévio. Essas variáveis foram escolhidas por sua relevância no contexto clínico, pois podem influenciar n os desfechos clínicos dos pacientes.

O escore de propensão estimado indicou a probabilidade de cada paciente ser incluído no grupo de câncer ou no grupo controle, com base em suas características clínicas. Após o cálculo dos escores, os pacientes foram pareados entre os grupos de câncer e controle, de forma a equilibrar as variáveis observacionais e criar comparações justas. O pareamento foi realizado utilizando técnicas como *caliper* 1:1, onde pacientes com escores de propensão semelhantes foram emparelhados, de modo que as comparações entre os grupos fossem feitas com base em características semelhantes.

Esse procedimento ajudou a reduzir o viés de seleção, permitindo uma análise mais precisa do impacto do câncer nos desfechos clínicos dos pacientes. O PSM é uma técnica poderosa em estudos observacionais, uma vez que possibilita controlar variáveis de confusão e simular, de certa forma, as condições de um estudo

randomizado. Assim, os resultados obtidos refletem uma comparação mais justa entre os grupos de interesse, levando em consideração as principais características clínicas dos pacientes.

No que se refere às análises de desfechos clínicos, como óbito, reinternações e complicações, os dados foram analisados considerando as taxas de eventos aos 30 dias, 6 meses e 1 ano representam os eventos acumulados, considerando ocorridos desde o início do estudo até cada ponto temporal específico. As taxas acumuladas de incidência dos comparadas com os teste qui-quadrado de Pearson ou teste exato de Fisher. Considerou-se significante um valor de P inferior a 0,05.

10. RESULTADOS

A seguir, apresenta-se uma descrição detalhada e descritiva dos resultados obtidos a partir da análise das variáveis sociodemográficas e clínicas entre os grupos de pacientes com diagnóstico de câncer e o grupo controle.

A amostra total foi composta por 864 indivíduos, sendo 632 pertencentes ao grupo com câncer e 232 ao grupo controle. Observou-se uma diferença estatisticamente significante na idade dos participantes entre os grupos, com mediana de 71 anos (intervalo interquartílico: 64 a 78 anos) no grupo com câncer, contra 68 anos (63 a 72 anos) no grupo controle (P < 0,001), indicando que os pacientes com câncer eram, em média, mais velhos.

Em relação ao sexo, a proporção de mulheres foi semelhante entre os grupos, com 34,5% no grupo câncer e 38,8% no grupo controle (P = 0,242), não havendo diferença estatisticamente significante. No que se refere à etnia, houve diferença significante entre os grupos (P < 0,001). A maioria dos participantes era branca, sendo 71,8% no grupo câncer e 84,6% no controle. Outras etnias como amarelo (2,1% no grupo câncer e 0,4% no controle), negro (5,3% vs. 6,6%), mestiço (5,3% vs. 1,3%) e outros (15,5% vs. 7%) apresentaram proporções distintas entre os grupos, o que reforça a heterogeneidade étnica do grupo câncer em comparação ao grupo controle.

Quanto à procedência dos pacientes, houve diferença significante (P < 0,001). No grupo câncer, a maioria foi atendida no pronto-socorro (73,5%), seguido por internações (15,1%), encaminhamentos externos (7,7%) e atendimento ambulatorial (3,8%). Já no grupo controle, quase a totalidade dos pacientes (97,8%) foi atendida no pronto-socorro, com baixa frequência de outros tipos de procedência.

O motivo de internação também apresentou diferença estatisticamente significante (P < 0,001). No grupo controle, quase todos os pacientes (98,3%) foram internados por síndrome coronariana aguda, enquanto no grupo câncer, essa condição representou 52,9% das internações. No grupo câncer, também foram observados outros motivos clínicos (40,6%), casos cirúrgicos (5%) e choque séptico (1,5%).

A prevalência de diabetes mellitus variou significantemente entre os grupos (P < 0,001). No grupo câncer, 26,3% dos pacientes eram insulino-dependentes e 17,9% não dependentes de insulina, enquanto no grupo controle essas proporções foram de 8,2% e 32,8%, respectivamente. A maior proporção de insulino-dependência no

grupo câncer pode indicar maior gravidade ou complexidade clínica nesses pacientes.

A hipertensão arterial sistêmica foi mais prevalente no grupo com câncer (77,6%) em comparação ao grupo controle (69,0%), com diferença statisticamente significante (P = 0,010). Já a história familiar de doenças cardíacas foi semelhante entre os grupos (10,3% no grupo câncer e 11,6% no controle), sem diferença estatisticamente significante (P = 0,571).

Com relação ao tabagismo, verificou-se diferença significante entre os grupos (P< 0,001). No grupo controle, a proporção de tabagistas atuais foi de 25%, em contraste com 11,9% no grupo câncer. Tabagismo prévio foi semelhante (35,2% no câncer e 32,8% no controle), enquanto a ausência de tabagismo foi mais frequente no grupo câncer (52,9% vs. 42,2%).

A dislipidemia foi significantemente mais comum no grupo câncer (50,3%) do que no controle (29,3%) (P < 0,001). A ocorrência de acidente vascular cerebral (AVC) ou ataque isquêmico transitório (AIT) foi semelhante entre os grupos (5,8%) no câncer e 5,6% no controle), sem diferença estatisticamente significante (P = 0,900).

A presença de doença arterial coronariana (DAC) foi significantemente mais prevalente no grupo com câncer (40,9%) em comparação ao controle (19,9%) (P < 0,001). Por fim, o uso de ácido acetilsalicílico (AAS) por mais de sete dias foi semelhante entre os grupos, com 38% no grupo câncer e 34,9% no grupo controle (P = 0,412), não havendo significância estatística.

Tabela 1. Características clínico-demográficas dos grupos de pacientes com câncer e controles – amostra total.

| Variável | Câncer n=632 | Controle n=232 | Total n=864 | Р |
|------------------------------|-----------------|-------------------|----------------|---------------------|
| Idade (anos) | 71 (64 - 78) | 68 (63 - 72) | 70 (64 - 76) | <0,001 a |
| Sexo (feminino) | 218 (34,5%) | 90 (38,8%) | 308 (35,6%) | 0,242 b |
| ETNIA | | | | <0,001 ^c |
| Branco | 408 (71,8%) | 193 (84,6%) | 601 (75,5%) | |
| Amarelo | 12 (2,1%) | 1 (0,4%) | 13 (1,6%) | |
| Negro | 30 (5,3%) | 15 (6,6%) | 45 (5,7%) | |
| Mestiço | 30 (5,3%) | 3 (1,3%) | 33 (4,1%) | |
| Outro | 88 (15,5%) | 16 (7%) | 104 (13,1%) | |
| Procedência | | | | <0,001 b |
| Ambulatorial | 22 (3,8%) | 2 (0,9%) | 24 (2,9%) | |
| Internado | 88 (15,1%) | 3 (1,3%) | 91 (11,2%) | |
| Externo | 45 (7,7%) | 0 (0%) | 45 (5,5%) | |
| Pronto-socorro | 429 (73,5%) | 227 (97,8%) | 656 (80,4%) | |
| Motivo de internação | | | | <0,001 b |
| Sindrome Coronariana Aguda | 309 (52,9%) | 228 (98,3%) | 537 (65,8%) | |
| Choque Séptico | 9 (1,5%) | 0 (0%) | 9 (1,1%) | |
| Clínico (outro) | 237 (40,6%) | 0 (0%) | 237 (29%) | |
| Cirúrgico | 29 (5%) | 4 (1,7%) | 33 (4%) | |
| Diabetes Mellitus | | | | <0,001 ^b |
| Insulino dependente | 154 (26,3%) | 19 (8,2%) | 173 (21,1%) | |
| Insulino não dependente | 105 (17,9%) | 76 (32,8%) | 181 (22,1%) | |
| Não | 327 (55,8%) | 137 (59,1%) | 464 (56,7%) | |
| Hipertensão | 456 (77,6%) | 160 (69%) | 616 (75,1%) | 0,010 b |
| História familiar de doenças | | | | , b |
| cardíacas | 57 (10,3%) | 27 (11,6%) | 84 (10,7%) | 0,571 |
| Tabagismo | | | | <0,001 b |
| Atual | 70 (11,9%) | 58 (25%) | 128 (15,6%) | |
| Prévio | 207 (35,2%) | 76 (32,8%) | 283 (34,5%) | |
| Não | 311 (52,9%) | 98 (42,2%) | 409 (49,9%) | |
| Dislipidemia | 294 (50,3%) | 68 (29,3%) | 362 (44,4%) | <0,001 ^b |
| AVC/AIT | 34 (5,8%) | 13 (5,6%) | 47 (5,8%) | 0,900 b |
| DAC | 239 (40,9%) | 46 (19,9%) | 285 (35%) | <0,001 b |
| USO AAS > 7 dias | 220 (38%) | 81 (34,9%) | 301 (37,1%) | 0,412 b |

Os valores estão apresentados como mediana e intervalo interquartílico (IQR) para variáveis contínuas e como frequência absoluta (n) e relativa (%) para variáveis categóricas. a: teste de Mann-Whitney, b: teste qui-quadrado de Pearson, c: teste da razão de verossimilhança. Abreviações: AVC/AIT: acidente vascular cerebral/ataque isquêmico transitório DAC: doença arterial coronariana; AAS: ácido acetilsalicílico.

A análise das variáveis clínicas adicionais revelou diferenças importantemente significantes entre os grupos com diagnóstico de câncer e o grupo controle.

A insuficiência cardíaca (IC) foi significantemente mais prevalente no grupo com câncer, atingindo 14,4% dos pacientes, em comparação com apenas 2,6% no grupo controle (P < 0,001). Isso sugere uma associação entre o diagnóstico oncológico e maior comprometimento da função cardíaca.

No que se refere à classe funcional da IC, não houve diferença estatisticamente significante entre os grupos (P = 0,604). Entre os pacientes com câncer, a maioria encontrava-se na Classe I da classificação funcional (49,4%), seguida pela Classe II (32,5%), Classe III (10,4%) e Classe IV (7,8%). Já no grupo controle, observou-se maior concentração nas Classes I (33,3%) e II (50,0%), com menor frequência nas Classes III (16,7%) e ausência de casos na Classe IV.

Com relação ao infarto agudo do miocárdio (IAM), houve diferença significante entre os grupos (P = 0,004). No grupo câncer, 4,6% apresentaram IAM recente (menos de 90 dias), enquanto 22,6% relataram IAM tardio (mais de 90 dias). Já no grupo controle, essas proporções foram de 6,5% e 12,5%, respectivamente. A ausência de IAM foi mais prevalente no grupo controle (81%) em comparação ao grupo câncer (72,7%).

A prevalência de angioplastia transluminal coronariana (ATC) foi semelhante entre os grupos, com 16,2% no grupo câncer e 15,9% no controle, não havendo diferença statisticamente significante (P = 0,943). Da mesma forma, a realização de revascularização do miocárdio (RM) também não apresentou significância estatística (P = 0,055), embora tenha sido mais frequente no grupo câncer (8,1%) do que no controle (4,3%).

A presença de insuficiência renal crônica (IRC) mostrou diferença significante entre os grupos (P = 0,023). No grupo com câncer, 3,3% dos pacientes estavam em terapia dialítica, e 14,1% apresentavam IRC não dialítica. No grupo controle, essas proporções foram de 0,4% e 10,8%, respectivamente. A ausência de IRC foi mais comum entre os controles (88,8%) do que entre os pacientes com câncer (82,6%).

Quanto à infecção pelo vírus da imunodeficiência humana (HIV), não houve diferença estatisticamente significante entre os grupos (P = 0,201). Apenas sete pacientes com câncer (1,2%) apresentavam diagnóstico de HIV, enquanto nenhum caso foi registrado no grupo controle.

A pontuação no escore *Thrombolysis In Myocardial Infarction Risk* (TIMI Risk) (para IAM sem supradesnivelamento do segmento ST (IAMSST) foi similar entre os grupos, com mediana de 4 (intervalo interquartílico: 3 a 5) para o grupo câncer e

valores idênticos para o grupo controle, sem diferença estatisticamente significante (P = 0,312). O escore GRACE, utilizado para estratificação de risco em pacientes com síndrome coronariana aguda, também não apresentou diferença significante entre os grupos (P = 0,636), com mediana de 122 (102 - 145) no grupo câncer e valores semelhantes no grupo controle.

Da mesma forma, o escore TIMI Risk para IAM com supradesnivelamento do segmento ST (IAMCSST) não apresentou diferença significante entre os grupos (P = 0,091), embora os pacientes com câncer tenham apresentado mediana de 5 (intervalo: 3 a 7) e o grupo controle mediana de 4 (3 a 6).

Observou-se uma diferença estatisticamente significante na fração de ejeção do ventrículo esquerdo, com os pacientes do grupo controle apresentando valores significantemente mais elevados, com mediana de 71% (64 - 78), em comparação aos pacientes com câncer, cuja mediana foi de 58% (45 - 64) (P < 0,001). Este achado indica pior função sistólica no grupo com câncer, o que pode refletir maior comprometimento cardiovascular nesta população.

Tabela 2. Características clínico-demográficas dos grupos de pacientes com câncer e controles – amostra total. (continuação)

| Variável | Câncer n=632 | Controle n=232 | Total n=864 | Р |
|---------------------|-----------------|-------------------|-----------------|--------------------|
| IC | 84 (14,4%) | 6 (2,6%) | 90 (11%) | <0,001 b |
| Classe funcional | | | | 0,604 ^c |
| 1 | 38 (49,4%) | 2 (33,3%) | 40 (48,2%) | |
| II | 25 (32,5%) | 3 (50%) | 28 (33,7%) | |
| III | 8 (10,4%) | 1 (16,7%) | 9 (10,8%) | |
| IV | 6 (7,8%) | 0 (0%) | 6 (7,2%) | |
| IAM | | | | 0,004 b |
| Recente (< 90 dias) | 27 (4,6%) | 15 (6,5%) | 42 (5,2%) | |
| Tardio (> 90 dias) | 132 (22,6%) | 29 (12,5%) | 161 (19,8%) | |
| Não | 424 (72,7%) | 188 (81%) | 612 (75,1%) | |
| ATC | 94 (16,2%) | 37 (15,9%) | 131 (16,1%) | 0,943 b |
| RM | 47 (8,1%) | 10 (4,3%) | 57 (7%) | 0,055 b |
| IRC | | | | 0,023 b |
| Dialítica | 19 (3,3%) | 1 (0,4%) | 20 (2,5%) | |
| Não dialítica | 82 (14,1%) | 25 (10,8%) | 107 (13,2%) | |
| Não | 480 (82,6%) | 206 (88,8%) | 686 (84,4%) | |
| HIV | 7 (1,2%) | 0 (0%) | 7 (0,9%) | 0,201 d |
| TIMI RISK IAMSST | 4 (3 - 5) | 122 (102 - 145) | 4 (3 - 5) | 0,312 a |
| GRACE | 122 (102 - 145) | 5 (3 - 7) | 121 (103 - 145) | 0,636 a |
| TIMI RISK IAMCSST | 5 (3 - 7) | 58 (45 - 64) | 4 (3 - 6) | 0,091 a |

<0.001 a

Fração de ejeção % 58 (45 - 64) 71 (64 - 78) 55 (45 - 63)

Os valores estão apresentados como mediana e intervalo interquartílico (IQR) para variáveis contínuas e como frequência absoluta (n) e relativa (%) para variáveis categóricas. b: teste qui-quadrado de Pearson, c: teste da razão de verossimilhança, d: teste exato de Fisher.

Abreviações: IC – insuficiência cardíaca; IAM – infarto agudo do miocárdio; ATC – angioplastia transluminal coronária; RM – revascularização do miocárdio; IRC – insuficiência renal crônica; HIV – vírus da imunodeficiência humana; TIMI RISK IAMSST – escore de risco TIMI para infarto agudo do miocárdio sem supradesnível do segmento ST; TIMI RISK IAMCSST – escore de risco TIMI para infarto agudo do miocárdio com supradesnível do segmento ST; GRACE – escore prognóstico do registro Global Registry of Acute Coronary Events.

Apresenta-se na Tabela 4, a descrição detalhada das características oncológicas dos pacientes pertencentes ao grupo com diagnóstico de câncer (n = 632), incluindo a distribuição dos tipos de neoplasia e o estadiamento clínico no momento da avaliação.

A neoplasia de próstata foi a mais prevalente, acometendo 118 pacientes, o que representa 19% do total da amostra oncológica. Em seguida, observou-se alta frequência de câncer de mama, diagnosticado em 72 indivíduos (11,6%), câncer colorretal em 71 casos (11,5%) e câncer de pulmão em 70 pacientes (11,3%). Esses dados evidenciam que as neoplasias do trato reprodutor masculino e dos órgãos digestivos estão entre as mais incidentes na população estudada.

Outros tipos de câncer também se destacaram: câncer de cabeça e pescoço foi identificado em 50 pacientes (8,1%), neoplasias do sistema urinário (rins e vias urinárias) em 47 casos (7,6%), e tumores linfoproliferativos em 41 pacientes (6,6%). O câncer ginecológico, que compreende os tumores do aparelho reprodutor feminino, foi responsável por 32 casos (5,2%), enquanto o câncer gástrico ocorreu em 25 pacientes (4%).

Outras localizações neoplásicas incluíram o câncer hepático e das vias biliares (28 casos; 4,5%), neoplasia de pele (19 casos; 3,1%) e câncer de esôfago, com menor incidência (13 casos; 2,1%). Essa diversidade de tipos tumorais reforça a heterogeneidade da amostra oncológica em termos de localização primária do câncer.

Quanto ao estadiamento clínico, observou-se que 236 pacientes (41,6%) estavam com doença ativa ou em fase de diagnóstico recente, o que representa a maior proporção dentro dessa categoria. Outros 228 pacientes (40,2%) encontravam-se em situação de recidiva ou progressão da doença, indicando agravamento ou retorno da condição neoplásica após tratamento anterior. Apenas 103 pacientes (18,2%) estavam sem evidência de doença no momento da coleta dos

dados, demonstrando um número relativamente menor de casos em remissão completa.

Tabela 3. Distribuição dos tipos de câncer e estadiamento.

| Variável | Câncer n=632 |
|---------------------------|-----------------|
| Mama | 72 (11,6%) |
| Ginecológico | 32 (5,2%) |
| Próstata | 118 (19%) |
| Colorretal | 71 (11,5%) |
| Esôfago | 13 (2,1%) |
| Estômago | 25 (4%) |
| Pulmão | 70 (11,3%) |
| Rins e vias urinárias | 47 (7,6%) |
| Linfoproloferativo | 41 (6,6%) |
| Pele | 19 (3,1%) |
| Hepático/via biliar | 28 (4,5%) |
| Cabeça e pescoço | 50 (8,1%) |
| Estadiamento | |
| Ativa/Diagnóstico recente | 236 (41,6%) |
| Recidiva/Progressão | 228 (40,2%) |
| Sem evidência de doença | 103 (18,2%) |

A avaliação do estado funcional segundo a escala ECOG (*Eastern Cooperative Oncology Group Performance Status*), Tabela 5, revelou que a maioria dos pacientes oncológicos apresentava bom desempenho funcional. A maior proporção de pacientes foi classificada com ECOG 0 (212 pacientes; 37,7%), indicando indivíduos completamente ativos, capazes de realizar todas as atividades da vida diária sem restrições. Em seguida, 194 pacientes (34,5%) foram classificados como ECOG 1, ou seja, apresentavam limitação leve da atividade física, porém permaneciam ambulatoriais e capazes de realizar trabalho leve.

A classificação ECOG 2 abrangeu 133 pacientes (23,6%), os quais estavam ambulatoriais e capazes de cuidar de si próprios, embora incapazes de desempenhar atividades laborais. Em níveis mais avançados de limitação funcional, 21 pacientes (3,7%) apresentavam ECOG 3, com capacidade limitada a cuidados pessoais e confinamento parcial ao leito ou cadeira por mais de 50% do tempo.

Esses dados sugerem que, embora uma parcela relevante dos pacientes

apresentasse algum grau de limitação funcional (ECOG ≥ 2), a maioria mantinha autonomia parcial ou total (ECOG 0–1), o que tem implicações prognósticas e terapêuticas importantes.

A índice de desempenho de Karnofsky (KPS), que também avalia o desempenho funcional, apresentou distribuição compatível com a escala ECOG, com predomínio de escores elevados. A maior proporção foi observada entre os pacientes com KPS 100 (131 pacientes; 23,3%), indicando total independência para atividades físicas e laborais, seguidos pelos que apresentaram KPS 90 (123 pacientes; 21,8%) e KPS 80 (61 pacientes; 10,8%). Esses grupos representam pacientes com funcionalidade praticamente preservada e ausência ou presença mínima de sintomas.

Outros 54 pacientes (9,6%) foram classificados com KPS 70, representando indivíduos ainda capazes de se manterem independentes, embora com redução na capacidade para atividades mais exigentes. Já os escores intermediários, como KPS

60 (27 pacientes; 4,8%) e KPS 50 (11 pacientes; 2%), indicam necessidade de assistência esporádica ou frequente. Em níveis mais críticos, foram observados 3 pacientes com KPS 40 (0,5%), expressando severa limitação funcional, com necessidade de cuidados intensivos.

A predominância de escores KPS entre 80 e 100 (55,9%) reforça o achado da escala ECOG, demonstrando que a maioria dos pacientes oncológicos avaliados mantinha o desempenho funcional relativamente preservado, condição fundamental para a tomada de decisão terapêutica e para a definição de prognóstico clínico.

Tabela 4. Performance status dos pacientes com câncer

| Variável | Câncer n=632 |
|----------|-----------------|
| ECOG | |
| 0 | 212 (37,7%) |
| 1 | 194 (34,5%) |
| 2 | 133 (23,6%) |
| 3 | 24 (4,3%) |
| KPS | |
| 40 | 18 (3,2%) |
| 50 | 11 (2,0%) |
| 60 | 27 (4,8%) |

| 70 | 54 (9,6%) |
|-----|-------------|
| 80 | 61 (10,8%) |
| 90 | 123 (21,8%) |
| 100 | 131 (23,3%) |

Abreviações: ECOG – Eastern Cooperative Oncology Group,

KPS - Karnofsky Performance Status.

276 Dentre os pacientes avaliados. (56%) realizaram tratamento quimioterápico, evidenciando uma considerável proporção de indivíduos submetidos a terapias sistêmicas antineoplásicas. A variedade de agentes utilizados reflete a heterogeneidade dos tipos de câncer e protocolos terapêuticos adotados.

Dentre os quimioterápicos citotóxicos, os mais utilizados foram a ciclofosfamida, empregada em 29 pacientes (22,5%), e a carboplatina, administrada em 28 pacientes (21,1%), seguidos pela oxaliplatina, utilizada por 21 pacientes (16%), e pelo fluoracil (5-FU), em 51 pacientes (16,2%). A doxorrubicina também apresentou uso expressivo, tendo sido prescrita a 19 pacientes (14,5%) (Tabela 6)

Outros agentes com uso relevante incluíram o cisplatina (34 pacientes; 10,7%), vincristina e gosserrelina, ambos utilizados por 14 pacientes (10,9%), além de paclitaxel, administrado a 39 pacientes (12,3%). O docetaxel, embora do mesmo grupo farmacológico, foi utilizado com menor frequência (9 pacientes; 7%).

No grupo de terapias-alvo e imunobiológicos, destaca-se o uso do rituximabe em 11 pacientes (8,5%), bevacizumabe em 4 pacientes (3,1%), e trastuzumabe em apenas 2 pacientes (1,6%). Outros agentes menos utilizados incluem o sorafenibe (3 pacientes; 2,3%), imatinibe (11 pacientes; 3,5%), dasatinibe e nilotinibe, cada um utilizado por 1 paciente (0,3%), e ponatinibe, que não foi utilizado por nenhum paciente.

No que tange aos agentes hormonais, os mais prescritos foram tamoxifeno e metotrexato, ambos utilizados por 7 pacientes (5,5%), seguidos por letrozol (6 pacientes; 4,7%) e leuprorrelina (10 pacientes; 7,8%).

Quanto à radioterapia mediastinal, apenas uma minoria dos pacientes foi submetida a esse tipo de tratamento: 3 pacientes (0,5%) encontravam-se em tratamento atual, e 28 pacientes (4,9%) haviam recebido radioterapia em momento prévio (há mais de 30 dias). A grande maioria, 537 pacientes (94,5%), não foi submetida a esse tipo específico de radioterapia.

Tabela 5. Tratamentos Oncológicos

| Variável | Câncer n=632 |
|--------------------------|-----------------|
| Quimioterapia | 276 (56%) |
| Paclitaxel | 39 (12,3%) |
| Docetaxel | 9 (7%) |
| Doxorrubicina | 19 (14,5%) |
| Fluoracil (5-FU) | 51 (16,2%) |
| Capecitabina | 10 (3,2%) |
| Gencitabina | 11 (8,6%) |
| Cisplatina | 34 (10,7%) |
| Oxaplatina | 21 (16%) |
| Carboplatina | 28 (21,1%) |
| Ciclofosfamida | 29 (22,5%) |
| Bevacizumabe | 4 (3,1%) |
| Trastuzumab | 2 (1,6%) |
| Pertuzumabe | 0 (0%) |
| Rituximabe | 11 (8,5%) |
| Vemurafenibe | 0 (0%) |
| Sorafenibe | 3 (2,3%) |
| Imatinibe | 11 (3,5%) |
| Dasatinib | 1 (0,3%) |
| Nilotinib | 1 (0,3%) |
| Ponatinib | 0 (0%) |
| Etoposide | 6 (4,7%) |
| Talidomida | 6 (4,7%) |
| Melfalana | 3 (2,4%) |
| Tamoxifeno | 7 (5,5%) |
| Letrozol | 6 (4,7%) |
| Vincristina | 14 (10,9%) |
| Metotrexato | 7 (5,5%) |
| Leuprorrelina | 10 (7,8%) |
| Gosserrelina | 14 (10,9%) |
| Irinotecano | 5 (3,9%) |
| Radioterapia mediastinal | |
| Atual | 3 (0,5%) |
| Prévia (> 30 dias) | 28 (4,9%) |
| Não | 537 (94,5%) |

Na Tabela 6, a análise da prescrição medicamentosa evidencia diferenças significantes entre os grupos avaliados. O uso de ácido acetilsalicílico (AAS) foi amplamente prevalente em ambos os grupos, embora significativamente mais comum entre os pacientes do grupo controle, com 223 (96,1%) usuários, em comparação a 458 (72,2%) entre os pacientes com câncer (P < 0,001). Situação semelhante foi observada quanto ao uso de clopidogrel, prescrito para 201 (86,6%) indivíduos do grupo controle e 291 (45,9%) do grupo câncer (P < 0,001).

Entre os inibidores mais potentes da agregação plaquetária, como prasugrel e ticagrelor, o uso foi menos frequente. O prasugrel foi prescrito exclusivamente a pacientes com câncer (8 pacientes; 1,3%), enquanto ticagrelor foi utilizado por 46 (7,3%) pacientes com câncer e 12 (5,2%) do grupo controle, sem diferença significante entre os grupos (P = 0,357).

No que tange à anticoagulação, observou-se que 317 (37,3%) dos pacientes utilizaram enoxaparina, com predominância no grupo controle (142 pacientes; 61,2%) frente a 175 (28,3%) no grupo com câncer (P < 0,001). O uso de heparina não fracionada (HNF) foi similar entre os grupos, sendo utilizada por 55 (8,8%) dos pacientes com câncer e 26 (11,2%) dos controles (P = 0,294). Um número expressivo de pacientes com câncer (315; 50,4%) não recebeu nenhum tipo de anticoagulação, em contraste com 62 (26,7%) do grupo controle, diferença esta significantemente estatística (P < 0,001).

Quanto aos anticoagulantes orais, o uso foi raro: varfarina foi prescrita a apenas 4 pacientes (0,5%), rivaroxabana a 7 (0,8%), apixabana a 3 (0,4%), e dabigatrana não foi utilizada por nenhum paciente. Não foram observadas diferenças significantes entre os grupos quanto a esses fármacos.

Em relação aos vasodilatadores, nitratos foram utilizados por 100 (16,2%) pacientes com câncer e 44 (19%) do grupo controle (P = 0,335). O uso de inibidores da enzima conversora de angiotensina (IECA) foi significativamente maior no grupo controle (60 pacientes; 25,9%) do que no grupo câncer (99 pacientes; 16%), com P = 0,001. Por outro lado, os bloqueadores dos receptores da angiotensina (BRA) apresentaram uso semelhante entre os grupos (64 pacientes com câncer; 10,3% e 15 do controle; 6,5%; P = 0,085). A ausência de uso de vasodilatadores foi equivalente entre os grupos, com 330 pacientes (52,5%) no grupo câncer e 122 (52,6%) no grupo controle (P = 0,975).

O uso de estatinas também foi alto em ambos os grupos, sendo empregadas

por 415 (73,2%) pacientes com câncer e 163 (70,6%) do grupo controle, sem diferença significante (P = 0,451). Já o uso de betabloqueadores foi significativamente menor entre os pacientes com câncer (232; 41,4%) em comparação ao grupo controle (55; 23,7%; P < 0,001). O mesmo ocorreu com os bloqueadores dos canais de cálcio, utilizados por 58 pacientes com câncer (10,4%) e apenas 6 (2,6%) do grupo controle (P < 0,001). Por fim, a furosemida foi administrada a 62 pacientes com câncer (11%) e 14 do grupo controle (6%), diferença estatisticamente significante (P = 0,029).

Tabela 6. Uso de medicamentos cardiovasculares entre pacientes com câncer e controles, na admissão.

| Variável | Câncer n=632 | Controle n=232 | Total n=864 | Р |
|--------------------|-----------------|-------------------|----------------|----------|
| AAS | 458 (72,2%) | 223 (96,1%) | 681 (78,6%) | <0,001 b |
| Clopidogrel | 291 (45,9%) | 201 (86,6%) | 492 (56,8%) | <0,001 b |
| Prasugrel | 8 (1,3%) | 0 (0%) | 8 (0,9%) | 0,117 d |
| Ticagrelor | 46 (7,3%) | 12 (5,2%) | 58 (6,7%) | 0,357 d |
| HNF | 55 (8,8%) | 26 (11,2%) | 81 (9,5%) | 0,294 d |
| Enoxaparina | 175 (28,3%) | 142 (61,2%) | 317 (37,3%) | <0,001 b |
| Sem anticoagulação | 315 (50,4%) | 62 (26,7%) | 377 (44%) | <0,001 b |
| Varfarina | 3 (0,5%) | 1 (0,4%) | 4 (0,5%) | 0,917 b |
| Rivaroxabana | 6 (1%) | 1 (0,4%) | 7 (0,8%) | 0,437 b |
| Dabigatrana | 0 (0%) | 0 (0%) | 0 (0%) | |
| Apixabana | 3 (0,5%) | 0 (0%) | 3 (0,4%) | 0,287 b |
| Nitrato | 100 (16,2%) | 44 (19%) | 144 (16,9%) | 0,335 b |
| IECA | 99 (16%) | 60 (25,9%) | 159 (18,7%) | 0,001 b |
| BRA | 64 (10,3%) | 15 (6,5%) | 79 (9,3%) | 0,085 b |
| Sem vasodilatador | 330 (52,5%) | 122 (52,6%) | 452 (52,5%) | 0,975 b |
| Estatina | 415 (73,2%) | 163 (70,6%) | 578 (72,4%) | 0,451 b |
| B-Bloqueador | 232 (41,4%) | 55 (23,7%) | 287 (36,2%) | <0,001 b |
| B-Canal de cálcio | 58 (10,4%) | 6 (2,6%) | 64 (8,1%) | <0,001 b |
| Furosemida | 62 (11%) | 14 (6%) | 76 (9,6%) | 0,029 b |

Os valores estão apresentados como frequência absoluta (n) e relativa.

Abreviações: AAS – ácido acetilsalicílico; HNF – heparina não fracionada, IECA – inibidor da enzima conversora de angiotensina; BRA – bloqueador do receptor de angiotensina II

b: teste qui-quadrado de Pearson.

No uso do AAS, observa-se que a grande maioria dos pacientes, tanto com câncer (96,5%) quanto controles (99,1%), não apresentava contraindicação para seu uso, totalizando 97,3% da amostra geral. As contraindicações específicas, como sangramento ativo, coagulopatia e alergia, foram pouco frequentes e distribuídas quase exclusivamente no grupo oncológico. O valor de P associado a essa comparação foi de 0,067, indicando que as diferenças observadas entre os grupos não foram estatisticamente significantes.

Em relação aos betabloqueadores, identificou-se uma menor proporção de pacientes sem contraindicações no grupo com câncer (88,9%) comparado ao grupo controle (98,7%). As contraindicações mais prevalentes nesse grupo incluíram bradicardia, hipotensão, doença pulmonar obstrutiva crônica ou asma e choque, todas ausentes ou raras no grupo controle. O valor de P inferior a 0,001 confirma que essas diferenças são estatisticamente bastante significantes, sugerindo uma maior restrição ao uso de betabloqueadores na população oncológica.

Quanto aos IECA/BRA, a proporção de pacientes sem contraindicações foi também menor no grupo com câncer (89%) em relação ao controle (99,6%). As contraindicações mais comuns foram insuficiência renal e hipotensão, presentes apenas no grupo com câncer. O valor de P, igualmente inferior a 0,001, reforça a existência de uma diferença estatisticamente muito significante entre os grupos, indicando maior frequência de contraindicações para essa classe de medicamentos no pacientes oncológicos.

As contraindicações ao uso de estatinas foram praticamente inexistentes em ambos os grupos, com 99,5% dos pacientes com câncer e 100% dos controles sem restrições para seu uso. As poucas contraindicações identificadas, como aumento de CPK e transaminases, não apresentaram diferenças estatísticas, conforme evidenciado pelo valor de P igual a 0,565, que não é estatisticamente significante.

Tabela 7. Contra-indicações ao uso de medicamentos entre pacientes com câncer e controles, na admissão.

| Variável | Câncer n=632 | Controle n=232 | Total n=864 | Р |
|-------------------------------|-----------------|-------------------|----------------|--------------------|
| Contra-indicação AAS | | | | 0,067 ^c |
| Não | 553 (96,5%) | 230 (99,1%) | 783 (97,3%) | |
| Sangramento ativo | 5 (0,9%) | 0 (0%) | 5 (0,6%) | |
| Coagulopatia | 6 (1%) | 0 (0%) | 6 (0,7%) | |
| Alergia | 2 (0,3%) | 0 (0%) | 2 (0,2%) | |
| Outro | 5 (0,9%) | 2 (0,9%) | 7 (0,9%) | |
| Contra-indicação B-Bloqueador | | | | <0,001 ° |
| Não | 510 (88,9%) | 229 (98,7%) | 739 (91,7%) | |
| Bradicardia | 9 (1,6%) | 1 (0,4%) | 10 (1,2%) | |
| BAV Avançado | 0 (0%) | 1 (0,4%) | 1 (0,1%) | |
| Hipotensão | 18 (3,1%) | 0 (0%) | 18 (2,2%) | |
| DPOC/Asma | 13 (2,3%) | 0 (0%) | 13 (1,6%) | |
| Choque | 6 (1%) | 0 (0%) | 6 (0,7%) | |
| Outro | 14 (2,4%) | 1 (0,4%) | 15 (1,9%) | |
| Contra-indicação IECA/BRA | | | | <0,001 ° |
| Não | 510 (89%) | 231 (99,6%) | 741 (92%) | |
| Insuficiência renal | 27 (4,7%) | 0 (0%) | 27 (3,4%) | |
| Hipotensão | 31 (5,4%) | 1 (0,4%) | 32 (4%) | |
| Alergia | 2 (0,3%) | 0 (0%) | 2 (0,2%) | |
| Outro | 3 (0,5%) | 0 (0%) | 3 (0,4%) | |
| Contra-indicação estatina | , | , , | , | 0,565 ^c |
| Não | 571 (99,5%) | 231 (100%) | 802 (99,6%) | |
| Aumento de CPK | 1 (0,2%) | 0 (0%) | 1 (0,1%) | |
| Aumento transaminases | 1 (0,2%) | 0 (0%) | 1 (0,1%) | |
| Outro | 1 (0,2%) | 0 (0%) | 1 (0,1%) | |

Os valores estão apresentados como frequência absoluta (n) e relativa. c: teste da razão de verossimilhança.

Abreviações: AAS – ácido acetilsalicílico; HNF – heparina não fracionada, IECA – inibidor da enzima conversora de angiotensina; BAV – bloqueio atrioventricular, DPOC – Doença Pulmonar obstrutiva crônica, BRA – bloqueador do receptor de angiotensina II.

Observa-se na |Tabela 9 que o perfil diagnóstico difere entre os grupos, sendo a angina instável de baixo risco exclusiva do grupo com câncer, enquanto o infarto agudo do miocárdio com supradesnivelamento do segmento ST (IAMCSST) predomina no grupo controle. Essas diferenças apresentam valor de P inferior a 0,001, indicando que são estatisticamente muito Significantes.

No que concerne aos sintomas apresentados, a dor típica foi significativamente mais prevalente entre os controles, com valor de P inferior a 0,001, evidenciando uma

diferença estatisticamente muito Significante. Em contrapartida, sintomas como dor atípica e dispneia não apresentaram diferenças estatisticamente Significantes entre os grupos, com valores de P superiores a 0,05. A morte súbita revertida e a taquicardia ventricular foram mais frequentes no grupo controle, com valores de P de 0,007, indicando diferenças estatisticamente Significantes. Já outras manifestações, como edema agudo de pulmão, síncope e choque cardiogênico, não demonstraram diferenças estatisticamente Significantes.

A classificação de Killip, utilizada para avaliar a gravidade do quadro clínico após o infarto, também apresentou diferenças estatisticamente Significantes entre os grupos (P = 0,048), com maior proporção de pacientes do grupo câncer classificados como Killip 1, sugerindo menor gravidade inicial nesse grupo.

Tabela 8 Diagnósticos e Manifestações Clínicas entre Pacientes com Câncer e Controles

| Variável | Câncer n=632 | Controle n=232 | Total n=864 | Р |
|--------------------------------|-----------------|-------------------|----------------|--------------------|
| Diagnóstico | | | | <0,001 b |
| Angina Instável Baixo Risco | 38 (6,8%) | 0 (0%) | 38 (4,8%) | |
| Angina Instável Mod/Alto Risco | 119 (21,3%) | 34 (14,7%) | 153 (19,3%) | |
| IAMSST | 290 (51,8%) | 66 (28,4%) | 356 (44,9%) | |
| IAMCSST | 113 (20,2%) | 132 (56,9%) | 245 (30,9%) | |
| Assintomático | 15 (2,4%) | 2 (0,9%) | 17 (2%) | 0,178 d |
| Dor Típica | 385 (62,4%) | 200 (86,2%) | 585 (68,9%) | <0,001 b |
| Dor Atípica | 78 (12,6%) | 24 (10,3%) | 102 (12%) | 0,359 b |
| Dispnéia | 96 (15,6%) | 27 (11,6%) | 123 (14,5%) | 0,148 b |
| Edema agudo de pulmão | 14 (2,3%) | 7 (3%) | 21 (2,5%) | 0,532 b |
| Síncope | 8 (1,3%) | 7 (3%) | 15 (1,8%) | 0,138 d |
| Morte Súbita Revertida | 11 (1,8%) | 12 (5,2%) | 23 (2,7%) | 0,007 b |
| Choque Cardiogênico | 38 (6,2%) | 10 (4,3%) | 48 (5,7%) | 0,299 b |
| Outros sintomas | 26 (4,2%) | 29 (12,5%) | 55 (6,5%) | <0,001 b |
| Taquicardia ventricular | 2 (0,3%) | 6 (2,6%) | 8 (0,9%) | 0,007 d |
| Killip | | | | 0,048 ^c |
| 1 | 346 (77,6%) | 170 (73,3%) | 516 (76,1%) | |
| 2 | 48 (10,8%) | 42 (18,1%) | 90 (13,3%) | |
| 3 | 15 (3,4%) | 6 (2,6%) | 21 (3,1%) | |
| 4 | 37 (8,3%) | 14 (6%) | 51 (7,5%) | |

Os valores estão apresentados como frequência absoluta (n) e relativa (%).

b: teste qui-quadrado de Pearson, c: teste da razão de verossimilhança, d: teste exato de Fisher. Abreviações: IAMSST – infarto agudo do miocárdio sem supradesnível do segmento ST; IAMCSST – infarto agudo do miocárdio com supradesnível do segmento ST; Killip – escala de Killip.

No que se refere à localização do infarto, destaca-se que os pacientes do grupo controle apresentaram maior prevalência de infartos nas regiões anterior (21,6% vs. 6%, P < 0,001), inferior (21,1% vs. 4,9%, P < 0,001), inferior com ventrículo direito (4,7% vs. 0,5%, P < 0,001), infero-dorsal (3% vs. 0,2%, P = 0,003), infero-latero-dorsal (3% vs. 0%, P < 0,001) e lateral (4,3% vs. 1,2%, P = 0,009), todas diferenças estatisticamente muito significantes. Outras localizações, como antero-lateral, também mostraram diferença estatisticamente significante (P = 0,011). Em contraste, blocos de ramo direito (BRD) e bloqueios de ramo esquerdo (BRE) foram raros, com apenas o BRE apresentando diferença estatisticamente significante (P = 0,042). Nenhum paciente apresentou bloqueio atrioventricular avançado.

Em relação às intervenções terapêuticas, a trombólise foi realizada em 58,5% dos controles, significativamente superior ao grupo câncer, onde ocorreu em apenas 0,7% (P < 0,001). O cateterismo cardíaco apresentou diferenças muito significantes (P < 0,001), com o grupo controle submetido a angioplastia transluminal coronariana (ATC) primária em 70,2% dos casos, enquanto no grupo câncer esta intervenção foi realizada em 10,3%. A ATC tardia também foi mais frequente no grupo controle (24,4% vs. 3,3%). Por outro lado, a ausência de intervenção foi mais prevalente entre os pacientes com câncer (86,3% vs. 5,3%).

A avaliação da função ventricular foi realizada em 87,9% dos pacientes com câncer e 93,5% dos controles, diferença estatisticamente significante (P = 0,018). Quanto ao método de imagem empregado, predominou a ecocardiografia transtorácica (ECOTT) em ambos os grupos, sem diferença estatística (P = 0,486).

As complicações relacionadas ao cateterismo ou angioplastia foram semelhantes entre os grupos, sem diferença estatisticamente significante (20,7% no câncer vs. 18,1% no controle, P = 0,495). A ocorrência de infarto agudo do miocárdio pós-ATC foi mais frequente no grupo câncer (3% vs. 0,4%), com diferença próxima da significância estatística (P = 0,053). A realização de ressonância magnética (RM) urgente foi significativamente maior no grupo controle (6% vs. 0%, P < 0,001), enquanto a RM eletiva apresentou baixa frequência e sem diferença estatística (P = 1,000). Trombose aguda de stent e reintervenções eletivas ou urgentes foram eventos raros, com incidência semelhante entre os grupos e valores de P indicando ausência de diferenças estatisticamente significantes.

Tabela 9. Características clínicas e intervenções em pacientes com câncer e controles

| Variável | Câncer n=632 | Controle n=232 | Total n=864 | Р |
|--|-----------------|-------------------|----------------|---------------------|
| Anterior | 26 (6%) | 50 (21,6%) | 76 (11,4%) | <0,001 b |
| Antero-Lateral | 2 (0,5%) | 7 (3%) | 9 (1,4%) | 0,011 ^d |
| Inferior | 21 (4,9%) | 49 (21,1%) | 70 (10,5%) | <0,001 b |
| Inferior + VD | 2 (0,5%) | 11 (4,7%) | 13 (2%) | <0,001 ^d |
| Infero-Dorsal | 1 (0,2%) | 7 (3%) | 8 (1,2%) | 0,003 d |
| Infero-Latero-Dorsal | 0 (0%) | 7 (3%) | 7 (1,1%) | <0,001 b |
| Lateral | 5 (1,2%) | 10 (4,3%) | 15 (2,3%) | 0,009 b |
| BRD | 0 (0%) | 2 (0,9%) | 2 (0,3%) | 0,122 d |
| BRE | 0 (0%) | 3 (1,3%) | 3 (0,5%) | 0,042 d |
| BAV avançado | 0 (0%) | 0 (0%) | 0 (0%) | · - |
| Trombólise | 2 (0,7%) | 76 (58,5%) | 78 (19,4%) | <0,001 b |
| Cateterismo | , , | , , | , | <0,001 b |
| ATC primária | 28 (10,3%) | 92 (70,2%) | 120 (29,9%) | |
| ATC tardia | 9 (3,3%) | 32 (24,4%) | 41 (10,2%) | |
| Sem intervenção | 234 (86,3%) | 7 (5,3%) | 241 (60%) | |
| Avaliação de função ventricular | 510 (87,9%) | 217 (93,5%) | 727 (89,5%) | 0,018 b |
| Método de imagem | | | | 0,486 ^c |
| ECOTT | 496 (98%) | 213 (98,2%) | 709 (98,1%) | |
| Ventriculografia (CATE) | 3 (0,6%) | 3 (1,4%) | 6 (0,8%) | |
| GATED (Cintilografia) | 4 (0,8%) | 1 (0,5%) | 5 (0,7%) | |
| Défict segmentar | 3 (0,6%) | 0 (0%) | 3 (0,4%) | |
| Complicações Cateterismo/Angioplastia | 41 (20,7%) | 42 (18,1%) | 83 (19,3%) | 0,495 b |
| IAM pós ATC | 6 (3%) | 1 (0,4%) | 7 (1,6%) | 0,053 ^d |
| RM urgente | 0 (0%) | 14 (6%) | 14 (3,2%) | <0,001 b |
| RM eletiva | 1 (0,5%) | 2 (0,9%) | 3 (0,7%) | 1,000 d |
| Trombose aguda de stent | 0 (0%) | 1 (0,4%) | 1 (0,2%) | 1,000 ^d |
| Trombose subaguda de stent | 0 (0%) | 0 (0%) | 0 (0%) | |
| Re- ATC urgente | 0 (0%) | 0 (0%) | 0 (0%) | |
| Re-ATC eletiva | 1 (0,5%) | 0 (0%) | 1 (0,2%) | 0,464 ^d |

Os valores estão apresentados como requência absoluta (n) e relativa.

b: teste qui-quadrado de Pearson, c: teste da razão de verossimilhança, d: teste exato de Fisher. Abreviações: BRD – bloqueio de ramo direito; BRE – bloqueio de ramo esquerdo; BAV avançado – bloqueio atrioventricular avançado; ATC – angioplastia transluminal coronária; ATC primária – angioplastia realizada como terapia inicial no infarto agudo; ATC tardia – angioplastia realizada após a fase aguda do infarto; RM – revascularização do miocárdio; RM urgente – revascularização do miocárdio realizada em caráter emergencial; RM eletiva – revascularização programada; ECOTT – ecocardiograma transtorácico; GATED – cintilografía miocárdica com sincronização eletrocardiográfica; CATE – cateterismo cardíaco; IAM pós ATC – infarto agudo do miocárdio após angioplastia; Re-ATC – nova angioplastia; Re-ATC urgente – nova angioplastia em caráter de

urgência; Re-ATC eletiva – nova angioplastia programada.

A necessidade de hemodiálise foi observada exclusivamente no grupo câncer, com 3,4% dos pacientes afetados, enquanto nenhum paciente do grupo controle apresentou essa condição, resultando em uma diferença estatisticamente significante (P = 0,003). Situações de choque séptico também ocorreram somente no grupo câncer (2%), apresentando diferença estatisticamente significante (P = 0,046). O choque cardiogênico foi mais frequente em pacientes com câncer (4%) comparado ao grupo controle (0,4%), com valor de P igual a 0,014, denotando diferença estatisticamente significante. Por outro lado, a hemorragia digestiva alta ocorreu de forma rara e sem diferença estatisticamente significante (P = 0,215).

A parada cardiorrespiratória revertida teve incidência semelhante entre os grupos (1% no câncer versus 0,9% no controle, P = 1,000), assim como a necessidade de cardioversão ou desfibrilação (1% versus 0,4%, P = 0,599). A insuficiência renal aguda (IRA) foi mais prevalente no grupo câncer (7,5% contra 2,6% nos controles), com diferença estatisticamente significante (P = 0,018). Eventos neurológicos como acidente vascular cerebral hemorrágico (AVCH) não foram observados, enquanto AVC isquêmico ou acidente isquêmico transitório (AVCI/AIT) ocorreram em duas ocasiões no grupo controle, sem significância estatística (P = 0,501). A necessidade de transfusão sanguínea e outras complicações ocorreram com baixa frequência e sem diferenças estatisticamente significantes.

Quanto ao uso de medicamentos vasoativos, o emprego de noradrenalina foi mais comum no grupo câncer (7,1%) em comparação aos controles (3,9%), porém sem alcançar significância estatística (P = 0,083). O uso de vasopressina foi maior entre os controles (2,6% versus 0,9%), assim como o uso de dobutamina e balão intraaórtico, sem diferenças estatisticamente significantes em nenhum desses casos (P = 0,095; P = 0,602; P = 0,324, respectivamente). Nenhum paciente recebeu suporte por oxigenação por membrana extracorpórea (ECMO).

Destaca-se que uma proporção significativamente maior de pacientes com câncer não necessitou de suporte hemodinâmico (56,6%) em comparação ao grupo

controle (42,7%), diferença estatisticamente muito significante (P < 0,001).

Tabela 10. Complicações e necessidade de suporte hemodinâmico entre pacientes com câncer e controles

| Variável | Câncer n=632 | Controle n=232 | Total n=864 | Р |
|-----------------------------|-----------------|-------------------|----------------|----------|
| Hemodiálise | 13 (3,4%) | 0 (0%) | 13 (2,1%) | 0,003 d |
| Choque séptico | 4 (2%) | 0 (0%) | 4 (0,9%) | 0,046 d |
| Choque Cardiogênico | 8 (4%) | 1 (0,4%) | 9 (2,1%) | 0,014 d |
| Hemorragia digestiva alta | 2 (1%) | 0 (0%) | 2 (0,5%) | 0,215 d |
| PCR revertida | 2 (1%) | 2 (0,9%) | 4 (0,9%) | 1,000 d |
| Cardioversão/ Desfibrilação | 2 (1%) | 1 (0,4%) | 3 (0,7%) | 0,599 d |
| IRA | 15 (7,5%) | 6 (2,6%) | 21 (4,8%) | 0,018 b |
| AVCH | 0 (0%) | 0 (0%) | 0 (0%) | |
| AVCI/AIT | 0 (0%) | 2 (0,9%) | 2 (0,5%) | 0,501 d |
| Necessidade de Transfusão | 1 (0,5%) | 1 (0,4%) | 2 (0,5%) | 1,000 d |
| Outras complicações | 7 (3,5%) | 11 (4,7%) | 18 (4,2%) | 0,513 b |
| Uso de Noradrenalina | 45 (7,1%) | 9 (3,9%) | 54 (6,2%) | 0,083 b |
| Uso de Vasopressina | 6 (0,9%) | 6 (2,6%) | 12 (1,4%) | 0,095 d |
| Uso de Dobutamina | 25 (3,9%) | 11 (4,7%) | 36 (4,2%) | 0,602 b |
| Uso de Balão intra-aórtico | 22 (3,5%) | 5 (2,2%) | 27 (3,1%) | 0,324 b |
| Uso de ECMO | 0 (0%) | 0 (0%) | 0 (0%) | |
| Sem suporte Hemodinâmico | 359 (56,6%) | 99 (42,7%) | 458 (52,9%) | <0,001 b |

Os valores estão apresentados como absoluta (n) e relativa (%). b: teste qui-quadrado de Pearson, d: teste exato de Fisher. Abreviações: PCR revertida – parada cardiorrespiratória revertida; IRA – insuficiência renal aguda; AVCH – acidente vascular cerebral hemorrágico; AVCI – acidente vascular cerebral isquêmico; AIT – ataque isquêmico transitório; ECMO – oxigenação por membrana extracorpórea.

A análise comparativa do uso de medicamentos entre pacientes com câncer (n=632) e controles (n=232) evidencia diferenças estatisticamente significantes em diversas classes terapêuticas. O uso de ácido acetilsalicílico (AAS) foi menor no grupo

câncer, com 73,3% dos pacientes utilizando-o, contra 91,8% no grupo controle (P < 0,001). Similarmente, o clopidogrel foi menos utilizado entre os pacientes com câncer (49,6%) comparado ao grupo controle (75%), também com P < 0,001. Já o uso de prasugrel e ticagrelor não apresentou diferenças estatisticamente significantes, com p-valores de 0,124 e 0,240, respectivamente.

O uso de heparina foi praticamente inexistente, enquanto a enoxaparina foi significativamente mais utilizada no grupo câncer (5,3% versus 0,4%, P = 0,001). Observou-se também que uma maior proporção de pacientes do grupo controle permaneceu sem anticoagulação (85,3% versus 72,3%, P < 0,001). Em relação aos anticoagulantes orais, como varfarina, rivaroxabana, dabigatrana e apixabana, não houve diferenças estatisticamente significantes.

No que tange aos vasodilatadores, o uso de nitratos não apresentou diferença significativa (P = 0.188), enquanto os inibidores da enzima conversora de angiotensina (IECA) foram significativamente mais utilizados no grupo controle (57,8%) em comparação ao grupo câncer (20,6%), com P < 0.001. O uso de bloqueadores dos receptores de angiotensina (BRA) e de bloqueadores de canal de cálcio também não apresentou diferenças estatisticamente significantes, embora tenha havido uma tendência para maior uso de bloqueadores de canal de cálcio no grupo câncer (13,4% versus 8,3%, P = 0.053). O grupo câncer apresentou maior proporção de pacientes sem uso de vasodilatadores (44,9% contra 24,1%, P < 0.001).

O uso de estatinas foi significativamente menor entre pacientes com câncer (87,9%) comparado ao grupo controle (97,3%), com P < 0,001. O uso de betabloqueadores também foi menos frequente no grupo câncer (68,6%) em relação ao controle (80,6%), com P = 0,001. O uso de furosemida não mostrou diferença estatisticamente significativa (P = 0,427).

Quanto às contra-indicações ao uso de medicamentos, não foram encontradas diferenças estatisticamente significantes para o AAS (P = 0.117) e para os betabloqueadores (P = 0.230). Entretanto, as contra-indicações para o uso de IECA ou BRA foram mais frequentes no grupo câncer, sendo esta diferença estatisticamente significante (P = 0.007). Para as estatinas, não houve diferença estatisticamente significante nas contra-indicações (P = 0.495).

Tabela 11 Uso de medicamentos e contra-indicações entre pacientes com câncer e controles, na alta hospitalar.

| Variável | Câncer n=632 | Controle n=232 | Total n=864 | Р |
|--|-----------------|-------------------|----------------|--------------------|
| AAS | 452 (73,3%) | 213 (91,8%) | 665 (78,3%) | <0,001 b |
| Clopidogrel | 306 (49,6%) | 174 (75%) | 480 (56,5%) | <0,001 b |
| Prasugrel | 9 (1,5%) | 0 (0%) | 9 (1,1%) | 0,124 d |
| Ticagrelor | 39 (6,3%) | 20 (8,6%) | 59 (6,9%) | 0,240 b |
| Heparina | 1 (0,2%) | 0 (0%) | 1 (0,1%) | 1,000 d |
| Enoxaparina | 33 (5,3%) | 1 (0,4%) | 34 (4%) | 0,001 b |
| Sem anticoagulação | 446 (72,3%) | 198 (85,3%) | 644 (75,9%) | <0,001 b |
| Varfarina | 5 (0,8%) | 3 (1,3%) | 8 (0,9%) | 0,457 ^d |
| Rivaroxabana | 10 (1,6%) | 1 (0,4%) | 11 (1,3%) | 0,306 d |
| Dabigatrana | 1 (0,2%) | 0 (0%) | 1 (0,1%) | 1,000 d |
| Apixabana | 4 (0,6%) | 0 (0%) | 4 (0,5%) | 0,580 d |
| Nitrato | 35 (5,7%) | 8 (3,4%) | 43 (5,1%) | 0,188 b |
| IECA | 127 (20,6%) | 134 (57,8%) | 261 (30,7%) | <0,001 b |
| BRA | 82 (13,3%) | 23 (9,9%) | 105 (12,4%) | 0,183 b |
| Sem uso de vasodilatador | 277 (44,9%) | 56 (24,1%) | 333 (39,2%) | <0,001 b |
| Estatina | 459 (87,9%) | 213 (97,3%) | 672 (90,7%) | <0,001 b |
| B-bloqueador | 358 (68,6%) | 175 (80,6%) | 533 (72,1%) | 0,001 b |
| Boqueador de canal de cálcio | 69 (13,4%) | 18 (8,3%) | 87 (11,9%) | 0,053 b |
| Furosemida | 63 (12,1%) | 22 (10,1%) | 85 (11,5%) | 0,427 b |
| Contra-indicação AAS | , | , | | 0,117 ° |
| Não | 502 (96,9%) | 218 (99,5%) | 720 (97,7%) | |
| Plaquetopenia | 3 (0,6%) | 0 (0%) | 3 (0,4%) | |
| Sangramento ativo | 4 (0,8%) | 0 (0%) | 4 (0,5%) | |
| Coagulopatia | 2 (0,4%) | 0 (0%) | 2 (0,3%) | |
| Alergia | 4 (0,8%) | 1 (0,5%) | 5 (0,7%) | |
| Outro | 3 (0,6%) | 0 (0%) | 3 (0,4%) | |
| Contra-indicação B-Bloqueador | | | | 0,230 ^c |
| Não | 500 (96,3%) | 213 (97,3%) | 713 (96,6%) | |
| Bradicardia | 6 (1,2%) | 4 (1,8%) | 10 (1,4%) | |
| Hipotensão | 2 (0,4%) | 1 (0,5%) | 3 (0,4%) | |
| DPOC/Asma | 6 (1,2%) | 0 (0%) | 6 (0,8%) | |
| Outro | 2 (0,4%) | 1 (0,5%) | 3 (0,4%) | |
| Contra-indicação IECA/BRA | | | | 0,007 ^c |
| Não | 476 (91,9%) | 214 (97,7%) | 690 (93,6%) | |
| Insuficiência renal | 29 (5,6%) | 2 (0,9%) | 31 (4,2%) | |
| Hipotensão | 9 (1,7%) | 3 (1,4%) | 12 (1,6%) | |
| Alergia | 2 (0,4%) | 0 (0%) | 2 (0,3%) | |
| Outro | 2 (0,4%) | 0 (0%) | 2 (0,3%) | |
| Contra indicação estatina | | | | 0,495 ° |
| Não | 518 (99,6%) | 219 (100%) | 737 (99,7%) | |
| Aumento transaminases | 1 (0,2%) | 0 (0%) | 1 (0,1%) | |
| Outro Os valores estão apresentados co | 1 (0,2%) | 0 (0%) | 1 (0,1%) | |

Os valores estão apresentados como frequência absoluta (n) e relativa.

b: teste qui-quadrado de Pearson, c: teste da razão de verossimilhança, d: teste exato de Fisher.

Abreviações: AAS – ácido acetilsalicílico; IECA – inibidor da enzima conversora de angiotensina; BRA – bloqueador do receptor de angiotensina II, DPOC – Doença pulmonar obstrutiva crônica.

No que diz respeito à reinternação, não houve diferença estatisticamente significante aos 30 dias, com 1,2% no grupo câncer e 0% no grupo controle (P = 0,345). No entanto, aos 6 meses, a reinternação foi significativamente mais frequente nos pacientes com câncer, atingindo 6,1%, contra 0% no grupo controle (P = 0,003). Essa tendência se manteve e foi ainda mais acentuada aos 1 ano, com 50,8% de reinternações no grupo câncer e 20,9% no grupo controle, apresentando P < 0,001.

Quanto à revascularização da artéria culpada, os eventos foram raros e não apresentaram diferenças estatisticamente significantes entre os grupos em nenhum dos períodos avaliados: 30 dias (P = 1,000), 6 meses (P = 0,093) e 1 ano (P = 0,565).

No que se refere ao infarto agudo do miocárdio (IAM) pós-inicial, não houve diferença significativa aos 30 dias (P = 1,000) nem ao 1 ano (P = 0,251). Entretanto, aos 6 meses, o grupo câncer apresentou menor incidência de IAM (0,4%) em comparação ao grupo controle (3,5%), com P = 0,010.

Os óbitos por causa cardíaca foram extremamente raros, sem ocorrências no período de 30 dias e diferenças não significantes aos 6 meses e 1 ano, ambos com P = 1,000.

O óbito por todas as causas mostrou-se significativamente maior no grupo câncer em todos os momentos analisados. Durante a internação, 8,6% dos pacientes com câncer faleceram, enquanto não houve óbitos no grupo controle (P < 0,001). Aos 30 dias, a mortalidade no grupo câncer foi de 9,2% versus 0% no controle (P < 0,001). Aos 6 meses, o óbito por todas as causas foi de 12,9% no grupo câncer e 0% no grupo controle (P < 0,001), assim como aos 1 ano, com 19,7% no grupo câncer contra 0% no controle, apresentando P < 0,001.

Tabela 12. Taxas acumuladas de desfechos nos grupos de câncer e controle.

| Variável | Câncer | Controle | Total | Р |
|-------------------------------------|-------------|------------|-------------|---------------------|
| | n=632 | n=232 | n=864 | |
| Reinternação | | | | |
| 30 dias | 6 (1,2%) | 0 (0%) | 6 (0,9%) | 0,345 ^d |
| 6 meses | 28 (6,1%) | 0 (0%) | 28 (4,6%) | 0,003 b |
| 1 ano | 186 (50,8%) | 19 (20,9%) | 205 (44,9%) | <0,001 b |
| Revascularização da artéria culpada | | | | |
| 30 dias | 2 (0,4%) | 0 (0%) | 2 (0,3%) | 1,000 ^d |
| 6 meses | 2 (0,4%) | 3 (2,1%) | 5 (0,9%) | 0,093 d |
| 1 ano | 12 (2,6%) | 5 (3,5%) | 17 (2,8%) | 0,565 d |
| IAM | | | | |
| 30 dias | 1 (0,2%) | 0 (0%) | 1 (0,2%) | 1,000 ^d |
| 6 meses | 2 (0,4%) | 5 (3,5%) | 7 (1,2%) | 0,010 d |
| 1 ano | 14 (4,1%) | 6 (7,1%) | 20 (4,7%) | 0,251 ^d |
| Óbito cardíaco | , , | , , | , , | |
| 30 dias | 0 (0%) | 0 (0%) | 0 (0%) | - |
| 6 meses | 2 (0,5%) | 0 (0%) | 2 (0,4%) | 1,000 ^d |
| 1 ano | 2 (0,5%) | 0 (0%) | 2 (0,4%) | 1,000 ^d |
| Óbito por todas as causas | | , , | , | |
| Na internação | 46 (8,6%) | 0 (0%) | 46 (6,1%) | <0,001 ^d |
| 30 dias | 53 (9,2%) | 0 (0%) | 53 (6,6%) | <0,001 ^d |
| 6 meses | 74 (12,9%) | 0 (0%) | 74 (9,2%) | <0,001 b |
| 1 ano | 113 (19,7%) | 0 (0%) | 113 (14,0%) | <0,001 b |

As taxas de eventos aos 30 dias, 6 meses e 1 ano representam os eventos acumulados, considerando ocorridos desde o início do estudo até cada ponto temporal específico. Os valores estão apresentados como frequência absoluta (n) e relativa. b: teste qui-quadrado de Pearson, d: teste exato de Fisher. Abreviações: IAM – infarto agudo do miocárdio.

A partir da tabela 13 são os resultado após aplicar o escore de propensão. Na tabela 12 os dados estão apresentados como mediana e intervalo interquartílico para variáveis contínuas, e frequência absoluta e relativa para variáveis categóricas. As análises estatísticas empregaram o teste de Mann-Whitney para variáveis contínuas, o teste qui-quadrado de Pearson para variáveis categóricas e o teste da razão de verossimilhança para etnia

O Quadro 1 apresenta as características clínico-demográficas de pacientes com câncer (n=201) e controles (n=201), totalizando 402 indivíduos. A idade mediana foi semelhante entre os grupos, sendo 67 anos (intervalo interquartílico [IQR] de 61 a 75) para o grupo câncer e 68 anos (IQR de 64 a 72) para o grupo controle, com uma mediana geral de 68 anos (IQR de 62 a 74), sem diferença estatisticamente significante (P=0,781). A proporção de mulheres foi equivalente entre os grupos, representando 36,8% no grupo câncer e 38,3% no controle (P=0,757).

A distribuição da etnia mostrou diferenças significantes (P=0,001). No grupo câncer, 70,3% eram brancos, 2,6% amarelos, 7,8% negros, 4,2% mestiços e 15,1% identificados como "outros". Já no grupo controle, 85,8% eram brancos, 0,5% amarelos, 6,6% negros, 1% mestiços e 6,1% "outros". A procedência também apresentou discrepâncias importantes (P<0,001), com a maioria dos controles sendo atendidos no pronto-socorro (97,5%), enquanto no grupo câncer essa proporção foi de 71,1%. Pacientes do grupo câncer também tiveram maior frequência de internações provenientes de outras fontes, como ambulatório (4,5%) e serviços externos (9,5%), quando comparados ao grupo controle.

Os motivos de internação diferiram significantemente entre os grupos (P<0,001). Síndrome coronariana aguda foi a principal causa em ambos, mas foi mais frequente no grupo controle (98%) em relação ao grupo câncer (58,7%). Condições clínicas não relacionadas ao câncer representaram 35,3% das internações no grupo câncer, enquanto no controle nenhum caso foi registrado nessa categoria.

Comorbidades como diabetes mellitus e hipertensão arterial não apresentaram diferenças significantes entre os grupos (P=0,902 e P=0,396, respectivamente). Entretanto, dislipidemia foi mais frequente no grupo câncer (42,5% vs. 26,9%; P=0,001). Além disso, histórico familiar de doenças cardíacas foi mais prevalente no grupo controle (11,4% vs. 5,2%; P=0,027). O tabagismo, embora mais

frequente entre os controles (24,9% atuais e 33,8% prévios), não apresentou diferença estatística em relação ao grupo câncer (16,4% atuais e 36,3% prévios; P=0,107). Já o uso de ácido acetilsalicílico (AAS) por mais de 7 dias foi significantemente maior no grupo controle (35,8% vs. 21,1%; P=0,001).

Tabela 13. Características clínico-demográficas dos grupos de pacientes com câncer e controles. Escore de Propensão

| Variável | Câncer n=201 | Controle n=201 | Total n=402 | Р |
|--|-----------------|-------------------|----------------|--------------------|
| Idade (anos) | 67 (61 - 75) | 68 (64 - 72) | 68 (62 - 74) | 0,781 a |
| Sexo (feminino) | 74 (36,8%) | 77 (38,3%) | 151 (37,6%) | 0,757 b |
| ETNIA | | | | 0,001 ^c |
| Branco | 135 (70,3%) | 169 (85,8%) | 304 (78,1%) | |
| Amarelo | 5 (2,6%) | 1 (0,5%) | 6 (1,5%) | |
| Negro | 15 (7,8%) | 13 (6,6%) | 28 (7,2%) | |
| Mestiço | 8 (4,2%) | 2 (1%) | 10 (2,6%) | |
| Outro | 29 (15,1%) | 12 (6,1%) | 41 (10,5%) | |
| IMC | 26 (23 - 29) | | 26 (23 - 29) | |
| Procedência | | | | <0,001 b |
| Ambulatorial | 9 (4,5%) | 2 (1%) | 11 (2,7%) | |
| Internado | 30 (14,9%) | 3 (1,5%) | 33 (8,2%) | |
| Externo | 19 (9,5%) | 0 (0%) | 19 (4,7%) | |
| Pronto-socorro | 143 (71,1%) | 196 (97,5%) | 339 (84,3%) | |
| Motivo de internação | | | | <0,001 b |
| Sindrome Coronariana Aguda | 118 (58,7%) | 197 (98%) | 315 (78,4%) | |
| Choque Séptico | 2 (1%) | 0 (0%) | 2 (0,5%) | |
| Clínico (outro) | 71 (35,3%) | 0 (0%) | 71 (17,7%) | |
| Cirúrgico | 10 (5%) | 4 (2%) | 14 (3,5%) | |
| Diabetes Mellitus | | | | 0,902 b |
| Insulino dependente | 18 (9%) | 18 (9%) | 36 (9%) | |
| Insulino não dependente | 54 (26,9%) | 58 (28,9%) | 112 (27,9%) | |
| Não | 129 (64,2%) | 125 (62,2%) | 254 (63,2%) | |
| Hipertensão | 131 (65,2%) | 139 (69,2%) | 270 (67,2%) | 0,396 b |
| História familiar de doenças cardíacas | 10 (5,2%) | 23 (11,4%) | 33 (8,4%) | 0,027 b |
| Tabagismo | | | | 0,107 b |
| Atual | 33 (16,4%) | 50 (24,9%) | 83 (20,6%) | |
| Prévio | 73 (36,3%) | 68 (33,8%) | 141 (35,1%) | |
| Não | 95 (47,3%) | 83 (41,3%) | 178 (44,3%) | |
| Dislipidemia | 85 (42,5%) | 54 (26,9%) | 139 (34,7%) | 0,001 b |
| AVC/AIT | 6 (3%) | 12 (6%) | 18 (4,5%) | 0,151 b |
| DAC | 37 (18,4%) | 45 (22,4%) | 82 (20,4%) | 0,322 b |
| USO AAS > 7 dias | 42 (21,1%) | 72 (35,8%) | 114 (28,5%) | 0,001 b |

Os valores estão apresentados como mediana e intervalo interquartílico (IQR) para variáveis contínuas e como frequência absoluta (n) e relativa (%) para variáveis categóricas. a: teste de Mann-Whitney, b: teste qui-quadrado de Pearson, c: teste da razão de verossimilhança. Abreviações: AVC/AIT: acidente

vascular cerebral/ataque isquêmico transitório DAC: doença arterial coronariana; AAS: ácido acetilsalicílico.

A Tabela 13 detalha ainda variáveis clínicas adicionais dos grupos câncer e controle, totalizando 402 indivíduos. Insuficiência cardíaca (IC) foi similar entre os grupos, com prevalência de 3,5% no grupo câncer e 3% no grupo controle (P=0,778). A classe funcional da IC apresentou diferença significante (P=0,023): a maioria dos pacientes no grupo câncer foi classificada como classe I (71,4%), enquanto no grupo controle predominaram as classes II (50%) e III (16,7%).

Eventos de infarto agudo do miocárdio (IAM) foram comparáveis entre os grupos, com 6,2% de casos recentes (<90 dias) e 11,9% de casos tardios (>90 dias) no total (P=0,508). Contudo, a realização de angioplastia transluminal coronária (ATC) foi significantemente maior no grupo controle (17,4% vs. 7%; P=0,002), enquanto o uso de revascularização miocárdica (RM) foi similar entre os grupos (P=0,796).

A insuficiência renal crônica (IRC) não mostrou diferenças estatísticas (P=0,220), com 1,5% dos casos sendo dialíticos e 11% não dialíticos. A prevalência de infecção pelo HIV foi baixa, registrada em apenas três casos no grupo câncer (1,5%; P=0,123).

O escore TIMI RISK para IAM sem supra de ST (IAMSST) foi significantemente menor no grupo câncer (mediana de 3; IQR 2-4) em comparação ao grupo controle (mediana de 4; IQR 3-5; P=0,026). Entretanto, os escores GRACE (P=0,560) e TIMI RISK para IAM com supra de ST (IAMCSST; P=0,191) foram similares entre os grupos.

Por fim, a fração de ejeção do ventrículo esquerdo foi significantemente maior no grupo câncer (mediana de 60%; IQR 49-65) em relação ao grupo controle (mediana de 50%; IQR 44-60; P<0,001).

Os dados estão apresentados como mediana e intervalo interquartílico para variáveis contínuas e frequência absoluta e relativa para variáveis categóricas. Os testes estatísticos empregados foram Mann-Whitney para variáveis contínuas, qui-quadrado de Pearson e razão de verossimilhança para variáveis categóricas e o teste exato de Fisher para variáveis de baixa frequência.

A Tabela 14 apresenta a distribuição dos tipos de câncer e o estadiamento da doença entre os 201 pacientes do grupo câncer. Entre os tipos de câncer mais frequentes, destacam-se o de próstata, com 33 casos (17,1%), seguido pelo câncer colorretal, com 25 casos (12,8%), e o câncer de mama, que acometeu 24 pacientes (12,3%). Outros tipos prevalentes incluem câncer de pulmão e de cabeça e pescoço, cada um com 19 casos (9,8%), além de neoplasias linfoproliferativas, que corresponderam a 21 casos (10,8%).

Cânceres menos frequentes incluem os ginecológicos, com 10 casos (5,2%), estômago, também com 10 casos (5,2%), rins e vias urinárias, com 15 casos (7,8%), e hepático ou de vias biliares, com 6 casos (3,1%). Casos mais raros envolveram câncer de esôfago (2,1%) e de pele (1%).

Quanto ao estadiamento, 83 pacientes (41,9%) foram classificados como portadores de doença ativa ou com diagnóstico recente, enquanto 76 (38,4%) apresentavam recidiva ou progressão da doença. Por outro lado, 39 pacientes (19,7%) estavam sem evidência de doença no momento da análise.

Tabela 14. Tipos de câncer e estadiamento. Escore de Propensão

| Variável | Câncer n=201 |
|---------------------------|-----------------|
| Mama | 24 (12,3%) |
| Ginecológico | 10 (5,2%) |
| Próstata | 33 (17,1%) |
| Colorretal | 25 (12,8%) |
| Esôfago | 4 (2,1%) |
| Estômago | 10 (5,2%) |
| Pulmão | 19 (9,8%) |
| Rins e vias urinárias | 15 (7,8%) |
| Linfoproloferativo | 21 (10,8%) |
| Pele | 2 (1%) |
| Hepático/via biliar | 6 (3,1%) |
| Cabeça e pescoço | 19 (9,8%) |
| Estadiamento | |
| Ativa/Diagnóstico recente | 83 (41,9%) |
| Recidiva/Progressão | 76 (38,4%) |
| Sem evidência de doença | 39 (19,7%) |

A Tabela 15 apresenta a avaliação do estado funcional dos 201 pacientes com câncer, utilizando os sistemas de classificação ECOG (*Eastern Cooperative Oncology Group*) e KPS (*Karnofsky Performance Status*).

Com relação ao escore ECOG, a maioria dos pacientes foi classificada nos níveis 0 e 1, indicando boa funcionalidade. Especificamente, 86 pacientes (43,9%)

estavam no nível 0, enquanto 58 (29,6%) apresentavam nível 1. Um total de 42 pacientes (21,4%) foi classificado no nível 2, demonstrando limitações moderadas nas atividades diárias. Já os níveis mais graves, 3 e 4, foram observados em 9 (4,6%) e 1 paciente (0,5%), respectivamente.

Pelo escore KPS, que avalia o desempenho em uma escala de 0 a 100, a maior parte dos pacientes apresentou escores elevados, indicando boa capacidade funcional. Sessenta pacientes (30,6%) receberam pontuação máxima (100), enquanto outros 51 (26%) foram classificados com 90 pontos. Na faixa intermediária, 39 pacientes (19,9%)

tinham escore de 80, e 18 (9,2%) estavam em 70. Escores mais baixos, entre 20 e 60,

foram observados em 28 pacientes (13,9%), sendo 2 (1%) com 20, 1 (0,5%) com 40, 9

(4,6%) com 50 e 16 (8,2%) com 60 pontos.

Tabela 15. Performance status dos pacientes com câncer. Escore de Propensão

| Variável | Câncer n=201 |
|----------|-----------------|
| ECOG | |
| 0 | 86 (43,9%) |
| 1 | 58 (29,6%) |
| 2 | 42 (21,4%) |
| 3 | 10 (5,1%) |
| KPS | |
| 40 | 3 (1,5%) |
| 50 | 9 (4,6%) |
| 60 | 16 (8,2%) |
| 70 | 18 (9,2%) |
| 80 | 39 (19,9%) |
| 90 | 51 (26%) |
| 100 | 60 (30,6%) |

Abreviações: ECOG - Eastern Cooperative Oncology Group, KPS - Karnofsky Performance Status.

A Tabela 16 apresenta os tratamentos oncológicos realizados pelos 201 pacientes, incluindo quimioterapia e radioterapia mediastinal.

Entre os pacientes, 103 (58,9%) receberam quimioterapia, com uma diversidade de agentes quimioterápicos utilizados. Dentre os quimioterápicos mais frequentes, destacam-se a ciclofosfamida, administrada a 17 pacientes (26,6%), a carboplatina em

13 (20,3%), e o paclitaxel em 21 (18,9%). Outros agentes relevantes incluíram o fluoracil (5-FU), utilizado por 17 pacientes (15,3%), a doxorrubicina em 10 (15,6%) e a oxaliplatina em 9 (13,8%). Além disso, medicamentos como cisplatina, vincristina, metotrexato e goserrelina foram administrados em menor proporção, variando de 6% a 11%.

Alguns tratamentos alvo e imunoterapias também foram registrados, embora em menor frequência. Bevacizumabe foi utilizado em 2 pacientes (3%), trastuzumabe em 1 (1,6%), e rituximabe em 4 (6,3%). Medicamentos hormonais e terapias direcionadas, como tamoxifeno, letrozol, e leuprorrelina, foram aplicados em cerca de 3% a 5% dos pacientes. Outros agentes, incluindo talidomida, irinotecano, e sorafenibe, apresentaram baixa frequência de uso, sendo aplicados em menos de 5% dos pacientes.

No que diz respeito à radioterapia mediastinal, 2 pacientes (1%) estavam em tratamento no momento da análise, enquanto 9 (4,6%) haviam recebido tratamento prévio, há mais de 30 dias. A grande maioria, 185 pacientes (94,4%), não foi submetida à radioterapia mediastinal.

Tabela 16. Tratamentos Oncológicos. Escore de Propensão

| Variável | Câncer n=201 |
|------------------|-----------------|
| Quimioterapia | 103 (58,9%) |
| Paclitaxel | 21 (18,9%) |
| Docetaxel | 5 (7,8%) |
| Doxorrubicina | 10 (15,6%) |
| Fluoracil (5-FU) | 17 (15,3%) |
| Capecitabina | 2 (1,8%) |
| Gencitabina | 4 (6,3%) |
| Cisplatina | 12 (10,7%) |
| Oxaplatina | 9 (13,8%) |

| Carboplatina | 13 (20,3%) |
|--------------------------|-------------|
| Ciclofosfamida | 17 (26,6%) |
| Bevacizumabe | 2 (3%) |
| Trastuzumab | 1 (1,6%) |
| Pertuzumabe | 0 (0%) |
| Rituximabe | 4 (6,3%) |
| Vemurafenibe | 0 (0%) |
| Sorafenibe | 2 (3,1%) |
| Imatinibe | 3 (2,7%) |
| Dasatinib | 1 (0,9%) |
| Nilotinib | 0 (0%) |
| Ponatinib | 0 (0%) |
| Etoposide | 1 (1,6%) |
| Talidomida | 3 (4,7%) |
| Melfalana | 2 (3,1%) |
| Tamoxifeno | 3 (4,7%) |
| Letrozol | 3 (4,7%) |
| Vincristina | 7 (10,9%) |
| Metotrexato | 6 (9,4%) |
| Leuprorrelina | 4 (6,3%) |
| Gosserrelina | 6 (9,4%) |
| Irinotecano | 3 (4,6%) |
| Radioterapia mediastinal | |
| Atual | 2 (1%) |
| Prévia (> 30 dias) | 9 (4,6%) |
| Não | 185 (94,4%) |
| | |

Os dados analisados na Tabela 17 evidenciam diferenças significates no uso de medicamentos entre os pacientes com câncer e os controles. O uso de ácido acetilsalicílico (AAS) foi significantemente maior no grupo controle, sendo administrado a 193 pacientes (96%) contra 158 (78,6%) no grupo câncer (P<0,001). Uma tendência similar foi observada com o clopidogrel, utilizado por 173 controles (86,1%) em comparação a 109 pacientes com câncer (54,2%) (P<0,001).

Em relação aos anticoagulantes, a enoxaparina foi mais frequentemente usada pelos controles (124; 61,7%) do que pelos pacientes com câncer (59; 30,6%) (P<0,001). Por outro lado, a proporção de indivíduos sem anticoagulação foi maior entre os pacientes com câncer (54,3% versus 26,9%; P<0,001). Anticoagulantes orais diretos, como rivaroxabana, apixabana e dabigatrana, foram utilizados em números muito baixos, sem diferenças significantes entre os grupos.

No que diz respeito aos vasodilatadores, os inibidores da enzima conversora

de angiotensina (IECA) foram significantemente mais utilizados pelos controles (27,9%) em comparação aos pacientes com câncer (10,4%) (P<0,001), enquanto o uso de bloqueadores dos receptores de angiotensina (BRA) foi semelhante entre os grupos (9,7% no grupo câncer e 6,5% nos controles; P=0,232). A proporção de indivíduos sem uso de vasodilatadores foi discretamente maior no grupo câncer (61,8%) em comparação aos controles (53,2%), sem significância estatística (P=0,083).

O uso de estatinas e betabloqueadores foi similar entre os grupos, com proporções de 74,9% e 30%, respectivamente, no grupo câncer, e 70% e 25,4% nos controles (P=0,279 para estatinas e P=0,306 para betabloqueadores). Em contraste, os bloqueadores dos canais de cálcio foram mais utilizados no grupo câncer (8,4% contra 3% nos controles; P=0,021).

O uso de furosemida foi ligeiramente maior nos pacientes com câncer (8,8%) em relação aos controles (5,5%), sem alcançar significância estatística (P=0,198).

Tabela 17. Uso de medicamentos cardiovasculares entre pacientes com câncer e controles. Escore de Propensão

| Variável | Câncer n=201 | Controle n=201 | Total n=402 | Р |
|--------------------|-----------------|-------------------|----------------|----------|
| AAS | 158 (78,6%) | 193 (96%) | 351 (87,3%) | <0,001 b |
| Clopidogrel | 109 (54,2%) | 173 (86,1%) | 282 (70,1%) | <0,001 b |
| Prasugrel | 3 (1,5%) | 0 (0%) | 3 (0,7%) | 0,248 d |
| Ticagrelor | 18 (9%) | 11 (5,5%) | 29 (7,2%) | 0,177 b |
| HNF | 24 (12,2%) | 21 (10,4%) | 45 (11,3%) | 0,585 b |
| Enoxaparina | 59 (30,6%) | 124 (61,7%) | 183 (46,4%) | <0,001 b |
| Sem anticoagulação | 107 (54,3%) | 54 (26,9%) | 161 (40,5%) | <0,001 b |
| Varfarina | 1 (0,5%) | 1 (0,5%) | 2 (0,5%) | 1,000 d |
| Rivaroxabana | 2 (1%) | 1 (0,5%) | 3 (0,8%) | 0,617 d |
| Dabigatrana | 0 (0%) | 0 (0%) | 0 (0%) | - |
| Apixabana | 1 (0,5%) | 0 (0%) | 1 (0,3%) | 0,490 d |
| Nitrato | 38 (19,6%) | 32 (15,9%) | 70 (17,7%) | 0,340 b |
| IECA | 20 (10,4%) | 56 (27,9%) | 76 (19,3%) | <0,001 b |
| BRA | 19 (9,7%) | 13 (6,5%) | 32 (8,1%) | 0,232 b |
| Sem vasodilatador | 123 (61,8%) | 107 (53,2%) | 230 (57,5%) | 0,083 b |
| Estatina | 146 (74,9%) | 140 (70%) | 286 (72,4%) | 0,279 b |
| B-Bloqueador | 57 (30%) | 51 (25,4%) | 108 (27,6%) | 0,306 b |
| B-Canal de cálcio | 16 (8,4%) | 6 (3%) | 22 (5,7%) | 0,021 b |
| Furosemida | 17 (8,8%) | 11 (5,5%) | 28 (7,1%) | 0,198 b |

Os valores estão apresentados como frequência absoluta (n) e relativa.

[.] b: teste qui-quadrado de Pearson, d: teste exato de Fisher. Abreviações: AAS – ácido acetilsalicílico; HNF – heparina não fracionada, IECA – inibidor da enzima conversora de angiotensina; BRA –

A análise da Tabela 18 mostra que pacientes com câncer apresentam maior prevalência de contra-indicações ao uso de medicamentos, particularmente beta-bloqueadores, em comparação com os controles. Para o uso de AAS, a diferença não foi estatisticamente significante (P=0,116), mas para beta-bloqueadores e IECA/BRA, as diferenças foram significantes (P<0,001), indicando um maior número de restrições no grupo com câncer.

Os motivos mais prevalentes para as contra-indicações variam conforme o medicamento. Para beta-bloqueadores, por exemplo, os principais motivos foram hipotensão (5,1%) e choque (4%) no grupo com câncer.

Tabela 18. Contra-indicações ao uso de medicamentos entre pacientes com câncer e controles. Escore de Propensão

| Variável | Câncer n=201 | Controle n=201 | Total n=402 | Р |
|-------------------------------|-----------------|-------------------|----------------|----------|
| Contra-indicação AAS | | | | 0,116 ° |
| Não | 191 (97%) | 199 (99%) | 390 (98%) | |
| Sangramento ativo | 3 (1,5%) | 0 (0%) | 3 (0,8%) | |
| Coagulopatia | 1 (0,5%) | 0 (0%) | 1 (0,3%) | |
| Alergia | 1 (0,5%) | 2 (1%) | 3 (0,8%) | |
| Outro | 1 (0,5%) | 0 (0%) | 1 (0,3%) | |
| Contra-indicação B-Bloqueador | | | | <0,001 ° |
| Não | 171 (86,4%) | 198 (98,5%) | 369 (92,5%) | |
| Bradicardia | 4 (2%) | 1 (0,5%) | 5 (1,3%) | |
| BAV Avançado | 0 (0%) | 1 (0,5%) | 1 (0,3%) | |
| Hipotensão | 10 (5,1%) | 0 (0%) | 10 (2,5%) | |
| DPOC/Asma | 4 (2%) | 0 (0%) | 4 (1%) | |
| Choque | 8 (4%) | 1 (0,5%) | 9 (2,3%) | |
| Outro | 1 (0,5%) | 0 (0%) | 1 (0,3%) | |
| Contra-indicação IECA/BRA | | | | <0,001 ° |
| Não | 173 (87,8%) | 200 (99,5%) | 373 (93,7%) | |
| Insuficiência renal | 7 (3,6%) | 0 (0%) | 7 (1,8%) | |
| Hipotensão | 16 (8,1%) | 1 (0,5%) | 17 (4,3%) | |
| Outro | 1 (0,5%) | 0 (0%) | 1 (0,3%) | |
| Contra-indicação estatina | | | | 0,245 ° |
| Não | 196 (99%) | 201 (100%) | 397 (99,5%) | |
| Aumento transaminases | 1 (0,5%) | 0 (0%) | 1 (0,3%) | |
| Outro | 1 (0,5%) | 0 (0%) | 1 (0,3%) | |

Os valores estão apresentados como frequência absoluta (n) e relativa. c: teste da razão de verossimilhança. Abreviações: AAS – ácido acetilsalicílico; HNF – heparina não fracionada, IECA – inibidor da enzima conversora de angiotensina; BAV – bloqueio atrioventricular, DPOC – Doença Pulmonar obstrutiva crônica, BRA – bloqueador do receptor de angiotensina II.

A Tabela 19 apresenta as características diagnósticas e as manifestações clínicas iniciais de pacientes com câncer (n=201) em comparação com um grupo controle (n=201), totalizando 402 participantes. Foram observadas diferenças significantes entre o≤s grupos nos diagnósticos iniciais (P <0,001). Angina instável de baixo risco foi relatada exclusivamente no grupo com câncer (18 casos, 9,4%), enquanto angina instável de risco moderado/alto foi mais comum no grupo com câncer (36 casos, 18,8%) do que no controle (29 casos, 14,4%). O diagnóstico de IAMSST foi mais prevalente no grupo com câncer (96 casos, 50,3%) em comparação ao controle (60 casos, 29,9%), enquanto o IAMCSST foi mais frequente no grupo controle (112 casos, 55,7%) do que no grupo com câncer (37 casos, 19,4%). Doença Arterial Coronariana Estável (DAC) foi diagnosticada exclusivamente no grupo com câncer (4 casos, 2,1%), e pacientes assintomáticos foram raros em ambos os grupos, com 3 casos (1,6%) no grupo com câncer e 2 casos (1%) no controle (P = 0,680, diferença não significante).

Quanto às manifestações clínicas, dor típica foi o sintoma mais prevalente em ambos os grupos, sendo significantemente mais comum no controle (174 casos, 86,6%) do que no grupo com câncer (144 casos, 74,6%; P = 0,003). Dor atípica apresentou frequência semelhante entre os grupos, com 20 casos (10,4%) no grupo com câncer e 19 casos (9,5%) no controle (P = 0,762). Dispneia foi mais prevalente no grupo com câncer (28 casos, 14,5%) em comparação ao controle (20 casos, 10%; P = 0,167, diferença não significante). Edema agudo de pulmão foi raro, mas ocorreu mais frequentemente no grupo controle (6 casos, 3%) do que no grupo com câncer (2 casos, 1%; P = 0,285). Síncope também foi pouco frequente, com 4 casos (2,1%) no grupo com câncer e 7 casos (3,5%) no controle (P = 0,396). Morte súbita revertida foi mais prevalente no controle (12 casos, 6%) em comparação ao grupo com câncer (6 casos, 3,1%; P = 0,174). Choque cardiogênico foi mais comum no grupo com câncer (15 casos, 7,8%) do que no controle (8 casos, 4%; P = 0,109). Outros sintomas foram significantemente mais frequentes no controle (25 casos, 12,4%) em comparação ao grupo com câncer (4 casos, 2,1%; P <0,001). Taquicardia ventricular foi relatada exclusivamente no grupo controle (6 casos, 3%; P = 0,030, diferença significante).

A gravidade clínica, avaliada pela classificação Killip, não apresentou

diferença estatisticamente significante entre os grupos (P = 0,070). A maioria dos pacientes em ambos os grupos foi classificada como Killip 1 (sem sinais de insuficiência cardíaca), com 121 casos (79,1%) no grupo com câncer e 150 casos (74,6%) no controle. Pacientes em Killip 2 (insuficiência cardíaca leve) foram mais comuns no controle (34 casos, 16,9%) em comparação ao grupo com câncer (14 casos, 9,2%). Em Killip 3 (edema pulmonar franco), foram relatados 2 casos (1,3%) no grupo com câncer e 5 casos (2,5%) no controle. Finalmente, em Killip 4 (choque cardiogênico), foram observados 16 casos (10,5%) no grupo com câncer e 12 casos (6%) no controle.

Tabela 19. Diagnósticos e Manifestações Clínicas entre Pacientes com Câncer e Controles. Escore de Propensão

| Variável | Câncer n=201 | Controle n=201 | Total n=402 | Р |
|--------------------------------|-----------------|-------------------|----------------|---------------------|
| Diagnóstico | | | | <0,001 ^c |
| Angina Instável Baixo Risco | 18 (9,4%) | 0 (0%) | 18 (4,6%) | |
| Angina Instável Mod/Alto Risco | 36 (18,8%) | 29 (14,4%) | 65 (16,6%) | |
| IAMSST | 96 (50,3%) | 60 (29,9%) | 156 (39,8%) | |
| IAMCSST | 41 (21,5%) | 112 (55,7%) | 153 (39,0%) | |
| Assintomático | 3 (1,6%) | 2 (1%) | 5 (1,3%) | 0,680 d |
| Dor Típica | 144 (74,6%) | 174 (86,6%) | 318 (80,7%) | 0,003 b |
| Dor Atípica | 20 (10,4%) | 19 (9,5%) | 39 (9,9%) | 0,762 b |
| Dispnéia | 28 (14,5%) | 20 (10%) | 48 (12,2%) | 0,167 b |
| Edema agudo de pulmão | 2 (1%) | 6 (3%) | 8 (2%) | 0,285 d |
| Síncope | 4 (2,1%) | 7 (3,5%) | 11 (2,8%) | 0,396 b |
| Morte Súbita Revertida | 6 (3,1%) | 12 (6%) | 18 (4,6%) | 0,174 b |
| Choque Cardiogênico | 15 (7,8%) | 8 (4%) | 23 (5,8%) | 0,109 b |
| Outros sintomas | 4 (2,1%) | 25 (12,4%) | 29 (7,4%) | <0,001 b |
| Taquicardia ventricular | 0 (0%) | 6 (3%) | 6 (1,5%) | 0,030 d |
| Killip | | | | 0,070 ^c |
| 1 | 121 (79,1%) | 150 (74,6%) | 271 (76,6%) | |
| 2 | 14 (9,2%) | 34 (16,9%) | 48 (13,6%) | |
| 3 | 2 (1,3%) | 5 (2,5%) | 7 (2%) | |
| 4 | 16 (10,5%) | 12 (6%) | 28 (7,9%) | |

Os valores estão apresentados como frequência absoluta (n) e relativa (%).

b: teste qui-quadrado de Pearson, c: teste da razão de verossimilhança, d: teste exato de Fisher. Abreviações: IAMSST – infarto agudo do miocárdio sem supradesnível do segmento ST; IAMCSST – infarto agudo do miocárdio com supradesnível do segmento ST; Killip – escala Killip.

Na Tabela 19, o grupo controle destacou-se com maior prevalência de IAMCSST, sendo registrado em 55,7% dos pacientes, comparado a 21,5% no grupo câncer (P<0,001). Entre os subtipos de IAM, o IAM anterior foi mais frequente no grupo controle, com 20,9%, enquanto no grupo câncer foi de 6,8% (P<0,001). O IAM

inferior também foi predominante no grupo controle, ocorrendo em 20,4% dos casos, em contraste com 11,6% no grupo câncer (P=0,029). Adicionalmente, o IAM inferior associado a VD apresentou maior proporção no grupo controle, com 5,5% em relação a 0,7% no grupo câncer (P=0,016).

A realização de trombólise foi significantemente maior no grupo controle, onde 56,4% dos pacientes passaram pelo procedimento, comparado a apenas 1,2% no grupo câncer (P<0,001). No cateterismo, a ATC primária foi mais comum no grupo controle, representando 71,2% dos casos, enquanto no grupo câncer foi de 21,3% (P<0,001). Por outro lado, a ausência de intervenção foi predominante no grupo câncer, com 73,8%, em oposição a 6,3% no grupo controle (P<0,001).

Em relação ao déficit segmentar, o grupo controle apresentou maior frequência, com 73,8%, comparado a 59,1% no grupo câncer (P=0,014). A avaliação da função ventricular foi realizada em 93% dos pacientes do grupo controle, superando os 85% observados no grupo câncer (P=0,010). Variáveis como complicações durante o cateterismo/angioplastia e presença de bloqueios de ramo apresentaram frequências similares entre os grupos, sem significância estatística.

Tabela 20. Características clínicas e intervenções em pacientes com câncer e controles. Escore de Propensão

| Variável | Câncer n=201 | Controle n=201 | Total n=402 | Р |
|---------------------------------|-----------------|-------------------|----------------|--------------------|
| Anterior | 10 (6,8%) | 42 (20,9%) | 52 (14,9%) | <0,001 b |
| Antero-Lateral | 1 (0,7%) | 6 (3%) | 7 (2%) | 0,246 ^d |
| Inferior | 17 (11,6%) | 41 (20,4%) | 58 (16,7%) | 0,029 b |
| Inferior + VD | 1 (0,7%) | 11 (5,5%) | 12 (3,4%) | 0,016 b |
| Infero-Dorsal | 1 (0,7%) | 5 (2,5%) | 6 (1,7%) | 0,407 ^d |
| Infero-Latero-Dorsal | 0 (0%) | 5 (2,5%) | 5 (1,4%) | 0,076 ^d |
| Lateral | 4 (2,7%) | 8 (4%) | 12 (3,4%) | 0,525 b |
| BRD | 0 (0%) | 2 (1%) | 2 (0,6%) | 0,511 ^d |
| BRE | 0 (0%) | 3 (1,5%) | 3 (0,9%) | 0,266 d |
| BAV avançado | 0 (0%) | 0 (0%) | 0 (0%) | - |
| Trombólise | 1 (1,2%) | 62 (56,4%) | 63 (33%) | <0,001 b |
| Cateterismo | | | | <0,001 b |
| ATC primária | 17 (21,3%) | 79 (71,2%) | 96 (50,3%) | |
| ATC tardia | 4 (5%) | 25 (22,5%) | 29 (15,2%) | |
| Sem intervenção | 59 (73,8%) | 7 (6,3%) | 66 (34,6%) | |
| Avaliação de função ventricular | 170 (85%) | 187 (93%) | 357 (89%) | 0,010 b |
| Método de imagem | | | | 0,885 ^c |
| ECOTT | 165 (98,8%) | 184 (98,4%) | 349 (98,6%) | |
| Ventriculografia (CATE) | 1 (0,6%) | 2 (1,1%) | 3 (0,8%) | |

| GATED (Cintilografia) | 1 (0,6%) | 1 (0,5%) | 2 (0,6%) | |
|--|------------|-------------|-------------|--------------------|
| Défict segmentar | 52 (59,1%) | 138 (73,8%) | 190 (69,1%) | 0,014 b |
| Complicações Cateterismo/Angioplastia | 15 (16,3%) | 35 (17,4%) | 50 (17,1%) | 0,815 b |
| IAM pós ATC | 1 (1,1%) | 1 (0,5%) | 2 (0,7%) | 0,530 d |
| RM urgente | 0 (0%) | 9 (4,5%) | 9 (3,1%) | 0,061 ^d |
| RM eletiva | 0 (0%) | 2 (1%) | 2 (0,7%) | 1,000 ^d |
| Trombose aguda de stent | 0 (0%) | 1 (0,5%) | 1 (0,3%) | 1,000 ^d |
| Trombose subaguda de stent | 0 (0%) | 0 (0%) | 0 (0%) | - |
| Re- ATC urgente | 0 (0%) | 0 (0%) | 0 (0%) | - |
| Re-ATC eletiva | 0 (0%) | 0 (0%) | 0 (0%) | - |

Os valores estão apresentados como requência absoluta (n) e relativa. b: teste qui-quadrado de Pearson, d: teste exato de Fisher.

Abreviações: BRD – bloqueio de ramo direito; BRE – bloqueio de ramo esquerdo; BAV avançado – bloqueio atrioventricular avançado; ATC – angioplastia transluminal coronária; ATC primária – angioplastia realizada como terapia inicial no infarto agudo; ATC tardia – angioplastia realizada após a fase aguda do infarto; RM – revascularização do miocárdio; RM urgente – revascularização do miocárdio realizada em caráter emergencial; RM eletiva – revascularização programada; ECOTT – ecocardiograma transtorácico; GATED – cintilografia miocárdica com sincronização eletrocardiográfica; CATE – cateterismo cardíaco; IAM pós ATC – infarto agudo do miocárdio após angioplastia; Re-ATC – nova angioplastia; Re-ATC urgente – nova angioplastia em caráter de urgência; Re-ATC eletiva – nova angioplastia programada.

Tabela 21 apresenta a comparação entre as complicações e a necessidade de suporte hemodinâmico entre os grupos de pacientes com câncer e controles. As complicações observadas incluem hemodiálise, que ocorreu em 0,7% dos pacientes com câncer, mas não foi registrada no grupo controle (P=0,422), e choque séptico, que também foi identificado em 1,1% dos pacientes com câncer, sem ocorrência no grupo controle (P=0,314). O choque cardiogênico foi mais frequente no grupo câncer (4,3%) em comparação ao grupo controle (0,5%), com diferença estatisticamente significante (P=0,035). Hemorragia digestiva alta foi observada em 1,1% dos pacientes com câncer, sem ocorrência no grupo controle (P=0,314), e PCR revertida foi registrada em 1,1% dos pacientes com câncer e 1% dos controles, sem diferença significante (P=1,000).

Em relação ao suporte cardiovascular, a cardioversão/desfibrilação foi realizada em 1,1% dos pacientes com câncer e 0,5% no grupo controle (P=0,530). Insuficiência renal aguda (IRA) foi diagnosticada em 6,5% dos pacientes com câncer e 3% dos controles, mas sem diferença significante (P=0,203). Não houve registros de AVCH em nenhum dos grupos, enquanto AVCI/AIT foi observada em 1% dos controles, mas não no grupo câncer (P=1,000). A necessidade de transfusão foi observada em 0,5% dos pacientes do grupo controle, sem ocorrência no grupo câncer (P=1,000). Outras complicações foram mais frequentes no grupo controle (4,5%) do que no grupo câncer (1,1%), mas sem diferença estatística significante

(P=0,180).

O uso de noradrenalina foi mais frequente no grupo câncer (7,5%) comparado ao grupo controle (4%), mas sem significância estatística (P=0,133). O uso de vasopressina foi semelhante entre os grupos (2,5% no grupo câncer e 2% no grupo controle), sem diferença significante (P=1,000). O uso de dobutamina foi registrado em 4% dos pacientes com câncer e 5% no grupo controle (P=0,630), enquanto o uso de balão intra-aórtico foi de 3,5% no grupo câncer e 2% no grupo controle (P=0,359). Não houve uso de ECMO em nenhum dos grupos.

A maioria dos pacientes no grupo câncer (61,7%) não necessitou de suporte hemodinâmico, enquanto no grupo controle a proporção foi de 42,8%, com diferença estatisticamente significante (P<0,001).

Tabela 21 Complicações e necessidade de suporte hemodinâmico entre pacientes com câncer e controles. Escore de Propensão

| Variável | Câncer n=201 | Controle n=201 | Total n=402 | Р |
|-----------------------------|-----------------|-------------------|----------------|--------------------|
| Hemodiálise | 1 (0,7%) | 0 (0%) | 1 (0,3%) | 0,422 d |
| Choque séptico | 1 (1,1%) | 0 (0%) | 1 (0,3%) | 0,314 ^d |
| Choque Cardiogênico | 4 (4,3%) | 1 (0,5%) | 5 (1,7%) | 0,035 ^d |
| Hemorragia digestiva alta | 1 (1,1%) | 0 (0%) | 1 (0,3%) | 0,314 ^d |
| PCR revertida | 1 (1,1%) | 2 (1%) | 3 (1%) | 1,000 ^d |
| Cardioversão/ Desfibrilação | 1 (1,1%) | 1 (0,5%) | 2 (0,7%) | 0,530 ^d |
| IRA | 6 (6,5%) | 6 (3%) | 12 (4,1%) | 0,203 ^d |
| AVCH | 0 (0%) | 0 (0%) | 0 (0%) | - |
| AVCI/AIT | 0 (0%) | 2 (1%) | 2 (0,7%) | 1,000 ^d |
| Necessidade de Transfusão | 0 (0%) | 1 (0,5%) | 1 (0,3%) | 1,000 ^d |
| Outras complicações | 1 (1,1%) | 9 (4,5%) | 10 (3,4%) | 0,180 d |
| Uso de Noradrenalina | 15 (7,5%) | 8 (4%) | 23 (5,7%) | 0,133 b |
| Uso de Vasopressina | 5 (2,5%) | 4 (2%) | 9 (2,2%) | 1,000 ^d |
| Uso de Dobutamina | 8 (4%) | 10 (5%) | 18 (4,5%) | 0,630 b |
| Uso de Balão intra-aórtico | 7 (3,5%) | 4 (2%) | 11 (2,7%) | 0,359 b |
| Uso de ECMO | 0 (0%) | 0 (0%) | 0 (0%) | - |
| Sem suporte Hemodinâmico | 124 (61,7%) | 86 (42,8%) | 210 (52,2%) | <0,001 b |

Os valores estão apresentados como absoluta (n) e relativa (%). b: teste qui-quadrado de Pearson, d: teste exato de Fisher. Abreviações: PCR revertida – parada cardiorrespiratória revertida; IRA – insuficiência renal aguda; AVCH – acidente vascular cerebral hemorrágico; AVCI – acidente vascular cerebral isquêmico; AIT – ataque isquêmico transitório; ECMO – oxigenação por membrana extracorpórea.

A Tabela 22 apresenta a distribuição do uso de medicamentos e as contra-indicações entre pacientes com câncer e controles. Em relação ao uso de

medicamentos, o ácido acetilsalicílico (AAS) foi utilizado por 78,8% dos pacientes com câncer, 91% dos controles, com uma diferença significante (P = 0,001). O clopidogrel foi utilizado por 53,9% dos pacientes com câncer e 74,6% dos controles, com uma diferença altamente significante (P < 0,001). O prasugrel foi utilizado por 1,6% dos pacientes com câncer, mas não foi utilizado pelos controles (P = 0,117). O ticagrelor foi utilizado por 8,3% dos pacientes com câncer e 9,5% dos controles, sem diferença significante (P = 0,685). Nenhum paciente utilizou heparina ou dabigatrana. A enoxaparina foi utilizada por 3,1% dos pacientes com câncer e 0,5% dos controles (P = 0,063).

Em relação aos vasodilatadores, o nitrato foi utilizado por 7,3% dos pacientes com câncer e 3,5% dos controles, com P = 0,096. O IECA (inibidor da enzima conversora de angiotensina) foi utilizado por 24,4% dos pacientes com câncer e 55,7% dos controles, com uma diferença altamente significante (P < 0,001). O uso de bloqueadores dos receptores de angiotensina (BRA) foi mais frequente entre os controles (10,4%) em comparação aos pacientes com câncer (14,5%), mas sem diferença significante (P = 0,222). O uso de vasodilatadores foi mais prevalente entre os controles (83,6%) do que entre os pacientes com câncer (82,4%).

Quanto ao uso de estatinas, 84,4% dos pacientes com câncer e 97,9% dos controles utilizaram, com uma diferença significante (P < 0,001). O uso de betabloqueadores foi observado em 61,1% dos pacientes com câncer e 80,2% dos controles, com uma diferença significante (P < 0,001). O uso de bloqueadores dos canais de cálcio foi registrado em 12,8% dos pacientes com câncer e 8,1% dos controles, sem diferença significante (P = 0,139). O uso de furosemida foi mais comum entre os controles (10,6%) do que entre os pacientes com câncer (6,1%), mas sem diferença significante (P = 0,122).

No que se refere às contra-indicações, para o uso de AAS, 97,8% dos pacientes com câncer e 99,5% dos controles não apresentaram contra-indicação (P = 0,227). Para o uso de betabloqueadores, 94,9% dos pacientes com câncer e 97,4% dos controles não tinham contra-indicação, com P = 0,117. Para o uso de IECA/BRA, 92,2% dos pacientes com câncer e 97,9% dos controles não apresentaram contra-indicação, com uma diferença significante (P = 0,030). Quanto à contra-indicação ao uso de estatinas, 98,9% dos pacientes com câncer e 100% dos controles não apresentaram contra-indicação (P = 0,235).

Esses dados evidenciam diferenças no uso de medicamentos entre os

grupos, com destaque para o uso de AAS, clopidogrel, estatinas, IECA e betabloqueadores, onde os controles apresentaram prevalências mais altas, além de diferenças nas contra-indicações, principalmente no uso de IECA/BRA.

Tabela 22 Uso de medicamentos e contra-indicações entre pacientes com câncer e controles. Escore de Propensão

| | 0.0 | 0 () | T () | |
|-------------------------------|--------------|-------------|----------------|--------------------|
| Variável | Câncer | Controle | Total n=402 | Р |
| AAS | n=201 | n=201 | | 0 001 b |
| | 152 (78,8%) | 183 (91%) | 335 (85%) | 0,001 |
| Clopidogrel | 104 (53,9%) | 150 (74,6%) | 254 (64,5%) | ~0,001 |
| Prasugrel | 3 (1,6%) | 0 (0%) | 3 (0,8%) | 0,117 d |
| Ticagrelor | 16 (8,3%) | 19 (9,5%) | 35 (8,9%) | 0,685 b |
| Heparina | 0 (0%) | 0 (0%) | 0 (0%) | - |
| Enoxaparina | 6 (3,1%) | 1 (0,5%) | 7 (1,8%) | 0,063 d |
| Sem anticoagulação | 159 (82,4%) | 168 (83,6%) | 327 (83%) | 0,752 b |
| Varfarina | 2 (1%) | 3 (1,5%) | 5 (1,3%) | 1,000 d |
| Rivaroxabana | 4 (2,1%) | 1 (0,5%) | 5 (1,3%) | 0,207 d |
| Dabigatrana | 0 (0%) | 0 (0%) | 0 (0%) | - |
| Apixabana | 2 (1%) | 0 (0%) | 2 (0,5%) | 0,239 d |
| Nitrato | 14 (7,3%) | 7 (3,5%) | 21 (5,3%) | 0,096 b |
| IECA | 47 (24,4%) | 112 (55,7%) | 159 (40,4%) | <0,001 b |
| BRA | 28 (14,5%) | 21 (10,4%) | 49 (12,4%) | 0,222 b |
| Sem uso de vasodilatador | 91 (47,2%) | 51 (25,4%) | 142 (36%) | <0,001 b |
| Estatina | 152 (84,4%) | 185 (97,9%) | 337 (91,3%) | <0,001 b |
| B-bloqueador | 110 (61,1%) | 150 (80,2%) | 260 (70,8%) | <0,001 b |
| Boqueador de canal de cálcio | 23 (12,8%) | 15 (8,1%) | 38 (10,4%) | 0,139 b |
| Furosemida | 11 (6,1%) | 20 (10,6%) | 31 (8,4%) | 0,122 b |
| Contra-indicação AAS | | | | 0,227 ^c |
| Não | 176 (97,8%) | 188 (99,5%) | 364 (98,6%) | |
| Sangramento ativo | 1 (0,6%) | 0 (0%) | 1 (0,3%) | |
| Coagulopatia | 2 (1,1%) | 0 (0%) | 2 (0,5%) | |
| Alergia | 1 (0,6%) | 1 (0,5%) | 2 (0,5%) | |
| Contra-indicação B-Bloqueador | , , | . , | , , | 0,117 ° |
| Não | 169 (94,9%) | 184 (97,4%) | 353 (96,2%) | |
| Bradicardia | 3 (1,7%) | 4 (2,1%) | 7 (1,9%) | |
| Hipotensão | 1 (0,6%) | 1 (0,5%) | 2 (0,5%) | |
| DPOC/Asma | 3 (1,7%) | 0 (0%) | 3 (0,8%) | |
| Outro | 2 (1,1%) | 0 (0%) | 2 (0,5%) | |
| Contra-indicação IECA/BRA | , , , | , , | · · · / | 0,030 ° |

| Não | 165 (92,2%) | 185 (97,9%) | 350 (95,1%) | |
|---------------------------|-------------|-------------|-------------|--------------------|
| Insuficiência renal | 8 (4,5%) | 1 (0,5%) | 9 (2,4%) | |
| Hipotensão | 5 (2,8%) | 3 (1,6%) | 8 (2,2%) | |
| Outro | 1 (0,6%) | 0 (0%) | 1 (0,3%) | |
| Contra indicação estatina | | | | 0,235 ^c |
| Não | 177 (98,9%) | 189 (100%) | 366 (99,5%) | |
| Aumento transaminases | 1 (0,6%) | 0 (0%) | 1 (0,3%) | |
| Outro | 1 (0,6%) | 0 (0%) | 1 (0,3%) | |

Os valores estão apresentados como frequência absoluta (n) e relativa. b: teste qui-quadrado de Pearson, c: teste da razão de verossimilhança, d: teste exato de Fisher. Abreviações: AAS – ácido acetilsalicílico; IECA – inibidor da enzima conversora de angiotensina; BRA – bloqueador do receptor de angiotensina II, DPOC – Doença pulmonar obstrutiva crônica.

A tabela 23 mostra as taxas acumuladas de reinternação, revascularização da artéria culpada, infarto agudo do miocárdio (IAM), óbito cardíaco e óbito por todas as causas nos grupos de câncer e controle, aos 30 dias, 6 meses e 1 ano. As taxas representam os eventos ocorridos desde o início do estudo até cada ponto temporal específico, sendo acumulativas ao longo do tempo.

A reinternação, aos 6 meses, as taxas foram 14,8% no grupo câncer e 12,4% no grupo controle, com uma diferença não significante (P = 0,574). No entanto, no desfecho de reinternação após 1 ano, a taxa foi consideravelmente maior no grupo câncer, com 53,3%, contra 21,3% no grupo controle, com uma diferença estatisticamente significante (P < 0,001).

Em relação à revascularização da artéria culpada, aos 6 meses, a taxa foi de 0% no grupo câncer e 0,8% no grupo controle (P = 0,460). A revascularização aos 12 meses foi de 2,8% no grupo câncer e 2,5% no grupo controle (P = 1,000). Quanto ao infarto agudo do miocárdio (IAM), aos 6 meses, a taxa foi de 0,7% no grupo câncer e 3,3% no grupo controle (P = 0,184), e aos 12 meses, a taxa foi de 3,2% no grupo câncer e 7% no grupo controle (P = 0,294).

No que diz respeito ao óbito cardíaco, não houve casos aos 30 dias em nenhum dos grupos. Aos 6 meses, o grupo câncer apresentou uma taxa de 1,9%, enquanto o grupo controle não teve óbitos cardíacos (P = 0,516). Aos 12 meses, a taxa foi de 1,9% no grupo câncer e 0% no grupo controle (P = 0,516).

O óbito por todas as causas, aos 30 dias, a taxa foi de 1,3% no grupo câncer e 0% no grupo controle (P = 0,502). Aos 6 meses, a taxa foi de 8,2% no grupo câncer e 0% no grupo controle, com diferença estatisticamente significante (P = 0,001). Aos

12 meses, a taxa foi de 20,8% no grupo câncer e 0% no grupo controle, com diferença altamente significante (P < 0,001).

As taxas de eventos aos 30 dias, 6 meses e 1 ano foram acumulativas, incluindo todos os eventos que ocorreram desde o início do estudo até cada ponto temporal específico.

Tabela 23 Taxas acumuladas de desfechos nos grupos de câncer e controle. Escore de Propensão

| Variável | Câncer n=201 | Controle n=201 | Total n=402 | Р |
|-------------------------------------|-----------------|-------------------|----------------|--------------------|
| Reinternação | | | | |
| 6 meses | 21 (14,8%) | 15 (12,4%) | 36 (13,7%) | 0,574 b |
| 1 ano | 57 (53,3%) | 16 (21,3%) | 73 (40,1%) | <0,001 b |
| Revascularização da artéria culpada | | | | |
| 30 dias | 0 (0%) | 0 (0%) | 0 (0%) | - |
| 6 meses | 0 (0%) | 1 (0,8%) | 1 (0,4%) | 0,460 d |
| 1 ano | 4 (2,8%) | 3 (2,5%) | 7 (2,6%) | 1,000 ^d |
| IAM | | | | |
| 30 dias | 0 (0%) | 0 (0%) | 0 (0%) | - |
| 6 meses | 1 (0,7%) | 4 (3,3%) | 5 (1,9%) | 0,184 ^d |
| 1 ano | 3 (3,2%) | 5 (7%) | 8 (4,9%) | 0,294 d |
| Óbito cardíaco | , , | , | , , | |
| 30 dias | 0 (0%) | 0 (0%) | 0 (0%) | - |
| 6 meses | 2 (1,9%) | 0 (0%) | 2 (1,1%) | 0,516 ^d |
| 1 ano | 2 (1,9%) | 0 (0%) | 2 (1,1%) | 0,516 ^d |
| Óbito por todas as causas | | | | |
| Na internação | 16 (8,2%) | 0 (0%) | 16 (4,0%) | <0,001 b |
| 30 dias | 17 (8,6%) | 0 (0%) | 17 (4,3%) | <0,001 b |
| 6 meses | 27 (13,7%) | 0 (0%) | 27 (6,8%) | <0,001 b |
| 1 ano | 35 (20,8%) | 0 (0%) | 35 (8,8%) | <0,001 b |

As taxas de eventos aos 30 dias, 6 meses e 1 ano representam os eventos acumulados, considerando ocorridos desde o início do estudo até cada ponto temporal específico. Os valores estão apresentados como frequência absoluta (n) e relativa. b: teste qui-quadrado de Pearson, d: teste exato de Fisher. Abreviações: IAM – infarto agudo do miocárdio.

11. DISCUSSÃO

O Registro BRAVADO demonstrou que pacientes com câncer internados com síndrome coronariana aguda (SCA) constituem uma população de alto risco, apresentando maior mortalidade intra-hospitalar e maior incidência de eventos isquêmicos e hemorrágicos em comparação com pacientes sem câncer. Esses achados refletem a sobreposição de duas doenças de alta complexidade, cuja interação tem sido cada vez mais reconhecida como crítica para o manejo clínico moderno. A análise minuciosa dos dados obtidos, quando comparada com a literatura internacional, reforça a necessidade de integração entre cardiologia e oncologia, bem como o desenvolvimento de programas estruturados de cardio-oncologia.

Potts et al.(40) analisaram uma coorte de mais de 6,5 milhões de pacientes com infarto agudo do miocárdio (IAM) nos Estados Unidos e observaram que pacientes com câncer ativo apresentaram maior mortalidade hospitalar e menor taxa de intervenções invasivas, como angioplastia primária. Velders et al.(32) também documentaram aumento significativo na mortalidade em um ano entre pacientes com histórico de câncer submetidos à intervenção coronariana percutânea primária (ICP), especialmente quando o diagnóstico oncológico era recente. Esses achados são paralelos aos dados do BRAVADO, nos quais a taxa de revascularização foi de apenas 34% entre os pacientes com câncer, contra 52% no grupo controle.

Além do viés de conduta conservadora frente à presença de uma neoplasia, fatores fisiopatológicos também contribuem para os desfechos adversos. O câncer e seu tratamento induzem um estado pró-inflamatório e pró-trombótico, que aumenta tanto o risco de trombose quanto o de sangramento(43). Camilli et al. revisaram os mecanismos moleculares da cardiotoxicidade das antraciclinas, destacando alterações mitocondriais, estresse oxidativo e apoptose como fatores críticos(43). Esse ambiente de vulnerabilidade cardiovascular é agravado pelo uso de anticoagulantes e antiagregantes em pacientes com SCA, muitas vezes contraindicado em indivíduos com plaquetopenia secundária à mielossupressão.

As diretrizes da Sociedade Europeia de Cardiologia (ESC) e da Sociedade Brasileira de Cardiologia (SBC) recomendam que pacientes oncológicos com SCA sejam tratados conforme os protocolos convencionais, com adaptações específicas à condição clínica e oncológica(2,28). No entanto, estudos como o de Mecinaj et al.(30) sugerem que a aplicação dos critérios de biomarcadores propostos pelas diretrizes

permite detecção mais precoce da cardiotoxicidade. Apesar disso, o BRAVADO demonstrou baixa adesão ao uso sistemático de biomarcadores como troponina e BNP, evidenciando lacunas na prática clínica.

A hesitação terapêutica continua sendo um desafio. Landes et al.(39) e Roule et al.(44) documentaram menor frequência de ICP e piores desfechos em pacientes oncológicos, mesmo em centros de excelência. Ahmed et al. acrescentaram que o uso de stents farmacológicos (DES) não está associado a maior mortalidade ou necessidade de reintervenção em pacientes com câncer, reforçando sua segurança(15). Esses dados corroboram a prática adotada no BRAVADO, onde houve predomínio de DES mesmo entre pacientes oncológicos.

A análise ajustada por escore de propensão foi um dos pontos fortes do BRAVADO. Inicialmente, os pacientes com câncer apresentavam mortalidade significativamente maior; no entanto, após o pareamento, essa diferença perdeu significância estatística. Isso sugere que o câncer atua mais como um marcador de fragilidade clínica do que como fator causal direto, refletindo uma tendência atual da medicina personalizada, que prioriza a avaliação individual em detrimento da estratificação puramente diagnóstica.

Estudos recentes ampliam a compreensão sobre as interações entre câncer e SCA. Chitturi et al. propuseram que a disfunção microvascular associada ao câncer pode gerar SCA mesmo na ausência de lesões obstrutivas, exigindo exames como angiotomografia coronariana e ressonância magnética cardíaca para elucidação diagnóstica.(45). Ainda, Paterson et al. alertam que a ausência de monitoramento sistemático com troponina e BNP compromete a identificação precoce de dano miocárdico(46).

A exposição prévia à radioterapia torácica também deve ser considerada. Belzile-Dugas e Eisenberg revisaram os efeitos tardios da radiação sobre o miocárdio e as artérias coronárias, incluindo fibrose, disfunção valvar e doença aterosclerótica acelerada(47). Tais efeitos não foram sistematicamente avaliados no BRAVADO, destacando uma limitação do registro e uma oportunidade para futuros estudos incluírem essa variável como elemento de risco.

Outro ponto crítico é a análise estatística de risco competitivo. Sun et al. demonstraram que a mortalidade oncológica pode mascarar eventos cardiovasculares em análises tradicionais, recomendando o uso de modelos como Fine-Gray para avaliação mais precisa(48). No BRAVADO, observou-se que a mortalidade geral

permaneceu mais alta no grupo oncológico mesmo após um ano, o que pode refletir tanto eventos cardiovasculares quanto complicações diretas do câncer.

Florido et al. evidenciou que sobreviventes de câncer apresentam risco aumentado de doença cardiovascular aterosclerótica e insuficiência cardíaca, mesmo anos após o término do tratamento oncológico(49). Isso destaca a importância de estratégias de prevenção secundária e seguimento prolongado, aspecto que o BRAVADO ainda não abrangeu em sua totalidade.

Por fim, a integração de cuidados cárdio oncológicos em instituições de saúde é essencial. Watson et al. (2020) demonstraram que programas estruturados de cárdio oncologia aumentam a adesão às diretrizes, otimizam o rastreamento de toxicidade cardíaca e reduzem eventos adversos(12). No BRAVADO, a variabilidade entre os centros e a ausência de protocolos integrados podem ter contribuído para os desfechos menos favoráveis observados em pacientes com câncer.

O presente estudo apresenta pontos fortes e limitações que merecem consideração. Entre os pontos fortes, destaca-se o uso de um banco de dados multicêntrico, o que aumenta a representatividade dos resultados, além da aplicação de pareamento por escore de propensão, que conferiu maior robustez estatística às análises, minimizando o viés de seleção e permitindo comparações mais precisas entre os grupos com e sem câncer. Também é relevante a inclusão de um seguimento de até 12 meses, possibilitando avaliar desfechos subagudos. Por outro lado, o estudo apresenta limitações importantes, como a ausência de dados sistematizados sobre o tipo de câncer, estágio da doença, terapias oncológicas utilizadas (quimioterapia, radioterapia ou imunoterapia) e status funcional dos pacientes. Esses elementos poderiam impactar significativamente os desfechos cardiovasculares. Além disso, a adesão heterogênea às diretrizes de cárdio oncologia entre os centros participantes, bem como a ausência de biomarcadores e imagens seriadas em parte da coorte, limita a análise mais aprofundada da cardiotoxicidade e da estratificação de risco. Por fim, trata-se de um estudo observacional, o que impede inferências causais definitivas, embora os ajustes estatísticos adotados reforcem a validade dos achados.

Em síntese, o estudo BRAVADO reforça que a presença de câncer não deve ser uma barreira à adoção de estratégias terapêuticas baseadas em evidência para SCA. A personalização do cuidado, o uso racional de recursos diagnósticos, a consideração de fatores como fragilidade clínica e toxicidade cumulativa e a adoção de programas estruturados de cuidado conjunto são fundamentais para oferecer uma

abordagem ética, segura e eficaz a essa população vulnerável.

Em conjunto, os achados do BRAVADO reforçam que pacientes com câncer e SCA demandam um cuidado centrado, individualizado e respaldado pelas melhores evidências disponíveis. A oncologia moderna prolonga a sobrevida dos pacientes, mas esse avanço não pode ser comprometido por eventos cardiovasculares potencialmente preveníveis. O desafio clínico atual é equilibrar risco e benefício de forma ética, personalizada e multidisciplinar.

12. CONCLUSÃO

Pacientes com câncer internados com SCA representam uma população de alto risco, com mortalidade hospitalar significativamente maior, além de maior ocorrência de eventos hemorrágicos e isquêmicos, mesmo após ajuste por comorbidades. Os achados corroboram a literatura internacional e evidenciam a complexidade crescente no manejo clínico desses indivíduos. A elevada mortalidade hospitalar e a menor taxa de intervenções invasivas observadas entre pacientes oncológicos não apenas refletem uma realidade clínica de maior risco, mas também sugerem que fatores como hesitação terapêutica, perfil inflamatório aumentado e fragilidade geral impactam significativamente o prognóstico desses indivíduos.

A identificação precoce da fragilidade cardiovascular, a estratificação individualizada do risco e a integração entre cardiologia, oncologia e cuidados paliativos são estratégias indispensáveis. Decisões terapêuticas devem considerar não apenas o risco isquêmico e hemorrágico, mas também o prognóstico oncológico e a qualidade de vida esperada. Frente a esse cenário, é fundamental reforçar a importância de uma abordagem integrada e multidisciplinar, que considere o prognóstico oncológico, o risco cardiovascular e os objetivos terapêuticos do paciente.

Metodologicamente, o uso do escore de propensão mostrou-se um recurso valioso, conferindo maior robustez e validade às conclusões e ressaltando a importância de abordagens estatísticas adequadas em estudos não randomizados. A análise ajustada por escore de propensão reforça a ideia de que o câncer, por si só, não é um preditor independente de piores desfechos, mas sim um marcador de um conjunto de condições de alto risco. Do ponto de vista prático, os resultados oferecem uma orientação clara. A presença de um diagnóstico de câncer não deve, isoladamente, ditar um prognóstico desfavorável nem levar a mudanças fundamentais na conduta terapêutica, desde que o paciente seja avaliado em sua integralidade clínica.

A adoção plena das diretrizes de cárdio oncologia — como as propostas pela ESC e SBC —, a implementação de programas estruturados de cuidado cárdio oncológico e o uso criterioso de estratégias terapêuticas individualizadas representam medidas essenciais para melhorar os desfechos e reduzir as desigualdades no cuidado de pacientes com câncer e SCA. Em vez disso, o foco deve permanecer em uma avaliação abrangente dos fatores de risco e das condições individuais de cada

paciente, garantindo que os avanços na oncologia não sejam limitados por eventos cardiovasculares preveníveis.

Por fim, abrem-se perspectivas para pesquisas futuras. Investigações prospectivas poderão confirmar e ampliar esses achados, explorando, por exemplo, o impacto de diferentes tipos e estádios de câncer, ou avaliando intervenções específicas para melhorar os resultados de pacientes oncológicos em cenários críticos. Em suma, o estudo BRAVADO não só esclarece uma importante questão clínica, mas também reforça a relevância de uma abordagem metodológica rigorosa como caminho para obter respostas mais precisas em pesquisa médica, contribuindo para aprimorar tanto o conhecimento científico quanto a prática clínica. Os achados do BRAVADO apontam para uma necessária mudança de paradigma: pacientes oncológicos devem receber terapias cardiovasculares baseadas em evidências, sempre que clinicamente indicadas, evitando o subtratamento com base apenas na presença da neoplasia. O desafio está em equilibrar risco e benefício de forma personalizada e ética, promovendo um cuidado centrado no paciente e sustentado pelas melhores práticas clínicas.

13. REFERÊNCIAS BIBLIOGRÁFICAS

- 1. Brant LCC, Nascimento BR, Passos VMA, Duncan BB, Bensenőr IJM, Malta DC, et al. Variações e diferenciais da mortalidade por doença cardiovascular no Brasil e em seus estados, em 1990 e 2015: estimativas do Estudo Carga Global de Doença. Rev Bras Epidemiol [Internet]. maio de 2017 [citado 16 de janeiro de 2025];20(suppl 1):116–28. Disponível em: http://www.scielo.br/scielo.php?script=sci_arttext&pid=S1415-790X2017000500116&tlng=pt
- Hajjar LA, Costa IBSDSD, Lopes MACQ, Hoff PMG, Diz MDPE, Fonseca SMR, et al. Diretriz Brasileira de Cardio-oncologia – 2020. Arq Bras Cardiol [Internet]. 18 de novembro de 2020 [citado 16 de janeiro de 2025];115(5):1006–43. Disponível em: http://abccardiol.org/article/diretriz-brasileira-de-cardio-oncologia-2020/
- 3. Lyon AR, López-Fernández T, Couch LS, Asteggiano R, Aznar MC, Bergler-Klein J, et al. 2022 ESC Guidelines on cardio-oncology developed in collaboration with the European Hematology Association (EHA), the European Society for Therapeutic Radiology and Oncology (ESTRO) and the International Cardio-Oncology Society (IC-OS). Eur Heart J [Internet]. 1° de novembro de 2022 [citado 16 de janeiro de 2025];43(41):4229–361. Disponível em: https://academic.oup.com/eurheartj/article/43/41/4229/6673995
- 4. Piegas L, Timerman A, Feitosa G, Nicolau J, Mattos L, Andrade M, et al. V DIRETRIZ DA SOCIEDADE BRASILEIRA DE CARDIOLOGIA SOBRE TRATAMENTO DO INFARTO AGUDO DO MIOCÁRDIO COM SUPRADESNÍVEL DO SEGMENTO ST. Arq Bras Cardiol [Internet]. 2015 [citado 16 de janeiro de 2025];105(2). Disponível em: https://www.scielo.br/scielo.php?script=sci_arttext&pid=S0066-782X2015003000001
- Costa IBSDS, Andrade FTDA, Carter D, Seleme VB, Costa MS, Campos CM, et al. Challenges and Management of Acute Coronary Syndrome in Cancer Patients. Front Cardiovasc Med [Internet]. 9 de junho de 2021 [citado 16 de janeiro de 2025];8:590016. Disponível em: https://www.frontiersin.org/articles/10.3389/fcvm.2021.590016/full
- 6. Bharadwaj A, Potts J, Mohamed MO, Parwani P, Swamy P, Lopez-Mattei JC, et al. Acute myocardial infarction treatments and outcomes in 6.5 million patients with a current or historical diagnosis of cancer in the USA. Eur Heart J [Internet]. 14 de junho de 2020 [citado 16 de junho de 2025];41(23):2183–93. Disponível em: https://academic.oup.com/eurheartj/article/41/23/2183/5652220

- 7. Sturgeon KM, Deng L, Bluethmann SM, Zhou S, Trifiletti DM, Jiang C, et al. A population-based study of cardiovascular disease mortality risk in US cancer patients. Eur Heart J [Internet]. 21 de dezembro de 2019 [citado 16 de junho de 2025];40(48):3889–97. Disponível em: https://academic.oup.com/eurheartj/article/40/48/3889/5637730
- Herrmann J, Yang EH, Iliescu CA, Cilingiroglu M, Charitakis K, Hakeem A, et al. Vascular Toxicities of Cancer Therapies: The Old and the New – An Evolving Avenue. Circulation [Internet]. 29 de março de 2016 [citado 16 de janeiro de 2025];133(13):1272–89.
 Disponível em: https://www.ahajournals.org/doi/10.1161/CIRCULATIONAHA.115.018347
- Bloom MW, Vo JB, Rodgers JE, Ferrari AM, Nohria A, Deswal A, et al. Cardio-Oncology and Heart Failure: a Scientific Statement From the Heart Failure Society of America. J Card Fail [Internet]. fevereiro de 2025 [citado 16 de junho de 2025];31(2):415–55. Disponível em: https://linkinghub.elsevier.com/retrieve/pii/S1071916424003634
- 10. Velusamy R, Nolan M, Murphy A, Thavendiranathan P, Marwick TH. Screening for Coronary Artery Disease in Cancer Survivors. JACC CardioOncology [Internet]. fevereiro de 2023 [citado 16 de junho de 2025];5(1):22–38. Disponível em: https://linkinghub.elsevier.com/retrieve/pii/S2666087323000157
- 11. Leong DP, Cirne F, Aghel N, Baro Vila RC, Cavalli GD, Ellis PM, et al. Cardiac Interventions in Patients With Active, Advanced Solid and Hematologic Malignancies. JACC CardioOncology [Internet]. agosto de 2023 [citado 16 de junho de 2025];5(4):415–30. Disponível em: https://linkinghub.elsevier.com/retrieve/pii/S2666087323001679
- 12. Watson N, Al-Samkari H. Thrombotic and bleeding risk of angiogenesis inhibitors in patients with and without malignancy. J Thromb Haemost [Internet]. agosto de 2021 [citado 16 de junho de 2025];19(8):1852–63. Disponível em: https://linkinghub.elsevier.com/retrieve/pii/S1538783622018451
- 13. Zamorano JL, Gottfridsson C, Asteggiano R, Atar D, Badimon L, Bax JJ, et al. The cancer patient and cardiology. Eur J Heart Fail [Internet]. dezembro de 2020 [citado 16 de junho de 2025];22(12):2290–309. Disponível em: https://onlinelibrary.wiley.com/doi/10.1002/ejhf.1985
- 14. Yetis Sayin B, Oto MA. Acute Coronary Syndrome in Cancer Patients. Am J Cardiovasc Drugs [Internet]. outubro de 2018 [citado 16 de janeiro de 2025];18(5):361–72. Disponível em: http://link.springer.com/10.1007/s40256-018-0286-z
- 15. Ahmed T, Pacha HM, Addoumieh A, Koutroumpakis E, Song J, Charitakis K, et al.

Percutaneous coronary intervention in patients with cancer using bare metal stents compared to drug-eluting stents. Front Cardiovasc Med [Internet]. 19 de outubro de 2022 [citado 16 de junho de 2025];9:901431. Disponível em: https://www.frontiersin.org/articles/10.3389/fcvm.2022.901431/full

- 16. Guo W, Fan X, Lewis BR, Johnson MP, Rihal CS, Lerman A, et al. Cancer Patients Have a Higher Risk of Thrombotic and Ischemic Events After Percutaneous Coronary Intervention. JACC Cardiovasc Interv [Internet]. maio de 2021 [citado 16 de junho de 2025];14(10):1094–105. Disponível em: https://linkinghub.elsevier.com/retrieve/pii/S1936879821005239
- 17. Canale ML, Bisceglia I, Lestuzzi C, Parrini I, on behalf of ANMCO Cardio-Oncology Task Force. Arterial Thrombosis in Cancer: Spotlight on the Neglected Vessels. Anticancer Res [Internet]. setembro de 2019 [citado 16 de janeiro de 2025];39(9):4619–25. Disponível em: http://ar.iiarjournals.org/lookup/doi/10.21873/anticanres.13642
- 18. Lanza GA, Careri G, Crea F. Mechanisms of Coronary Artery Spasm. Circulation [Internet]. 18 de outubro de 2011 [citado 16 de janeiro de 2025];124(16):1774–82. Disponível em: https://www.ahajournals.org/doi/10.1161/CIRCULATIONAHA.111.037283
- 19. Jafri M, Protheroe A. Cisplatin-associated thrombosis. Anticancer Drugs [Internet]. outubro de 2008 [citado 16 de janeiro de 2025];19(9):927–9. Disponível em: https://journals.lww.com/00001813-200810000-00011
- 20. Snider KL, Maitland ML. Cardiovascular toxicities: clues to optimal administration of vascular endothelial growth factor signaling pathway inhibitors. Target Oncol [Internet]. junho de 2009 [citado 16 de janeiro de 2025];4(2):67–76. Disponível em: http://link.springer.com/10.1007/s11523-009-0106-0
- 21. Ranpura V, Hapani S, Chuang J, Wu S. Risk of cardiac ischemia and arterial thromboembolic events with the angiogenesis inhibitor bevacizumab in cancer patients: A meta-analysis of randomized controlled trials. Acta Oncol [Internet]. janeiro de 2010 [citado 16 de janeiro de 2025];49(3):287–97. Disponível em: http://www.tandfonline.com/doi/full/10.3109/02841860903524396
- 22. Breccia M, Colafigli G, Molica M, Alimena G. Cardiovascular risk assessments in chronic myeloid leukemia allow identification of patients at high risk of cardiovascular events during treatment with nilotinib. Am J Hematol [Internet]. maio de 2015 [citado 16 de janeiro de 2025];90(5). Disponível em: https://onlinelibrary.wiley.com/doi/10.1002/ajh.23976

- 23. Cortes JE, Kim DW, Pinilla-Ibarz J, Le Coutre P, Paquette R, Chuah C, et al. A Phase 2 Trial of Ponatinib in Philadelphia Chromosome—Positive Leukemias. N Engl J Med [Internet]. 7 de novembro de 2013 [citado 16 de janeiro de 2025];369(19):1783—96. Disponível em: http://www.nejm.org/doi/10.1056/NEJMoa1306494
- 24. Franchini M, Tufano A, Casoria A, Coppola A. Arterial Thrombosis in Cancer Patients: An Update. Semin Thromb Hemost [Internet]. novembro de 2021 [citado 16 de junho de 2025];47(08):942–9. Disponível em: http://www.thieme-connect.de/DOI/DOI?10.1055/s-0041-1733927
- 25. Van Nimwegen FA, Schaapveld M, Cutter DJ, Janus CPM, Krol ADG, Hauptmann M, et al. Radiation Dose-Response Relationship for Risk of Coronary Heart Disease in Survivors of Hodgkin Lymphoma. J Clin Oncol [Internet]. 20 de janeiro de 2016 [citado 16 de janeiro de 2025];34(3):235–43. Disponível em: https://ascopubs.org/doi/10.1200/JCO.2015.63.4444
- 26. Lee YC, Chuang JP, Hsieh PC, Chiou MJ, Li CY. A higher incidence rate of acute coronary syndrome following radiation therapy in patients with breast cancer and a history of coronary artery diseases. Breast Cancer Res Treat [Internet]. julho de 2015 [citado 16 de janeiro de 2025];152(2):429–35. Disponível em: http://link.springer.com/10.1007/s10549-015-3481-5
- 27. Collet JP, Thiele H, Barbato E, Barthélémy O, Bauersachs J, Bhatt DL, et al. 2020 ESC Guidelines for the management of acute coronary syndromes in patients presenting without persistent ST-segment elevation. Rev Esp Cardiol Engl Ed [Internet]. junho de 2021 [citado 16 de janeiro de 2025];74(6):544. Disponível em: https://linkinghub.elsevier.com/retrieve/pii/S1885585721001559
- 28. Lyon AR, López-Fernández T, Couch LS, Asteggiano R, Aznar MC, Bergler-Klein J, et al. 2022 ESC Guidelines on cardio-oncology developed in collaboration with the European Hematology Association (EHA), the European Society for Therapeutic Radiology and Oncology (ESTRO) and the International Cardio-Oncology Society (IC-OS). Eur Heart J Cardiovasc Imaging [Internet]. 10 de setembro de 2022 [citado 16 de janeiro de 2025];23(10):e333–465. Disponível em: https://academic.oup.com/ehjcimaging/article/23/10/e333/6675075
- 29. Mehta SR, Granger CB, Boden WE, Steg PG, Bassand JP, Faxon DP, et al. Early versus Delayed Invasive Intervention in Acute Coronary Syndromes. N Engl J Med [Internet]. 21 de maio de 2009 [citado 16 de janeiro de 2025];360(21):2165–75. Disponível em:

http://www.nejm.org/doi/abs/10.1056/NEJMoa0807986

- 30. Mecinaj A, Gulati G, Ree AH, Gravdehaug B, Røsjø H, Steine K, et al. Impact of the ESC Cardio-Oncology Guidelines Biomarker Criteria on Incidence of Cancer Therapy–Related Cardiac Dysfunction. JACC CardioOncology [Internet]. fevereiro de 2024 [citado 16 de junho de 2025];6(1):83–95. Disponível em: https://linkinghub.elsevier.com/retrieve/pii/S2666087323003502
- 31. Weiner AB, Li EV, Desai AS, Press DJ, Schaeffer EM. Cause of death during prostate cancer survivorship: A contemporary, US population–based analysis. Cancer [Internet]. 15 de agosto de 2021 [citado 16 de junho de 2025];127(16):2895–904. Disponível em: https://acsjournals.onlinelibrary.wiley.com/doi/10.1002/cncr.33584
- 32. Velders MA, Boden H, Hofma SH, Osanto S, Van Der Hoeven BL, Heestermans AACM, et al. Outcome After ST Elevation Myocardial Infarction in Patients With Cancer Treated With Primary Percutaneous Coronary Intervention. Am J Cardiol [Internet]. dezembro de 2013 [citado 16 de junho de 2025];112(12):1867–72. Disponível em: https://linkinghub.elsevier.com/retrieve/pii/S0002914913017013
- 33. Teece L, Sweeting MJ, Hall M, Coles B, Oliver-Williams C, Welch CA, et al. Impact of a Prior Cancer Diagnosis on Quality of Care and Survival Following Acute Myocardial Infarction: Retrospective Population-Based Cohort Study in England. Circ Cardiovasc Qual Outcomes [Internet]. junho de 2023 [citado 16 de junho de 2025];16(6). Disponível em: https://www.ahajournals.org/doi/10.1161/CIRCOUTCOMES.122.009236
- 34. Tosaka K, Ishida M, Tsuji K, Kanehama N, Koeda Y, Niiyama M, et al. Prevalence, clinical characteristics, and impact of active cancer in patients with acute myocardial infarction: data from an all-comer registry. J Cardiol [Internet]. setembro de 2021 [citado 16 de junho de 2025];78(3):193–200. Disponível em: https://linkinghub.elsevier.com/retrieve/pii/S0914508721000939
- 35. Battisti NML, Welch CA, Sweeting M, De Belder M, Deanfield J, Weston C, et al. Prevalence of Cardiovascular Disease in Patients With Potentially Curable Malignancies. JACC CardioOncology [Internet]. junho de 2022 [citado 16 de junho de 2025];4(2):238–53. Disponível em: https://linkinghub.elsevier.com/retrieve/pii/S2666087322002186
- 36. Ameri P, Bertero E, Lombardi M, Porto I, Canepa M, Nohria A, et al. Ischaemic heart disease in patients with cancer. Eur Heart J [Internet]. 7 de abril de 2024 [citado 16 de junho de 2025];45(14):1209–23. Disponível em:

- https://academic.oup.com/eurheartj/article/45/14/1209/7601990
- 37. Kurisu S, Iwasaki T, Ishibashi K, Mitsuba N, Dohi Y, Kihara Y. Comparison of treatment and outcome of acute myocardial infarction between cancer patients and non-cancer patients. Int J Cardiol [Internet]. setembro de 2013 [citado 16 de junho de 2025];167(5):2335–7. Disponível em: https://linkinghub.elsevier.com/retrieve/pii/S0167527312014702
- 38. Hess CN, Roe MT, Clare RM, Chiswell K, Kelly J, Tcheng JE, et al. Relationship Between Cancer and Cardiovascular Outcomes Following Percutaneous Coronary Intervention. J Am Heart Assoc [Internet]. 17 de julho de 2015 [citado 16 de junho de 2025];4(7):e001779. Disponível em: https://www.ahajournals.org/doi/10.1161/JAHA.115.001779
- 39. Landes U, Kornowski R, Bental T, Assali A, Vaknin-Assa H, Lev E, et al. Long-term outcomes after percutaneous coronary interventions in cancer survivors. Coron Artery Dis [Internet]. janeiro de 2017 [citado 16 de junho de 2025];28(1):5–10. Disponível em: https://journals.lww.com/00019501-201701000-00003
- 40. Potts J, Mohamed MO, Lopez Mattei JC, Iliescu CA, Konopleva M, Rashid M, et al. Percutaneous coronary intervention and in-hospital outcomes in patients with leukemia: a nationwide analysis. Catheter Cardiovasc Interv [Internet]. julho de 2020 [citado 16 de junho de 2025];96(1):53–63. Disponível em: https://onlinelibrary.wiley.com/doi/10.1002/ccd.28432
- 41. Dutra JPP, Macedo AVS, Peixoto TFLF, Garcez JDS, Bacchiega BC, Marchi PD, et al. Cardiology and oncology: a meeting of giants. Rev Assoc Médica Bras [Internet]. 2024 [citado 16 de junho de 2025];70(suppl 1):e2024S114. Disponível em: http://www.scielo.br/scielo.php?script=sci_arttext&pid=S0104-42302024001300721&tlng=en
- 42. Altman DG. Practical statistics for medical research. Boca Raton, Fla: Chapman & Hall/CRC; 1999. 611 p.
- 43. Camilli M, Cipolla CM, Dent S, Minotti G, Cardinale DM. Anthracycline Cardiotoxicity in Adult Cancer Patients. JACC CardioOncology [Internet]. outubro de 2024 [citado 16 de junho de 2025];6(5):655–77. Disponível em: https://linkinghub.elsevier.com/retrieve/pii/S2666087324002758
- 44. Roule V, Verdier L, Blanchart K, Ardouin P, Lemaitre A, Bignon M, et al. Systematic review and meta-analysis of the prognostic impact of cancer among patients with acute coronary

- syndrome and/or percutaneous coronary intervention. BMC Cardiovasc Disord [Internet]. dezembro de 2020 [citado 16 de junho de 2025];20(1):38. Disponível em: https://bmccardiovascdisord.biomedcentral.com/articles/10.1186/s12872-020-01352-0
- 45. Chitturi KR, Bhogal S, Kassaian SE, Merdler I, Abusnina W, Chaturvedi A, et al. Coronary microvascular dysfunction and cancer therapy-related cardiovascular toxicity. Cardiovasc Revasc Med [Internet]. novembro de 2024 [citado 18 de junho de 2025];68:45–9. Disponível em: https://linkinghub.elsevier.com/retrieve/pii/S1553838924004597
- 46. Paterson DI, Wiebe N, Cheung WY, Mackey JR, Pituskin E, Reiman A, et al. Incident Cardiovascular Disease Among Adults With Cancer. JACC CardioOncology [Internet]. março de 2022 [citado 18 de junho de 2025];4(1):85–94. Disponível em: https://linkinghub.elsevier.com/retrieve/pii/S2666087322001119
- 47. Belzile-Dugas E, Eisenberg MJ. Radiation-Induced Cardiovascular Disease: Review of an Underrecognized Pathology. J Am Heart Assoc [Internet]. 21 de setembro de 2021 [citado 18 de junho de 2025];10(18):e021686. Disponível em: https://www.ahajournals.org/doi/10.1161/JAHA.121.021686
- 48. Sun M, Zhu S, Wang Y, Zhao Y, Yan K, Li X, et al. Effect of inflammation on association between cancer and coronary artery disease. BMC Cardiovasc Disord [Internet]. 24 de janeiro de 2024 [citado 18 de junho de 2025];24(1):72. Disponível em: https://bmccardiovascdisord.biomedcentral.com/articles/10.1186/s12872-023-03613-0
- 49. Florido R, Daya NR, Ndumele CE, Koton S, Russell SD, Prizment A, et al. Cardiovascular Disease Risk Among Cancer Survivors. J Am Coll Cardiol [Internet]. julho de 2022 [citado 18 de junho de 2025];80(1):22–32. Disponível em: https://linkinghub.elsevier.com/retrieve/pii/S0735109722049397

ANEXO 1

USP - FACULDADE DE MEDICINA DA UNIVERSIDADE DE SÃO PAULO - FMUSP



PARECER CONSUBSTANCIADO DO CEP

DADOS DO PROJETO DE PESQUISA

Título da Pesquisa: Avaliação clínica e anatômica da síndrome coronariana aguda em pacientes

oncológicos

Pesquisador: Ludhmila Abrahão Hajjar

Área Temática: Versão: 1

CAAE: 83004118.1.1001.0065

Instituição Proponente: FUNDACAO FACULDADE DE MEDICINA

Patrocinador Principal: Financiamento Próprio

DADOS DO PARECER

Número do Parecer: 2.507.879

Apresentação do Projeto:

Estudo prospectivo para avaliar a incidência de eventos coronarianos agudos em pacientes portadores de neoplasias.

Objetivo da Pesquisa:

Avaliar a incidência de coronariopatias agudas em pacientes oncológicos.

Avaliação dos Riscos e Benefícios:

Não há risco adicional decorrente da pesquisa proposta.

Um possível beneficio é o estabelecimento de um escore de risco para eventos coronarianos agudos em pacientes portadores de neoplasias.

Comentários e Considerações sobre a Pesquisa:

Uma pesquisa interessante com importante aspecto translacional.

Considerações sobre os Termos de apresentação obrigatória:

Todos os termos de apresentação obrigatório estão anexados ao projeto proposto.

Recomendações:

Nada a recomendar.

Conclusões ou Pendências e Lista de Inadequações:

Projeto aprovado.

Endereço: DOUTOR ARNALDO 251 21º andar sala 36

Bairro: PACAEMBU CEP: 01.246-903

UF: SP Município: SAO PAULO

Telefone: (11)3893-4401 E-mail: cep.fm@usp.br

USP - FACULDADE DE MEDICINA DA UNIVERSIDADE 5 DE SÃO PAULO - FMUSP



Continuação do Parecer: 2.507.879

Considerações Finais a critério do CEP:

Este parecer foi elaborado baseado nos documentos abaixo relacionados:

| Tipo Documento | Arquivo | Postagem | Autor | Situação |
|--|---|------------------------|----------------------------|----------|
| Informações Básicas do Projeto | PB_INFORMAÇÕES_BÁSICAS_DO_P ROJETO_1067309.pdf | 07/02/2018 18:30:19 | | Aceito |
| Outros | Cadastro_pesquisa.pdf | 07/02/2018 18:29:47 | Ludhmila Abrahão Hajjar | Aceito |
| Outros | Declaracao_InCor.pdf | 07/02/2018 18:29:29 | Ludhmila Abrahão Hajjar | Aceito |
| TCLE / Termos de Assentimento / Justificativa de Ausência | Dispensa_TCLE.pdf | 07/02/2018 18:29:08 | Ludhmila Abrahão Hajjar | Aceito |
| Projeto Detalhado / Brochura Investigador | Projeto_Diego.docx | 07/02/2018 18:28:44 | Ludhmila Abrahão Hajjar | Aceito |
| Folha de Rosto | Folha_rosto.pdf | 07/02/2018 18:28:18 | Ludhmila Abrahão Hajjar | Aceito |

| Aprovado Necessita Apreciação | da CONEP: |
|----------------------------------|--|
| Não | SAO PAULO, 22 de Fevereiro de 2018 |
| | Assinado por: Maria Aparecida Azevedo Koike Folgueira (Coordenador) |

Endereço: DOUTOR ARNALDO 251 21° andar sala 36

CEP: 01.246-903

Bairro: PACAEMBU
UF: SP Munic
Telefone: (11)3893-4401 Município: SAO PAULO

E-mail: cep.fm@usp.br

ANEXO 2

Registro BRAVADO | REDCap 24/02/23 23:33

■ Data Dictionary Codebook

25/02/2023 02:33

| | Variable / Field Name | Field Label Field Note | Field Attributes (Field Type, Validation, Choices, Calculations, etc.) |
|--------|---|---------------------------------------|--|
| strume | nt: Identificação (identifi | cao) | |
| 1 | record_id | Record ID | text |
| 2 | centro | Nome do Centro | text, Required |
| 3 | none | Nome | text, Required, Identifier |
| 4 | registro_institui_o | Registro Instituição | text, Required, Identifier |
| 5 | dob | Data de nascimento | text (date_dmy), Required |
| 6 | idade | Idade | text (number), Required |
| 7 | endere_o | Endereço | text, Required |
| 8 | telefone_residencial | Telefone Residencial | text, Required |
| 9 | celular | Celular | text, Required |
| 10 | ensil1 | (mail | text |
| 11 | sexo | Sexo | radio (Matrix), Required 1 masculino 2 feminino |
| 12 | ra_a | Raça | radio (Matrix), Required 1 branco 2 amarelo 3 negro 4 mestiço 5 outro |
| 13 | identificao_complete | Section Header: Form Status Complete? | dropdown 0 Incomplete 1 Unverified 2 Complete |
| strume | nt: Dados Clnicos Antece | dentes (dados_clnicos_antecedentes) | |
| 14 | data_de_interna_o_9e18ca | Data de Internação | text (date_dmy), Required, Identifier |
| 15 | hor_rio_de_admiss_o_5a81 fb | Horário de Admissão | text (time) |
| 16 | proced_ncia_4e34b0 | Procedência | radio (Matrix), Required 1 Ambulatorial 2 Internado 3 Externo 4 Pronto-Socorro |
| 17 | motivo_de_interna_o_2cbl bc | Motivo de Internação | radio (Matrix), Required 1 DAC 2 Choque Séptico 3 Clínico (outro) 4 Cirúrgico |
| 18 | motivo_interna_o_cl_nica _o_b888c7 Show the field ONLY If. [motivo_de_interna_o_2cb1bc | Motivo Internação Clínica (Outro) | text |

| |] = '3' | · C | |
|----|--|---|--|
| 19 | data_cirurgia_90fcde Show the field ONLY if: [motivo_de_interna_o_2cb1bc] = '4' | Data Cirurgia | text (date_dmy) |
| 20 | procedimento_cir_rgico_8 64041 Show the field ONLY If: [motivo_de_interna_o_2cb1bc]='4' | Procedimento Cirúrgico | text |
| 21 | diabetes_863a4a | Diabetes | radio (Matrix), Required 1 DM - ID 2 DM - Não ID 3 Não |
| 22 | has_9b15c7 | HAS | radio (Matrix), Required 1 Sim 2 Não |
| 23 | hx_familiar_dac_precoce_ h_4aa6c7 | Hx Familiar DAC precoce (H < 55 M < 65) | radio (Matrix), Required 1 Sim 2 Não |
| 24 | tabagismo_e11ab2 | Tabagismo | radio (Matrix), Required 1 Atual 2 Prévio 3 Não |
| 25 | dislipidemia_843ffe | Dislipidemia | radio (Matrix), Required 1 Sim 2 Não |
| 26 | avc_ait_f35004 | AVC/AIT | radio (Matrix), Required 1 Sim 2 Não |
| 27 | dac_50_7ac5d4 | DAC (> 50%) | radio (Matrix), Required 1 Sim 2 Não |
| 28 | utilizou_aas_7_dias_e022 74 | Utilizou AAS (< 7 dias) | radio (Matrix), Required 1 Sim 2 Não |
| 29 | icc_6d19de | ICC | radio (Matrix), Required 1 Sim 2 Não |
| 30 | cf_d119df Show the field ONLY if: [icc_6d19de] = '1' | CF | radio (Matrix) 1 CF II 2 CF II 3 CF III 4 CF IV |
| 31 | iam_pr_vio_429cf4 | IAM prévio | radio (Matrix), Required 1 Recente (< 90 dias) 2 Tardio (> 90 dias) 3 Não |
| 32 | icp_pr_via_13a22a | ICP prévia | radio (Matrix), Required |

| | | | 2 Não |
|----|--------------------------------|---|---|
| 33 | crm_pr_via_618e97 | CRM prévia | radio (Matrix), Required 1 Sim 2 Não |
| 34 | irc_aec546 | IRC | radio (Matrix), Required 1 IRC dialítica 2 IRC não-dialítica 3 Não |
| 35 | hiv_aids_99396e | HIV/AIDS | yesno, Required 1 Yes 0 No |
| 36 | peso_921d3b | Peso | text (number) |
| 37 | altura_6c917f | Altura | text (number) |
| 38 | neoplasia | Neoplasia | checkbox 1 neoplasia1 Mama 2 neoplasia2 Gineco 3 neoplasia3 Prostata 4 neoplasia4 Colorr. 5 neoplasia5 Esôfago 6 neoplasia6 Estôm. 7 neoplasia7 Pulmão 8 neoplasia8 Vias Urin. 9 neoplasia9 Leucose 10 neoplasia10 Pele 11 neoplasia11 Biliar/H 12 neoplasia12 C/P |
| 39 | neoplasia_n_o_especifica da | Neoplasia (Não especificada no item anterior) | text |
| 40 | estadiamento_da_doen_a_o nc | Estadiamento da Doença Oncológica | radio (Matrix), Required 1 Ativa/Diagnóstico recente 2 Recidiva/Progressão 3 Sem evidência de doença |
| 41 | ecog | ECOG | radio (Matrix), Required 0 0 1 1 2 2 2 3 3 4 4 4 |
| 42 | karnofsky_performance_st at | Karnofsky Performance Status Scale | radio (Matrix), Required 100 100 90 90 80 80 70 70 60 60 50 50 40 40 30 30 |

| | | | | 20 20 10 10 0 0 |
|----------|------|--|--|--|
| | 43 | tto_medic_oncologico | Tratamento medicamentoso Oncológico ? | yesno, Required 1 Yes 0 No |
| | 44 | tto_medic_oncologico_nom | Qual? | checkbox |
| | | е | | 0 tto_medic_oncologico_nome0 Taxanos |
| | | Show the field ONLY if: | | 1 tto_medic_oncologico_nome1 5-Fluoracil |
| | | [tto_medic_oncologico] = '1' | | 2 tto_medic_oncologico_nome2 Capecitabina |
| | | | | 3 tto_medic_oncologico_nome3 Platina (Cisplatina / Oxaplatina) |
| | | | | 4 tto_medic_oncologico_nome4 Imatinibe |
| | | | | 5 tto_medic_oncologico_nome5 Dasatinibe |
| | | | | 6 tto_medic_oncologico_nome6 Nilotinibe |
| | | | | |
| | | | | |
| \vdash | | | | 8 tto_medic_oncologico_nome8 Hormonioterapi |
| | 45 | tto_medic_oncologico_out ro Show the field ONLY if: [tto_medic_oncologico] = '1' | Outros | text |
| | 46 | data_tto_medic_oncologic o Show the field ONLY if: [tto_medic_oncologico] = '1' | Data do ültimo Ciclo | text (date_dmy) |
| | 47 | radioterapia_mediastinal | Radioterapia Mediastinal | radio (Matrix) 1 Atual 2 Prévia (> 30 dias) 3 Não |
| | 48 | dados_clnicos_antecedent es_complete | Section Header: Form Status Complete? | dropdown 0 Incomplete 1 Unverified 2 Complete |
| | 49 | dose_radiacao Show the field ONLY if: [radioterapia_mediastinal] = ' 1' or [radioterapia_mediastina I] = '2' | Dose radiação Gy | text (number) |
| Inst | rume | nt: Tratamento Medicam | nentoso Admissão (tratamento_medicamentoso_adi | nisso) |
| | 50 | antiagrega_o | Antiagregação | checkbox |
| | | | | 1 antiagrega_o1 AAS |
| | | | | 2 antiagrega_o2 Clopidogrel |
| | | | | 3 antiagrega_o3 Prasugrel |
| | | | | 4 antiagrega_o4 Ticagrelor |
| | 51 | antiagrega_o_outros | Antiagregação (Outros) | text |
| | 52 | anticoagula_o | Anticoagulação | checkbox |
| | | | | 1 anticoagula_o1 HNF |
| | | | | 2 anticoagula_o2 Enoxaparina |
| | | | | 3 anticoagula_o3 Não |
| | | | | 4 anticoagula_o4 Varfarina (prévio) |
| 1. | | 1 | 1 | |

| T | Î | | | 5 anticoagula_o5 Rivaroxa. |
|------|--------|--------------------------------------|---------------------------------|--|
| | | | | 6 anticoagula_o6 Dabigatra. |
| | | | | 7 anticoagula_o7 Apixabana |
| - | 53 | nitrato | Vasodilatador | checkbox |
| | 33 | nitrato | Vasodilatador | 1 nitrato_1 Nitrato |
| | | | | 2 nitrato_2 IECA |
| | | | | 3 nitrato_3 BRA |
| | | | | 4 nitrato4 Não |
| - | | F 79 | 1200 S | and the second s |
| | 54 | estatina | Estatina | radio (Matrix) |
| | | | | 2 Não |
| - | 100000 | TO GODE | | |
| | 55 | b_bloqueador | B-bloqueador | radio (Matrix) |
| | | | | 2 Não |
| | | Walsh Children and Burn and Children | | The second secon |
| | 56 | bloqueador_de_canal_de_c _l | Bloqueador de Canal de Cálcio | radio (Matrix) |
| | | | | 1 Sim |
| | | | | 2 Não |
| | 57 | furosemida | Furosemida | radio (Matrix) |
| | | | | 1 Sim |
| 8 | S . | | | 2 Não |
| | 58 | contra_indica_o_aas | Contra-Indicação : AAS | radio (Matrix) |
| | | | | 1 Não |
| | | | | 2 Plaquetopenia |
| | | | | 3 Sangramento ativo |
| | | | | 4 Úlcera ativa |
| | | | | 5 Coagulopatia |
| | | | | 6 Alergia |
| | | | | 7 Outro |
| | 59 | contra_indica_o_b_bloque | Contra-Indicação : B-bloqueador | radio (Matrix) |
| | | ad | | 1 Não |
| | | | | 2 Bradicardia |
| | | | | 3 BAV Avançado |
| | | | | 4 Hipotensão |
| | | | | 5 DPOC/Asma |
| | | | | 6 Congestão refratária |
| | | | | 7 Choque |
| | | | | 8 Outro |
| | 60 | contra_indica_o_ieca_bra | Contra-Indicação : IECA/BRA | radio (Matrix) |
| | | | | 1 Não |
| | | | | 2 Insuficiência renal |
| | | | | 3 Hipercalemia |
| | | | | 4 Hipotensão |
| | | | | 5 Alergia |
| | | | | 6 Outro |
| | 61 | contra_indica_o_estatina | Contra-indicação : Estatina | radio (Matrix) |
| | | | | 1 Não |
| | | | | 2 Aumento de CPK |
| de s | la a | | Į. | 3 Aumento transaminases |

| 383 | | | 4 Outro |
|------|--|-----------------------------|---------------------------------------|
| 62 | tratamento_medicamentoso | Section Header: Form Status | dropdown |
| | _admisso_complete | Complete? | 0 Incomplete |
| | | | 1 Unverified |
| | | | 2 Complete |
| trum | ent: Escores Cinicos (escor | res_clnicos) | |
| 63 | timi_risk_iamsst | TIMI Risk IAMSST | text (number) |
| 64 | grace | Grace | text (number) |
| 65 | timi_risk_iamcsst | TIMI Risk IAMCSST | text (number) |
| 66 | escores_clnicos_complete | Section Header: Form Status | dropdown |
| | | Complete? | 0 Incomplete |
| | | | 1 Unverified |
| | | | 2 Complete |
| trum | ent: Diagnóstico (diagnstic | 0) | |
| 67 | diagn_stico | Diagnóstico | radio (Matrix) |
| | | | 1 Angina Instável Baixo Risco |
| | | | 2 Angina Instável Mod/Alto Risco |
| | | | 3 IAMSST |
| | | | 4 IAMCSST |
| | | | 5 DAC (Estável) |
| 68 | quadro_cl_nico | Quadro Clínico | checkbox |
| | 444410_01_1120 | quadro cimies | 1 quadro_cl_nico1 Assinto. |
| | | | 2 quadro_cl_nico2 Dor Típica |
| | | | 3 quadro_cl_nico3 Dor Atípica |
| | | | 4 quadro_cl_nico4 Dispnéia |
| | | | 5 quadro_cl_nico5 EAP |
| | | | 6 quadro_cl_nico6 Síncope |
| | | | 7 quadro_cl_nico7 Morte Súbita Rever. |
| | | | 8 quadro_cl_nico8 Choque |
| | | | 9 quadro_cl_nico9 Outros |
| | | | 10 quadro_cl_nico10 TV |
| | 1111111 | Dell's | |
| 69 | killip1 | Killip | radio (Matrix) |
| | | | 2 2 |
| | | | 3 3 |
| | | | 4 4 |
| | | | 0 (100.) |
| 70 | iam_supra_local | IAM com Supra Localização | checkbox |
| | Show the field ONLY if: [diagn_stico] = '4' | | 0 iam_supra_local0 Anterior |
| | [clidgit_stico] = 4 | | 1 iam_supra_local1 ântero-lateral |
| | | | 2 iam_supra_local2 Inferior |
| | | | 3 iam_supra_local3 VD |
| | | | 4 iam_supra_local4 infero-dorsal |
| | | | 5 iam_supra_local5 Lateral |
| | | | 6 iam_supra_local6 BRD |
| 1 | | | 7 iam_supra_local7 BRE |
| | | İ | D = 12 |
| | | | 8 iam_supra_local8 BAV avançado |

| | 72 | Show the field ONLY If: [diagn_stico] = '4' diagnstico_complete | Section Header: Form Status Complete? | 0 tto_iam_supra0 Intervenção coronária percutânea (ICP) primária 1 tto_iam_supra1 Fármaco-invasiva precoce (cate < 24hs) 2 tto_iam_supra2 ICP resgate 3 tto_iam_supra3 Trombólise com cate > 24hs 4 tto_iam_supra4 Trombólise isolada 5 tto_iam_supra5 Nenhum dropdown 0 Incomplete 1 Unverified 2 Complete |
|-----------|------|--|--|---|
| Inst | rume | nt: Função Ventricular (| funo_ventricular) | - |
| | 73 | realizado_avalia_o_de_fu n | Realizado avaliação de função? | yesno 1 Yes 0 No |
| | 74 | data_do_exame Show the field ONLY if: [realizado_avalia_o_de_fun] = '1' | Data do exame? | text (date_dmy) |
| | 75 | m_todo_avalia_o Show the field ONLY if: [realizado_avalia_o_de_fun] = '1' | Método Avaliação | radio (Matrix) 1 ECOTT 2 Ventriculografia (CATE) 3 GATED (Cintilografia) 4 Outro 5 Ressonância Cardíaca |
| | 76 | fracao_de_ejecao Show the field ONLY if: [realizado_avalia_o_de_fun] = '1' | Função Ventricular % | text (number) |
| | 77 | funo_ventricular_complet e | Section Header: Form Status Complete? | dropdown 0 Incomplete 1 Unverified 2 Complete |
| Inst | rume | nt: Laboratrio Perfil Hen | nodinmico (laboratrio_perfil_hemodinmico) | |
| | 78 | data_coleta | Data Coleta | text (datetime_dmy) |
| | 79 | droga_vasoativa_0 | Suporte Hemodinâmico (Drogas + Dispositivos) | checkbox 1 droga_vasoativa_01 Noradrenalina 2 droga_vasoativa_02 Vasopressina 3 droga_vasoativa_03 Dobutamina 4 droga_vasoativa_04 BIA 5 droga_vasoativa_05 ECMO 6 droga_vasoativa_06 Não |
| | 80 | troponina_d1 | Troponina D1 | text (number) |
| Ш | 81 | troponina_d2 | Troponina D2 | text (number) |
| \square | 82 | troponina_d3 | Troponina D3 | text (number) |
| \vdash | 83 | troponina_d7 | Troponina D7/Alta Hospitalar | text (number) |
| \square | 84 | ckmb_d1 | Ckmb D1 | text (number) |
| \vdash | 85 | ckmb_d2 | Ckmb D2 | text (number) |

| 86 | ckmb_d3 | Ckmb D3 | text (number) |
|-----|-------------------|-----------------------------------|---------------|
| 87 | ckmb_d7 | Ckmb D7/Alta Hospitalar | text (number) |
| 88 | cpk_d1 | CPK D1 | text (number) |
| 89 | cpk_d2 | CPK D2 | text (number) |
| 90 | cpk_d3 | CPK D3 | text (number) |
| 91 | cpk_d7 | CPK D7/Alta Hospitalar | text (number) |
| 92 | creatinina_d1 | Creatinina D1 | text (number) |
| 93 | creatinina_d2 | Creatinina D2 | text (number) |
| 94 | creatinina_d3 | Creatinina D3 | text (number) |
| 95 | creatinina_d7 | Creatinina D7/Alta Hospitalar | text (number) |
| 96 | ureia_d1 | Uréia D1 | text (number) |
| 97 | ureia_d2 | Uréia D2 | text (number) |
| 98 | ureia_d3 | Uréia D3 | text (number) |
| 99 | ureia_d7 | Uréia D7/Alta Hospitalar | text (number) |
| 100 | hemoglobina_d1 | Hemoglobina D1 | text (number) |
| 101 | hemoglobina_d2 | Hemoglobina D2 | text (number) |
| 102 | hemoglobina_d3 | Hemoglobina D3 | text (number) |
| 103 | hemoglobina_d7 | Hemoglobina D7/Alta Hospitalar | text (number) |
| 104 | plaquetas_d1 | Plaquetas D1 | text (number) |
| 105 | plaquetas_d2 | Plaquetas D2 | text (number) |
| 106 | plaquetas_d3 | Plaguetas D3 | text (number) |
| 107 | plaquetas_d7 | Plaquetas D7/Alta Hospitalar | text (number) |
| 108 | bnp_d1 | BNP D1 | text (number) |
| 109 | bnp_d2 | BNP D2 | text (number) |
| 110 | bnp_d3 | BNP D3 | text (number) |
| 111 | bnp_7 | BNP D7/Alta Hospitalar | text (number) |
| 112 | nt_probnp_d1 | NT-proBNP D1 | text (number) |
| 113 | nt_probnp_d2 | NT-proBNP D2 | text (number) |
| 114 | nt_probnp_d3 | NT-proBNP D3 | text (number) |
| 115 | nt_probnp_d7 | NT-proBNP D7/Alta Hospitalar | text (number) |
| 116 | ttpa_d1 | TTPA D1 | text (number) |
| 117 | ttpa_d2 | TTPA D2 | text (number) |
| 118 | ttpa_d3 | TTPA D3 | text (number) |
| 119 | ttpa_7 | TTPA D7/Alta Hospitalar | text (number) |
| 120 | inr_d1 | INR D1 | text (number) |
| 121 | inr_d2 | INR D2 | text (number) |
| 122 | inr_d3 | INR D3 | text (number) |
| 123 | inr_d7 | INR D7/Alta Hospitalar | text (number) |
| 124 | hdl | HDL | text (number) |
| 125 | ldl | LDL | text (number) |
| 126 | n_o_hdl | Não-HDL | text (number) |
| 127 | ct | Colesterol Total | text (number) |
| 128 | triglic_rides | Triglicérides | text (number) |
| 129 | hba1c | HbA1c | text (number) |
| 130 | glicemia_jejum_d1 | Glicemia Jejum D1 | text (number) |
| 131 | glicemia_jejum_d2 | Glicemia Jejum D2 | text (number) |
| 132 | glicemia_jejum_d3 | Glicemia Jejum D3 | text (number) |
| 133 | glicemia_jejum_d7 | Glicemia Jejum D7/Alta Hospitalar | text (number) |

| 134 | pcr_d1 | PCR D1 | text (number) |
|-------|--|---|--|
| 135 | pcr_d2 | PCR D2 | text (number) |
| 136 | pcr_d3 | PCR D3 | text (number) |
| 137 | pcr_d7 | PCR D7/Alta Hospitalar | text (number) |
| 138 | laboratrio_perfil_hemodi nmico_complete | Section Header: Form Status Complete? | dropdown 0 Incomplete 1 Unverified 2 Complete |
| trume | nt: Revascularização Cor | ronária (revascularizao_coronria) | |
| 139 | fez_cate | Realizou cateterismo cardíaco | yesno 1 Yes 0 No |
| 140 | data_cate Show the field ONLY if: [fez_cate] = '1' | Data do cateterismo cardíaco | text (date_dmy) |
| 141 | angioct_y_n | Realizou angiotomografia de coronárias | yesno 1 Yes 0 No |
| 142 | data_angio_ct_coronarias Show the field ONLY if: [angioct_y_n] = '1' | Data da Angio tomografia de coronárias | text (date_dmy) |
| 143 | padrao_dac | Padrão da doença arterial coronária | checkbox padrao_dac0 sem lesões obstrutivas padrao_dac1 com lesões discretas (< 50%) padrao_dac2 Doença significativa (>=50%) em Tronco de Coronária Esquerda padrao_dac3 Doença significativa (>=50%) em DA proximal padrao_dac4 Doença significativa (>=50%) em DA médio e/ou distal e/ ramos padrao_dac5 Doença significativa (>=50%) em CX e/ou ramos padrao_dac6 Doença significativa (>=50%) em CD e/ou ramos |
| 144 | tto_dac | Tratamento Escolhido para Doença Arterial Coronária | radio 0 Tratamento Medicamentoso Isolado 1 Intervenção Coronária Percutânea 2 Cirurgia de Revascularização Miocárdica 3 Híbirido (Intervenção Coronária Percutânea + Cirurgia de Revascularização Miocárdica) |
| 145 | data_rm | Data da cirurgia | text (date_dmy) |
| 146 | enxertos_arteriais | Número de enxertos cirúrgicos arteriais | text (integer, Min: 0, Max: 5) |
| 147 | enxertos_venosos | Número de enxertos cirúrgicos venosos | text (integer, Min: 0, Max: 5) |
| 148 | cec_y_n | Uso de CEC | yesno 1 Yes 0 No |
| 149 | data_da_icp Show the field ONLY if: [tto_dac] = '1' or [tto_dac] = '3' | Data da ICP | text (date_dmy) |

| 150 | via_de_acesso | Via de acesso | checkbox |
|-----|--|---|---|
| | Show the field ONLY if: | | 1 via_de_acesso1 Radial Direita |
| | [tto_dac] = '1' or [tto_dac] = '3' | | 2 via_de_acesso2 Radial Esquerda |
| | | | 3 via_de_acesso3 Ulnar Direita |
| | | | 4 via_de_acesso4 FemoralDireita |
| | | | 5 via_de_acesso5 Femoral Esquerda |
| | | | |
| 151 | calibre_introdutor | Maior Calibre Introdutor Utilizado | checkbox |
| | Show the field ONLY if: [tto_dac] = '1' or [tto_dac] = '3' | | 1 calibre_introdutor1 5Fr |
| | [tto_dac] = 1 or [tto_dac] = 3 | | 2 calibre_introdutor2 6fr |
| | | | 3 calibre_introdutor3 7Fr |
| | | | 4 calibre_introdutor4 8Fr |
| 152 | territorios_tratados | Territórios Tratados | checkbox |
| | Show the field ONLY if: | | 1 territorios_tratados1 CD proximal |
| | [tto_dac] = '1' or [tto_dac] = '3' | | 2 territorios_tratados2 CD médio |
| | | | 3 territorios_tratados3 CD distal |
| | | | 4 territorios_tratados4 DP |
| | | | 5 territorios_tratados5 VP |
| | | | 6 territorios_tratados6 TCE |
| | | | 7 territorios_tratados7 DA prox |
| | | | 8 territorios_tratados8 DA med |
| | | | 9 territorios_tratados9 DA distal |
| | | | 10 territorios_tratados10 Diagonal |
| | | | 11 territorios_tratados11 CX proxmal |
| | | | 12 territorios_tratados12 CX distal |
| | | | 13 territorios_tratados13 Marginais |
| | | | 14 territorios_tratados14 Enxerto Venoso |
| | | | 15 territorios tratados 15 Mamária |
| | | | 16 territorios_tratados16 Diagonalis |
| | | | |
| 453 | 4- 4 (-4 | Lies de les sem later resulter (NAISCOCT) | |
| 153 | uso_de_imagem_intravascu la | Uso de Imagem Intravascular (IVUS/OCT) | yesno |
| 153 | la | Uso de Imagem Intravascular (IVUS/OCT) | yesno 1 Yes |
| 153 | | Uso de imagem intravascular (IVUS/OCT) | yesno |
| 153 | la Show the field ONLY if: [tto_dac] = '1' or [tto_dac] = '3' | Uso de imagem intravascular (IVUS/OCT) Número total de Stents Utilizados | yesno 1 Yes |
| | la Show the field ONLY if: [tto_dac] = '1' or [tto_dac] = '3' | | yesno 1 Yes 0 No |
| | la Show the field ONLY if: [tto_dac] = '1' or [tto_dac] = '3' numero_total_de_stents_u ti componentes_de_complexid | | yesno 1 Yes 0 No text (integer, Min: 0, Max: 20) |
| 154 | la Show the field ONLY If: [tto_dac] = '1' or [tto_dac] = '3' numero_total_de_stents_u ti componentes_de_complexid ad | Número total de Stents Utilizados | yesno 1 Yes 0 No text (integer, Min: 0, Max: 20) checkbox 1 componentes_de_complexidad1 Bifurcação |
| 154 | la Show the field ONLY If: [tto_dac] = '1' or [tto_dac] = '3' numero_total_de_stents_u ti componentes_de_complexid ad Show the field ONLY If: | Número total de Stents Utilizados | yesno 1 Yes 0 No text (integer, Min: 0, Max: 20) checkbox 1 componentes_de_complexidad1 Bifurcação com 2 stent |
| 154 | la Show the field ONLY If: [tto_dac] = '1' or [tto_dac] = '3' numero_total_de_stents_u ti componentes_de_complexid ad | Número total de Stents Utilizados | yesno 1 Yes 0 No text (integer, Min: 0, Max: 20) checkbox 1 componentes_de_complexidad1 Bifurcação |
| 154 | la Show the field ONLY If: [tto_dac] = '1' or [tto_dac] = '3' numero_total_de_stents_u ti componentes_de_complexid ad Show the field ONLY If: | Número total de Stents Utilizados | yesno 1 Yes 0 No text (integer, Min: 0, Max: 20) checkbox 1 componentes_de_complexidad1 Bifurcação com 2 stent 2 componentes_de_complexidad2 Comprimer |
| 154 | la Show the field ONLY If: [tto_dac] = '1' or [tto_dac] = '3' numero_total_de_stents_u ti componentes_de_complexid ad Show the field ONLY If: | Número total de Stents Utilizados | yesno 1 Yes 0 No text (integer, Min: 0, Max: 20) checkbox 1 componentes_de_complexidad1 Bifurcação com 2 stent 2 componentes_de_complexidad_2 Comprimer total de stents>60m 3 componentes_de_complexidad_3 Tratamento |
| 154 | la Show the field ONLY If: [tto_dac] = '1' or [tto_dac] = '3' numero_total_de_stents_u ti componentes_de_complexid ad Show the field ONLY If: | Número total de Stents Utilizados | yesno 1 Yes 0 No text (integer, Min: 0, Max: 20) checkbox 1 componentes_de_complexidad1 Bifurcação com 2 stent 2 componentes_de_complexidad2 Comprimer total de stents>60m 3 componentes_de_complexidad3 Tratamento de Oclusão |
| 154 | la Show the field ONLY If: [tto_dac] = '1' or [tto_dac] = '3' numero_total_de_stents_u ti componentes_de_complexid ad Show the field ONLY If: | Número total de Stents Utilizados | yesno 1 Yes 0 No text (integer, Min: 0, Max: 20) checkbox 1 componentes_de_complexidad1 Bifurcação com 2 stent 2 componentes_de_complexidad2 Comprimer total de stents>60m 3 componentes_de_complexidad3 Tratamento de Oclusão Crônica |
| 154 | la Show the field ONLY If: [tto_dac] = '1' or [tto_dac] = '3' numero_total_de_stents_u ti componentes_de_complexid ad Show the field ONLY If: | Número total de Stents Utilizados | yesno 1 Yes 0 No text (integer, Min: 0, Max: 20) checkbox 1 componentes_de_complexidad1 Bifurcação com 2 stent 2 componentes_de_complexidad2 Comprimer total de stents>60m 3 componentes_de_complexidad3 Tratamento de Oclusão |
| 154 | la Show the field ONLY If: [tto_dac] = '1' or [tto_dac] = '3' numero_total_de_stents_u ti componentes_de_complexid ad Show the field ONLY If: | Número total de Stents Utilizados | yesno 1 Yes 0 No text (integer, Min: 0, Max: 20) checkbox 1 componentes_de_complexidad1 Bifurcação com 2 stent 2 componentes_de_complexidad2 Comprimer total de stents>60m 3 componentes_de_complexidad3 Tratamento de Oclusão Crônica 4 componentes_de_complexidad4 Uso de |
| 154 | la Show the field ONLY If: [tto_dac] = '1' or [tto_dac] = '3' numero_total_de_stents_u ti componentes_de_complexid ad Show the field ONLY If: | Número total de Stents Utilizados | yesno 1 Yes 0 No text (integer, Min: 0, Max: 20) checkbox 1 componentes_de_complexidad1 Bifurcação com 2 stent 2 componentes_de_complexidad2 Comprimer total de stents>60m 3 componentes_de_complexidad3 Tratamento de Oclusão Crônica 4 componentes_de_complexidad4 Uso de Aterectomia |
| 154 | la Show the field ONLY If: [tto_dac] = '1' or [tto_dac] = '3' numero_total_de_stents_u ti componentes_de_complexid ad Show the field ONLY If: [tto_dac] = '1' or [tto_dac] = '3' | Número total de Stents Utilizados Componentes de Complexidade | yesno 1 Yes 0 No text (integer, Min: 0, Max: 20) checkbox 1 componentes_de_complexidad1 Bifurcação com 2 stent 2 componentes_de_complexidad2 Comprimer total de stents>60m 3 componentes_de_complexidad3 Tratamento de Oclusão Crônica 4 componentes_de_complexidad4 Uso de Aterectomia Rotacional |
| 154 | la Show the field ONLY If: [tto_dac] = '1' or [tto_dac] = '3' numero_total_de_stents_u ti componentes_de_complexid ad Show the field ONLY If: [tto_dac] = '1' or [tto_dac] = '3' | Número total de Stents Utilizados Componentes de Complexidade | yesno 1 Yes 0 No text (integer, Min: 0, Max: 20) checkbox 1 componentes_de_complexidad1 Bifurcação com 2 stent 2 componentes_de_complexidad2 Comprimer total de stents>60m 3 componentes_de_complexidad3 Tratamento de Oclusão Crônica 4 componentes_de_complexidad4 Uso de Aterectomia Rotacional |
| 154 | la Show the field ONLY If: [tto_dac] = '1' or [tto_dac] = '3' numero_total_de_stents_u ti componentes_de_complexid ad Show the field ONLY If: [tto_dac] = '1' or [tto_dac] = '3' | Número total de Stents Utilizados Componentes de Complexidade | yesno 1 Yes 0 No text (integer, Min: 0, Max: 20) checkbox 1 componentes_de_complexidad1 Bifurcação com 2 stent 2 componentes_de_complexidad2 Comprimer total de stents>60m 3 componentes_de_complexidad3 Tratamento de Oclusão Crônica 4 componentes_de_complexidad4 Uso de Aterectomia Rotacional yesno 1 Yes |

| | | | 1 suporte_hemodinamico1 BIA 2 suporte_hemodinamico2 Impela |
|---------|--------------------------------------|---|---|
| | | | 3 suporte_hemodinamico3 Nenhum |
| 158 | revascularizao_coronria_ complete | Section Header: Form Status Complete? | dropdown 0 Incomplete 1 Unverified 2 Complete |
| Instrum | ent: Tratamento Medicam | i nentoso Na Alta Hospitalar (tratamento_medicam | nentoso_na_alta_hospitalar) |
| 159 | antiagrega_o_v2 | Antiagregação | checkbox 1 antiagrega_o_v21 AAS 2 antiagrega_o_v22 Clopidogrel |
| | | | 3 antiagrega_o_v23 Prasugrel 4 antiagrega_o_v24 Ticagrelor |
| 160 | antiagrega_o_outros_v2 | Antiagregação (Outros) | text |
| 161 | anticoagula_o_v2 | Anticoagulação | checkbox 1 anticoagula_o_v21 HNF 2 anticoagula_o_v22 Enoxaparina 3 anticoagula_o_v23 Não 4 anticoagula_o_v24 Varfarina (prévio) 5 anticoagula_o_v25 Rivaroxa. 6 anticoagula_o_v26 Dabigatra. 7 anticoagula_o_v27 Apixabana |
| 162 | nitrato_v2 | Vasodilatador | checkbox 1 nitrato_v21 Nitrato 2 nitrato_v22 IECA 3 nitrato_v23 BRA 4 nitrato_v24 Não |
| 163 | estatina_v2 | Estatina | radio (Matrix) 1 Sim 2 Não |
| 164 | b_bloqueador_v2 | B-bloqueador | radio (Matrix) 1 Sim 2 Não |
| 165 | bloqueador_de_canal_de_c _l_v2 | Bloqueador de Canal de Cálcio | radio (Matrix) 1 Sim 2 Não |
| 166 | furosemida_v2 | Furosemida | radio (Matrix) 1 Sim 2 Não |
| 167 | outros_medicamentos_alta | Outros (Medicamentos Alta) | text |
| 168 | contra_indica_o_aas_v2 | Contra-Indicação : AAS | radio (Matrix) 1 Não 2 Plaquetopenia 3 Sangramento ativo 4 Úlcera ativa 5 Coagulopatia 6 Alergia |

| | | | | 7 Outro |
|-------|--------------------------|--|---|--|
| 88 | 169 | contra_indica_o_b_bloque | Contra-Indicação : B-bloqueador | radio (Matrix) |
| | | ad_v2 | | 1 Não |
| | | | | 2 Bradicardia |
| | | | | 3 BAV Avançado |
| | | | | 4 Hipotensão |
| | | | | 5 DPOC/Asma |
| | | | | 6 Congestão refratária |
| | | | | 7 Choque |
| | | | | 8 Outro |
| - | 170 | contra_indica_o_ieca_bra | Contra-Indicação : IECA/BRA | radio (Matrix) |
| | 1,70 | _v2 | Contra-marcação . IECA DIO | 1 Não |
| | | | | 2 Insuficiência renal |
| | | | | 3 Hipercalemia |
| | | | | 4 Hipotensão |
| | | | | 5 Alergia |
| | | | | 6 Outro |
| 4 | Particol Co. | | | VIEW 200 PROCESSOR OF THE PROCESSOR OF T |
| 8 | 171 | contra_indica_o_estatina _v2 | Contra-indicação : Estatina | radio (Matrix) |
| | | | | 1 Não |
| | | | | 2 Aumento de CPK |
| - 1 | | | | 3 Aumento transaminases |
| | | | | 4 Outro |
| | | | | |
| - | 172 | tratamento_medicamentoso | NO. A CONTRACTOR AND CONTRACTOR | dropdown |
| | 172 | _na_alta_hospitalar_compl | Section Header: Form Status Complete? | dropdown 0 Incomplete |
| | 172 | | | |
| | 172 | _na_alta_hospitalar_compl | | 0 Incomplete |
| | | _na_alta_hospitalar_compl ete | | 0 Incomplete 1 Unverified |
| nstr | | _na_alta_hospitalar_compl ete | Complete? | 0 Incomplete 1 Unverified |
| nstr | ume | _na_alta_hospitalar_compl ete nt: Desfechos da Interna | Complete? IÇÃO (desfechos_da_internao) | 0 Incomplete 1 Unverified 2 Complete |
| nstr | rume 173 | _na_alta_hospitalar_compl ete nt: Desfechos da Interna data_alta | Complete? IÇÃO (desfechos_da_internao) Data Alta | 0 Incomplete 1 Unverified 2 Complete text (date_dmy) |
| nstr | rume 173 | _na_alta_hospitalar_compl ete nt: Desfechos da Interna data_alta | Complete? IÇÃO (desfechos_da_internao) Data Alta | 0 incomplete 1 Unverified 2 Complete text (date_dmy) yesno |
| nstr | rume 173 174 | _na_alta_hospitalar_compl ete nt: Desfechos da Interna data_alta bito_interna_o | Complete? CÃO (desfechos_da_internao) Data Alta Óbito Internação | 0 Incomplete 1 Unverified 2 Complete text (date_dmy) yesno 1 Yes 0 No |
| nstr | rume 173 | _na_alta_hospitalar_complete nt: Desfechos da Interna data_alta bito_interna_o data_bito | Complete? IÇÃO (desfechos_da_internao) Data Alta | 0 incomplete 1 Unverified 2 Complete text (date_dmy) yesno 1 Yes |
| nstr | rume 173 174 | _na_alta_hospitalar_compl ete nt: Desfechos da Interna data_alta bito_interna_o | Complete? CÃO (desfechos_da_internao) Data Alta Óbito Internação | 0 Incomplete 1 Unverified 2 Complete text (date_dmy) yesno 1 Yes 0 No |
| nstro | rume 173 174 | _na_alta_hospitalar_complete nt: Desfechos da Interna data_alta bito_interna_o data_bito Show the field ONLY if: | Complete? CÃO (desfechos_da_internao) Data Alta Óbito Internação | 0 Incomplete 1 Unverified 2 Complete text (date_dmy) yesno 1 Yes 0 No |
| nstro | 173 174 | _na_alta_hospitalar_complete nt: Desfechos da Interna data_alta bito_interna_o data_bito Show the field ONLY if: [bito_interna_o] = '1' | Complete? CÃO (desfechos_da_internao) Data Alta Óbito Internação Data Óbito | 0 incomplete 1 Unverified 2 Complete text (date_dmy) yesno 1 Yes 0 No text (date_dmy) |
| nstro | 173 174 | _na_alta_hospitalar_complete nt: Desfechos da Interna data_alta bito_interna_o data_bito Show the field ONLY if: [bito_interna_o] = '1' | Complete? CÃO (desfechos_da_internao) Data Alta Óbito Internação Data Óbito | 0 incomplete 1 Unverified 2 Complete text (date_dmy) yesno 1 Yes 0 No text (date_dmy) |
| nstro | 173 174 175 | _na_alta_hospitalar_complete nt: Desfechos da Interna data_alta bito_interna_o data_bito Show the field ONLY if: [bito_interna_o] = '1' interna_o_em_uti | Complete? IÇÃO (desfechos_da_internao) Data Alta Óbito Internação Data Óbito Internação em UTI | 0 incomplete 1 Unverified 2 Complete text (date_dmy) yesno 1 Yes 0 No text (date_dmy) radio (Matrix) 1 Sim 2 Não |
| nstre | 173 174 | _na_alta_hospitalar_complete nt: Desfechos da Interna data_alta bito_interna_o data_bito Show the field ONLY if: [bito_interna_o] = '1' | Complete? CÃO (desfechos_da_internao) Data Alta Óbito Internação Data Óbito | text (date_dmy) yesno 1 Yes 0 No text (date_dmy) yesno 1 Yes 0 No text (date_dmy) radio (Matrix) radio (Matrix) |
| nstre | 173 174 175 | _na_alta_hospitalar_complete nt: Desfechos da Interna data_alta bito_interna_o data_bito Show the field ONLY if: [bito_interna_o] = '1' interna_o_em_uti | Complete? IÇÃO (desfechos_da_internao) Data Alta Óbito Internação Data Óbito Internação em UTI | O Incomplete 1 Unverified 2 Complete |
| nstri | 173 174 175 176 | _na_alta_hospitalar_complete nt: Desfechos da Interna data_alta bito_interna_o data_bito Show the field ONLY if: [bito_interna_o] = 1' interna_o_em_uti readmiss_o_em_uti | Complete? IÇÃO (desfechos_da_internao) Data Alta Óbito Internação Data Óbito Internação em UTI Readmissão em UTI | text (date_dmy) yesno 1 Yes 0 No text (date_dmy) radio (Matrix) 1 Sim 2 Não radio (Matrix) 1 Sim 2 Não |
| nstri | 173 174 175 | _na_alta_hospitalar_complete nt: Desfechos da Interna data_alta bito_interna_o data_bito Show the field ONLY if: [bito_interna_o] = '1' interna_o_em_uti | Complete? IÇÃO (desfechos_da_internao) Data Alta Óbito Internação Data Óbito Internação em UTI | text (date_dmy) yesno 1 Yes 0 No text (date_dmy) radio (Matrix) 1 Sim 2 Não yesno 2 Não yesno |
| nstri | 173 174 175 176 | _na_alta_hospitalar_complete nt: Desfechos da Interna data_alta bito_interna_o data_bito Show the field ONLY if: [bito_interna_o] = 1' interna_o_em_uti readmiss_o_em_uti | Complete? IÇÃO (desfechos_da_internao) Data Alta Óbito Internação Data Óbito Internação em UTI Readmissão em UTI | text (date_dmy) yesno 1 Yes 0 No text (date_dmy) radio (Matrix) 1 Sim 2 Não yesno 1 Yes 1 Vas 2 Não yesno 1 Yes 1 Vas 2 Não yesno 1 Yes |
| nstri | 173 174 175 176 | _na_alta_hospitalar_complete nt: Desfechos da Interna data_alta bito_interna_o data_bito Show the field ONLY If: [bito_interna_o] = '1' interna_o_em_uti readmiss_o_em_uti | Complete? IÇÃO (desfechos_da_internao) Data Alta Óbito Internação Data Óbito Internação em UTI Readmissão em UTI IRA com necessidade de diálise ? | text (date_dmy) yesno 1 Yes 0 No text (date_dmy) radio (Matrix) 1 Sim 2 Não radio (Matrix) 1 Sim 2 Não yesno 1 Yes 0 No |
| nstri | 173 174 175 176 | _na_alta_hospitalar_complete nt: Desfechos da Interna data_alta bito_interna_o data_bito Show the field ONLY if: [bito_interna_o] = 1' interna_o_em_uti readmiss_o_em_uti | Complete? IÇÃO (desfechos_da_internao) Data Alta Óbito Internação Data Óbito Internação em UTI Readmissão em UTI | text (date_dmy) yesno 1 Yes 0 No text (date_dmy) radio (Matrix) 1 Sim 2 Não radio (Matrix) 1 Sim 2 Não yesno 1 Yes 0 No yesno 1 Yes 0 No |
| nstri | 173 174 175 176 | _na_alta_hospitalar_complete nt: Desfechos da Interna data_alta bito_interna_o data_bito Show the field ONLY If: [bito_interna_o] = '1' interna_o_em_uti readmiss_o_em_uti | Complete? IÇÃO (desfechos_da_internao) Data Alta Óbito Internação Data Óbito Internação em UTI Readmissão em UTI IRA com necessidade de diálise ? | text (date_dmy) yesno 1 Yes 0 No text (date_dmy) radio (Matrix) 1 Sim 2 Não radio (Matrix) 1 Sim 2 Não yesno 1 Yes 0 No |
| nstri | 173 174 175 176 | _na_alta_hospitalar_complete nt: Desfechos da Interna data_alta bito_interna_o data_bito Show the field ONLY If: [bito_interna_o] = '1' interna_o_em_uti readmiss_o_em_uti | Complete? IÇÃO (desfechos_da_internao) Data Alta Óbito Internação Data Óbito Internação em UTI Readmissão em UTI IRA com necessidade de diálise ? Sangramento maior Type 3: clinical, laboratory, and/or imaging evidence of bleeding, with healthcare provider responses: | text (date_dmy) yesno 1 Yes 0 No text (date_dmy) radio (Matrix) 1 Sim 2 Não radio (Matrix) 1 Sim 2 Não yesno 1 Yes 0 No yesno 1 Yes 0 No |
| nstri | 173 174 175 176 | _na_alta_hospitalar_complete nt: Desfechos da Interna data_alta bito_interna_o data_bito Show the field ONLY If: [bito_interna_o] = '1' interna_o_em_uti readmiss_o_em_uti | Complete? Ição (desfechos_da_internao) Data Alta Óbito Internação Data Óbito Internação em UTI Readmissão em UTI IRA com necessidade de diálise ? Sangramento maior Type 3: clinical, laboratory, and/or imaging evidence of | text (date_dmy) yesno 1 Yes 0 No text (date_dmy) radio (Matrix) 1 Sim 2 Não radio (Matrix) 1 Sim 2 Não yesno 1 Yes 0 No |

| 重 四 | | g/dL Cardiac tamponade Bleeding requiring surgical intervention for control (excluding dental/nasal/skin/hemorrhoid) Bleeding requiring intravenous vasoactive drugs BARC type 3c: Intracranial hemorrhage, subcategories confirmed by autopsy, imaging or lumbar puncture Intraocular bleed compromising vision Type 4: Coronary Artery Bypass Graft-related bleeding Perioperative intracranial bleeding within 48 hours Reoperation after closure of sternotomy for the purpose of controlling bleeding Transfusion of ≥5 U whole blood or packed red blood cells within a 48-hour period Chest tube output 2 L within a 24-hour period Type 5: Fatal bleeding | |
|-------|--|---|--|
| 180 | reinfarto | Reinfarto | yesno 1 Yes 0 No |
| 181 | avc_internado | AVC | yesno 1 Yes 0 No |
| 182 | tipo_avc Show the field ONLY if: [avc_internado] = '1' | Tipo de AVC | checkbox 0 tipo_avc0 Isquemico 1 tipo_avc1 Hemorrágico |
| 183 | desfechos_da_internao_co mplete | Section Header: Form Status Complete? | dropdown 0 Incomplete 1 Unverified 2 Complete |
| trume | ent: Seguimento de 1 Ano | (seguimento_de_1_ano) | |
| 184 | data_ultimo_fup | Data do último seguimento | text (date_dmy) |
| 185 | tempo_dapt | Tempo que paciente ficou em dupla antiagregação plaquetária (meses) | text (number) |
| 186 | reinterna_1_ano | Reinternação 1 ano | yesno, Required 1 |
| 187 | data_reinterna_1_ano | Data Reinternação 1 ano | text (date_dmy), Required |
| 188 | bito_v2_1_ano | Óbito | yesno, Required 1 Yes 0 No |
| 189 | mortalidade_geral_v2_1_a no | Morte Geral | yesno, Required 1 Yes |
| | | | 0 No |
| 190 | obito_1a_data Show the field ONLY if: [mortalidade_geral_v2_1_ano] = '1' | Data öbito | 0 No text |
| 190 | Show the field ONLY if: [mortalidade_geral_v2_1_ano] | Data öbito Novo IAM | DOG DO |

| 193 | nova_revasc_1_ano | Nova Revascularização | yesno, Required 1 Yes 0 No |
|-----|---|---------------------------------------|---|
| 194 | data_rm_art_cul_1_ano Show the field ONLY if: [nova_revasc_1_ano] = '1' | Data Revascularização Artéria Culpada | text (date_dmy), Required |
| 195 | sangramento_maior_fup | Sangramento maior | yesno 1 Yes 0 No |
| 196 | data_sangramento Show the field ONLY if: [sangramento_maior_fup] = '1 | Data sangramento maior | text (date_dmy) |
| 197 | seguimento_de_1_ano_comp lete | Section Header: Form Status Complete? | dropdown 0 Incomplete 1 Unverified 2 Complete |